



TUGAS AKHIR - IF184802

**IMPLEMENTASI ALGORITMA ASOSIASI DATA
BERBASIS BATASAN STRUKTURAL PADA ONLINE
MULTI OBJECT TRACKING**

DANDY NAUFALDI
NRP 05111640000011

Dosen Pembimbing 1
Rully Soelaiman, S.Kom., M.Kom.

Dosen Pembimbing 2
Dini Adni Navastara, S.Kom., M.Sc.

DEPARTEMEN TEKNIK INFORMATIKA
Fakultas Teknologi Elektro dan Informatika Cerdas
Institut Teknologi Sepuluh Nopember
Surabaya, 2020

[Halaman ini sengaja dikosongkan]



TUGAS AKHIR - IF184802

**IMPLEMENTASI ALGORITMA ASOSIASI DATA
BERBASIS BATASAN STRUKTURAL PADA ONLINE
MULTI OBJECT TRACKING**

DANDY NAUFALDI
NRP 05111640000011

Dosen Pembimbing 1
Rully Soelaiman, S.Kom., M.Kom.

Dosen Pembimbing 2
Dini Adni Navastara, S.Kom., M.Sc.

DEPARTEMEN TEKNIK INFORMATIKA
Fakultas Teknologi Elektro dan Informatika Cerdas
Institut Teknologi Sepuluh Nopember
Surabaya, 2020

[Halaman ini sengaja dikosongkan]



UNDERGRADUATE THESIS - IF184802

**IMPLEMENTATION OF DATA ASSOCIATION
ALGORITHM BASED ON STRUCTURAL
CONSTRAINT FOR ONLINE MULTI OBJECT
TRACKING**

DANDY NAUFALDI
NRP 05111640000011

Supervisor 1
Rully Soelaiman, S.Kom., M.Kom.

Supervisor 2
Dini Adni Navastara, S.Kom., M.Sc.

DEPARTMENT OF INFORMATICS ENGINEERING
Faculty of Intelligent Electrical and Informatics Technology
Institut Teknologi Sepuluh Nopember
Surabaya, 2020

[Halaman ini sengaja dikosongkan]

LEMBAR PENGESAHAN

IMPLEMENTASI ALGORITMA ASOSIASI DATA BERBASIS BATASAN STRUKTURAL PADA ONLINE MULTI OBJECT TRACKING

TUGAS AKHIR

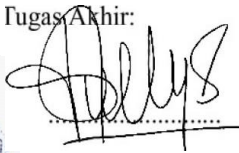
Diajukan Guna Memenuhi Salah Satu Syarat Memperoleh Gelar
Sarjana Komputer
pada
Bidang Studi Algoritma Pemrograman Program Studi S-1
Departemen Teknik Informatika
Fakultas Teknologi Elektro dan Informatika Cerdas
Institut Teknologi Sepuluh Nopember

Oleh:
Dandy Naufaldi
NRP. 05111640000011

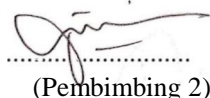
Disetujui oleh Dosen Pembimbing Tugas Akhir:

Rully Soelaiman, S.Kom., M.Kom.
NIP. 197002131994021001




(Pembimbing 1)

Dini Adni Navastara, S.Kom., M.Sc.
NIP. 198510172015042001


(Pembimbing 2)

SURABAYA
JUNI 2020

[Halaman ini sengaja dikosongkan]

IMPLEMENTASI ALGORITMA ASOSIASI DATA BERBASIS BATASAN STRUKTURAL PADA ONLINE MULTI OBJECT TRACKING

Nama	:	Dandy Naufaldi
NRP	:	05111640000011
Departemen	:	Departemen Teknik Informatika, Fakultas Teknologi Elektro dan Informatika Cerdas, ITS
Pembimbing I	:	Rully Soelaiman, S.Kom., M.Kom.
Pembimbing II	:	Dini Adni Navastara, S.Kom., M.Sc.

Abstrak

Object tracking merupakan proses pengenalan identitas objek lintas frame video. Proses ini banyak diterapkan dalam satu alur dengan proses object detection yang menghasilkan informasi bounding box objek. Dari object tracking, dapat diperoleh informasi lintasan pergerakan objek.

Kemajuan teknologi membuat perangkat perekaman video menjadi semakin kecil bahkan cukup dengan menggunakan ponsel. Perangkat perekaman tersebut memudahkan pengguna dalam merekam video kapanpun dan di manapun. Namun, rekaman video yang dihasilkan banyak mengalami masalah dari pergerakan perangkat perekam sehingga video menjadi tidak stabil. Pergerakan tersebut dapat berdampak negatif terhadap hasil proses object tracking karena posisi objek yang tidak stabil sehingga asosiasi data antara frame menjadi sulit dilakukan.

Pada tugas akhir ini, penulis akan mengimplementasikan algoritma asosiasi data berbasis batasan struktural pada online multi object tracking yang diusulkan oleh Yoon dkk. Pada algoritma ini, batasan struktural digunakan untuk mendapatkan posisi objek relatif terhadap objek lain sehingga dapat mengurangi dampak per-

gerakan kamera. Program object tracking yang dibuat terintegrasi dengan Kalman filter untuk mendapatkan prediksi posisi berdasarkan informasi posisi objek sebelumnya. Implementasi algoritma ini diujikan pada dataset 2DMOT15 dan mendapat nilai MOTA 20,4% pada data latih.

Kata kunci: *asosiasi data, batasan struktural, dataset 2DMOT15, Kalman filter, online multi object tracking*

IMPLEMENTATION OF DATA ASSOCIATION ALGORITHM BASED ON STRUCTURAL CONSTRAINT FOR ONLINE MULTI OBJECT TRACKING

Name : Dandy Naufaldi
Student ID : 05111640000011
Department : Department of Informatics Engineering, Faculty of Intelligent Electrical and Informatics Technology, ITS
Supervisor I : Rully Soelaiman, S.Kom., M.Kom.
Supervisor II : Dini Adni Navastara, S.Kom., M.Sc.

Abstract

Object tracking is a process to recognize object's identity across frame in a video. This process has been implemented as a pipeline with object detection process which produce bounding boxes information. From the output of object tracking, we can get object's movement track.

Technology advances have enabled the existence of smaller video recording devices even a phone can give good recordings. Those recording devices enable users to record video anytime and anywhere. But, the video suffer a lot from the movement of the recording device which cause the video to be unstable. The movement might give bad impact to the result of object tracking because unstable object's position make data association process interframe hard to be done.

In this thesis, the author will implement a data association algorithm based on structural constraint for online multi object tracking proposed by Yoon et.al. In this algorithm, structural constraint is used to determine object's position relative to other objects which help reduce the effect of camera movement. The program will be

integrated with Kalman filter to help predict current object position based on past information. This implementation has been tested on 2DMOT15 dataset and achieved MOTA score of 20.4% on training data.

Keywords: *data association, Kalman filter, online multi object tracking, structural constraint, 2DMOT15 dataset*

KATA PENGANTAR

Puji syukur penulis panjatkan kepada Tuhan Yang Maha Esa. Atas rahmat dan kasih sayangNya, penulis dapat menyelesaikan tugas akhir dan laporan akhir dalam bentuk buku ini.

Pengerjaan buku ini penulis tujuhan untuk mengeksplorasi lebih mendalam topik-topik yang tidak diwadahi oleh kampus, namun banyak menarik perhatian penulis. Selain itu besar harapan penulis bahwa pengerjaan tugas akhir sekaligus pengerjaan buku ini dapat menjadi batu loncatan penulis dalam menimba ilmu yang bermanfaat.

Penulis ingin menyampaikan rasa terima kasih kepada banyak pihak yang telah membimbing, menemani dan membantu penulis selama masa pengerjaan tugas akhir maupun masa studi.

1. Kedua orangtua, Hernowo dan Retno Susilowati, serta keluarga penulis sebagai penyemangat pertama yang telah memberikan dukungan doa dan moral sehingga penulis dapat menyelesaikan tugas akhir ini dengan baik.
2. Bapak Rully Soelaiman, S.Kom., M.Kom., selaku pembimbing penulis yang telah memberikan dukungan baik berupa bimbingan, ilmu, semangat, perhatian dan nasihat selama masa studi penulis.
3. Ibu Dini Adni Navastara, S.Kom., M.Sc., selaku pembimbing penulis yang telah memberikan dukungan baik berupa bimbingan dan ilmu dalam mengerjakan tugas akhir.
4. Kakak penulis, Dinda Novitasari, yang telah menjadi sosok panutan dalam kuliah dan menjadi teman diskusi dalam mengerjakan tugas akhir ini.
5. Seluruh dosen dan karyawan Departemen Teknik Informatika ITS yang telah memberikan ilmu dan pengalaman kepada penulis selama masa kuliah di Teknik Informatika ITS.

6. Teman-teman keluarga laboratorium Komputasi Cerdas dan Visi yang telah menemani dan membantu penulis dalam berproses selama kuliah.
7. Yolanda, Fadli, dan Ferdinand yang telah menemani dan membantu penulis dalam berbagai kesempatan selama menempuh masa studi di Departemen Teknik Informatika ITS.
8. Teman-teman mahasiswa Departemen Teknik Informatika ITS, khususnya angkatan 2016 yang senantiasa membantu, menemani, memberi semangat dan kenangan selama kurang lebih 4 tahun masa studi.
9. Komunitas *open source*, grup diskusi di Telegram, dan forum Stack Overflow yang membantu penulis dalam mendapatkan jawaban atas kendala yang dihadapi selama mengerjakan tugas akhir ini.
10. Yoshima dan Yolanda yang telah membantu mengoreksi penulisan buku tugas akhir ini.
11. Serta semua pihak yang turut membantu penulis dalam menyelesaikan tugas akhir ini.

Penulis menyadari bahwa buku ini jauh dari kata sempurna. Maka dari itu, penulis memohon maaf apabila terdapat salah kata maupun makna pada buku ini. Penulis berharap buku ini dapat berkontribusi dalam ilmu pengetahuan dan memberikan manfaat bagi pembaca.

Surabaya, Juni 2020

Dandy Naufaldi

DAFTAR ISI

LEMBAR PENGESAHAN	vii
ABSTRAK	ix
ABSTRAK	xi
KATA PENGANTAR	xiii
DAFTAR ISI	xv
DAFTAR GAMBAR	xix
DAFTAR TABEL	xxi
DAFTAR PSEUDOCODE	xxvii
DAFTAR KODE SUMBER	xxix
BAB I PENDAHULUAN	1
1.1 Latar Belakang	1
1.2 Rumusan Masalah	2
1.3 Batasan Masalah	3
1.4 Tujuan	3
1.5 Manfaat	3
1.6 Metodologi	4
1.7 Sistematika Penulisan	5
BAB II DASAR TEORI	7
2.1 Deteksi Objek	7
2.2 Asosiasi Data	7
2.3 Online Multi Object Tracking	8
2.4 K-Means	11
2.4.1 K-Means dengan Batasan	12
2.5 Kalman Filter	13
2.6 Asosiasi Data Berbasis Batasan Struktural	15

2.6.1	Structural Constraint Event Aggregation (SCEA)	17
2.6.2	Structural Constraint Object Recovery (SCOR)	23
2.6.3	Manajemen Objek dan Batasan Struktural	24
2.7	Metrik dalam Multi Object Tracking	27
BAB III	DESAIN	31
3.1	Desain Umum Sistem	31
3.2	Desain Program Utama	31
3.2.1	Desain Fungsi Main	32
3.2.2	Desain Fungsi Object Tracking	33
3.2.3	Desain Fungsi SCEA	34
3.2.4	Desain Fungsi Gating	36
3.2.5	Desain Fungsi Partisi	37
3.2.6	Desain Fungsi Perhitungan Asosiasi Per Partisi	38
3.2.7	Desain Fungsi Pembangkit Kombinasi Aso-siasi	40
3.2.8	Desain Fungsi Cost Fs	42
3.2.9	Desain Fungsi Cost Fa	43
3.2.10	Desain Fungsi Cost Fc	44
3.2.11	Desain Fungsi Penggabungan Matriks Aso-siasi	46
3.2.12	Desain Fungsi SCOR	47
3.2.13	Desain Fungsi Penentuan Objek Gamma	48
3.2.14	Desain Fungsi Perhitungan Matriks Cost	50
3.2.15	Desain Fungsi Cost Fr	51
3.2.16	Desain Fungsi Penentuan Asosiasi	52
3.2.17	Desain Fungsi Pembaruan Nilai Objek	53

3.2.18	Desain Fungsi Pembaruan Nilai Batasan Struktural	56
3.2.19	Desain Fungsi Prediksi Nilai Objek	57
3.2.20	Desain Fungsi Prediksi Batasan Struktural	58
3.2.21	Desain Fungsi Eliminasi Objek	59
3.2.22	Desain Fungsi Pembuatan Objek Baru	61
3.2.23	Desain Fungsi Seleksi Pelacakan Beruntun	63
BAB IV	IMPLEMENTASI	65
4.1	Lingkungan Implementasi	65
4.2	Implementasi Program Utama	65
4.2.1	Penggunaan Pustaka	66
4.2.2	Implementasi Class DetectionState	67
4.2.3	Implementasi Class ObjectState	69
4.2.4	Implementasi Class StructuralConstraint	71
4.2.5	Implementasi Modul cost	72
4.2.6	Implementasi Modul partition	75
4.2.7	Implementasi Modul scea	78
4.2.8	Implementasi Modul scor	88
4.2.9	Implementasi Class ObjectStateTracker	92
4.2.10	Implementasi Class StructuralConstraint-Tracker	97
4.2.11	Implementasi Class Tracker	101
4.2.12	Implementasi Fungsi Main	126
BAB V	UJI COBA DAN EVALUASI	131
5.1	Lingkungan Uji Coba	131
5.2	Dataset	131
5.3	Skenario Uji Coba	135
5.3.1	Uji Coba Performa Asosiasi Data	136
5.3.2	Uji Coba Prediksi Kalman Filter	138

5.3.3	Uji Coba Metode Inisialisasi Objek Baru	140
5.3.4	Uji Coba Batas Minimal Deteksi Beruntun	141
5.3.5	Uji Coba Luar pada Data Uji	142
5.4	Hasil dan Analisis	143
BAB VI	KESIMPULAN DAN SARAN	153
6.1	Kesimpulan	153
6.2	Saran	154
DAFTAR PUSTAKA		155
LAMPIRAN A:	Detail Hasil Uji Coba Performa Asosiasi Data	159
LAMPIRAN B:	Detail Hasil Uji Coba Prediksi Kalman Filter	165
LAMPIRAN C:	Detail Hasil Uji Coba Metode Inisialisasi Objek Baru	167
LAMPIRAN D:	Detail Hasil Uji Coba Batas Minimal De- teksi Beruntun	169
LAMPIRAN E:	Detail Hasil Uji Luar dengan Data Uji	173
BIODATA PENULIS		175

DAFTAR GAMBAR

Gambar 2.1:	Hasil Deteksi Wajah [6]	8
Gambar 2.2:	Contoh Asosiasi Data [7]	9
Gambar 2.3:	Ilustrasi <i>Online</i> (atas) dan <i>Offline</i> (bawah) <i>Tracking</i> [9]	10
Gambar 2.4:	Ilustrasi Proses Pembuatan Partisi [3]: (a) Ruang Pencarian Awal, (b) Eliminasi dengan Gating, (c) Partisi dengan K-Means	20
Gambar 2.5:	Contoh Penggunaan Batasan Struktural dalam Anchor [3]	21
Gambar 2.6:	Perbandingan <i>Ground Truth</i> dengan Hipotesis <i>Tracking</i> : (a) <i>Frame t</i> , (b) <i>Frame t + 1</i> , dan (c) <i>Frame t + 2</i>	28
Gambar 3.1:	Diagram Alir Sistem	31
Gambar 3.2:	Ilustrasi Pemilihan Objek yang Menjadi <i>An-</i> <i>chor</i> dalam Kombinasi Assosiasi	39
Gambar 3.3:	Ilustrasi Kombinasi Assosiasi antara Objek dan Deteksi	41
Gambar 3.4:	Ilustrasi Penggunaan Batasan Struktural da- lam Menentukan Posisi di Perhitungan IoU: (a) Kondisi Awal dan (b) Kondisi Setelah Per- geseran Berdasarkan Batasan Struktural . . .	44
Gambar 3.5:	<i>Sliding Window</i> antara <i>Frame t-1</i> dan <i>t</i>	61
Gambar 3.6:	Ilustrasi Seleksi berdasarkan Pelacakan Be- runtun dengan Batas Minimal Sebesar Dua . .	63

Gambar 5.1:	Perbandingan <i>Bounding Box</i> pada Video KITTI-17 <i>Frame</i> ke-1: (a) data <i>gt</i> dan (b) data <i>det</i>	134
Gambar 5.2:	Peringkat Hasil Program <i>Object Tracking</i> pada Website MOTChallenge	143
Gambar 5.3:	Perbandingan Data pada Video KITTI-13 <i>Frame</i> ke-12 hingga 16: (a) data <i>gt</i> dan (b) data <i>det</i>	150
Gambar 5.4:	Ilustrasi <i>Sliding Window</i> Deteksi yang Tidak Terasosiasi pada Video KITTI-13 <i>gt Frame</i> 71 dan 72	151

DAFTAR TABEL

Tabel 2.1: Perbandingan <i>Online</i> dan <i>Offline Tracking</i> [9]	11
Tabel 3.1: Masukan, Proses, dan Keluaran dari Fungsi MAIN	32
Tabel 3.2: Masukan, Proses, dan Keluaran dari Fungsi OBJECTTRACKER	33
Tabel 3.3: Masukan, Proses, dan Keluaran dari Fungsi SCEA	35
Tabel 3.4: Masukan, Proses, dan Keluaran dari Fungsi GATING	36
Tabel 3.5: Masukan, Proses, dan Keluaran dari Fungsi SUBGROUPBYCLUSTER	37
Tabel 3.6: Masukan, Proses, dan Keluaran dari Fungsi ASSIGNMENTBYSUBGROUP	39
Tabel 3.7: Masukan, Proses, dan Keluaran dari Fungsi ASSIGNMENTGENERATOR	42
Tabel 3.8: Masukan, Proses, dan Keluaran dari Fungsi FS	43
Tabel 3.9: Masukan, Proses, dan Keluaran dari Fungsi FA	43
Tabel 3.10: Masukan, Proses, dan Keluaran dari Fungsi FC	45
Tabel 3.11: Masukan, Proses, dan Keluaran dari Fungsi AGGREGATE	46
Tabel 3.12: Masukan, Proses, dan Keluaran dari Fungsi SCOR	48
Tabel 3.13: Masukan, Proses, dan Keluaran dari Fungsi GETGAMMAOBJECTS	49
Tabel 3.14: Masukan, Proses, dan Keluaran dari Fungsi CALCASSIGNMENTCOST	50
Tabel 3.15: Masukan, Proses, dan Keluaran dari Fungsi FR	51

Tabel 3.16: Masukan, Proses, dan Keluaran dari Fungsi ASSIGNMENT	52
Tabel 3.17: Masukan, Proses, dan Keluaran dari Fungsi UPDATEOBJECT	55
Tabel 3.18: Masukan, Proses, dan Keluaran dari Fungsi UPDATESC	57
Tabel 3.19: Masukan, Proses, dan Keluaran dari Fungsi PREDICTOBJECT	58
Tabel 3.20: Masukan, Proses, dan Keluaran dari Fungsi PREDICTSC	59
Tabel 3.21: Masukan, Proses, dan Keluaran dari Fungsi ELIMINATE	60
Tabel 3.22: Masukan, Proses, dan Keluaran dari Fungsi NEWOBJECTS	62
Tabel 3.23: Masukan, Proses, dan Keluaran dari Fungsi FILTERSTREAK	64
Tabel 4.1: Nama dan Penjelasan Pustaka	67
Tabel 4.2: Nama dan Penjelasan Variabel Instance dari Class DETECTIONSTATE	67
Tabel 4.3: Nama dan Penjelasan Variabel Instance dari Class OBJECTSTATE	70
Tabel 4.4: Nama dan Penjelasan Variabel Instance dari Class STRUCTURALCONSTRAINT	71
Tabel 4.5: Nama dan Penjelasan Variabel Instance dari Class CONFIGSCEA	79
Tabel 4.6: Nama dan Penjelasan Variabel Instance dari Class CONFIGSCOR	89
Tabel 4.7: Nama dan Penjelasan Variabel Instance dari Class OBJECTSTATETRACKER	93

Tabel 4.8:	Nama dan Penjelasan Variabel Instance dari Class STRUCTURALCONSTRAINTTRACKER	97
Tabel 4.9:	Nama dan Penjelasan Variabel Instance dari Class TRACKER	102
Tabel 5.1:	Detail Data Anotasi	132
Tabel 5.2a:	Spesifikasi Data Latih dari 2DMOT15 (1)	132
Tabel 5.2b:	Spesifikasi Data Latih dari 2DMOT15 (2)	133
Tabel 5.3a:	Spesifikasi Data Uji dari 2DMOT15 (1)	133
Tabel 5.3b:	Spesifikasi Data Uji dari 2DMOT15 (2)	134
Tabel 5.4:	Parameter Dasar pada Sistem <i>Object Tracking</i> .	136
Tabel 5.5:	Perbandingan Pasangan ID Hasil Asosiasi: (a) <i>Ground Truth</i> dan (b) Prediksi	137
Tabel 5.6:	Pemetaan Nilai IoU ke <i>default_case_d0</i> pada Fungsi <i>Cost</i> Orisinal dan Modifikasi	138
Tabel 5.7:	Nilai <i>Weighted Precision</i> dan <i>Recall</i> pada Uji Asosiasi Data	139
Tabel 5.8:	Nilai Rata-Rata RMSE per Komponen Pengukuran pada <i>Kalman Filter</i> untuk Objek	139
Tabel 5.9:	Nilai Hasil Uji Metode Inisialisasi Objek Baru .	141
Tabel 5.10:	Nilai Hasil Uji Coba Batas Minimal Deteksi Beruntun	142
Tabel 5.11:	Nilai Hasil Uji Coba Luar pada Data Uji	142
Tabel 5.12:	Parameter Optimal untuk Sistem	144
Tabel 5.13:	Perbandingan Rata-Rata Banyak Pasangan Asosiasi per <i>Frame</i> di Data Latih <i>gt</i>	145
Tabel 5.14:	Perbandingan Rata-Rata Banyak Kombinasi Asosiasi yang Dievaluasi pada Data Latih <i>gt</i> .	146
Tabel 5.15:	Perbandingan Banyak Data <i>Bounding Box</i> pada Data Latih <i>gt</i> dan <i>det</i>	147

Tabel 5.16: Daftar Nilai IoU dari Pasangan Deteksi pada <i>Frame</i> 71 dan 72	149
Tabel A.1: Hasil Uji Asosiasi dengan Fungsi <i>Cost</i> Orisinal dan <i>default_cost_d0 1,2</i>	159
Tabel A.2: Hasil Uji Asosiasi dengan Fungsi <i>Cost</i> Orisinal dan <i>default_cost_d0 1,6</i>	160
Tabel A.3: Hasil Uji Asosiasi dengan Fungsi <i>Cost</i> Orisinal dan <i>default_cost_d0 2,3</i>	160
Tabel A.4: Hasil Uji Asosiasi dengan Fungsi <i>Cost</i> Orisinal dan <i>default_cost_d0 3,5</i>	161
Tabel A.5: Hasil Uji Asosiasi dengan Fungsi <i>Cost</i> Modifi- kasi dan <i>default_cost_d0 1,0</i>	161
Tabel A.6: Hasil Uji Asosiasi dengan Fungsi <i>Cost</i> Modifi- kasi dan <i>default_cost_d0 0,9</i>	162
Tabel A.7: Hasil Uji Asosiasi dengan Fungsi <i>Cost</i> Modifi- kasi dan <i>default_cost_d0 0,8</i>	162
Tabel A.8: Hasil Uji Asosiasi dengan Fungsi <i>Cost</i> Modifi- kasi dan <i>default_cost_d0 0,7</i>	163
Tabel B.1: Hasil Uji Prediksi Kalman Filter dengan Matriks <i>Q</i> Orisinal	165
Tabel B.2: Hasil Uji Prediksi Kalman Filter dengan Matriks <i>Q</i> Modifikasi	166
Tabel C.1:	167
Tabel C.2: Hasil Uji Inisialisasi Objek Baru dengan Metode II	168
Tabel D.1:	169
Tabel D.2: Hasil Uji Coba Batas Minimal Deteksi Beruntun Sebesar 3	170

Tabel D.3: Hasil Uji Coba Batas Minimal Deteksi Beruntun Sebesar 4	171
Tabel E.1:	173

[Halaman ini sengaja dikosongkan]

DAFTAR PSEUDOCODE

Pseudocode 2.1:	K-MEANS	12
Pseudocode 2.2:	OBJECT TRACKING DENGAN SCEA DAN SCOR	17
Pseudocode 2.3:	SCEA	18
Pseudocode 3.1:	Fungsi MAIN	32
Pseudocode 3.2:	Fungsi OBJECTTRACKER	34
Pseudocode 3.3:	Fungsi SCEA	35
Pseudocode 3.4:	Fungsi GATING	36
Pseudocode 3.5a:	Fungsi SUBGROUPBYCLUSTER (1) . .	37
Pseudocode 3.5b:	Fungsi SUBGROUPBYCLUSTER (2) . .	38
Pseudocode 3.6a:	Fungsi ASSIGNMENTBYSUBGROUP (1)	39
Pseudocode 3.6b:	Fungsi ASSIGNMENTBYSUBGROUP (2)	40
Pseudocode 3.7:	Fungsi ASSIGNMENTGENERATOR . . .	42
Pseudocode 3.8:	Fungsi FS	43
Pseudocode 3.9:	Fungsi FA	44
Pseudocode 3.10:	Fungsi FC	45
Pseudocode 3.11a:	Fungsi AGGREGATE (1)	46
Pseudocode 3.11b:	Fungsi AGGREGATE (2)	47
Pseudocode 3.12:	Fungsi SCOR	48
Pseudocode 3.13a:	Fungsi GETGAMMAOBJECTS (1) . . .	49
Pseudocode 3.13b:	Fungsi GETGAMMAOBJECTS (2) . . .	50
Pseudocode 3.14a:	Fungsi CALCASSIGNMENTCOST (1) .	50
Pseudocode 3.14b:	Fungsi CALCASSIGNMENTCOST (2) .	51
Pseudocode 3.15:	Fungsi FR	52
Pseudocode 3.16:	Fungsi ASSIGNMENT	53
Pseudocode 3.17:	Fungsi UPDATEOBJECT	56

Pseudocode 3.18: Fungsi UPDATESC	57
Pseudocode 3.19: Fungsi PREDICTOBJECT	58
Pseudocode 3.20: Fungsi PREDICTSC	59
Pseudocode 3.21: Fungsi ELIMINATE	60
Pseudocode 3.22: Fungsi NEWOBJECTS Metode I	62
Pseudocode 3.23a: Fungsi NEWOBJECTS Metode II (1) . .	62
Pseudocode 3.23b: Fungsi NEWOBJECTS Metode II (2) . .	63
Pseudocode 3.24: Fungsi FILTERSTREAK	64

DAFTAR KODE SUMBER

Kode Sumber 4.1	Daftar Deklarasi <i>Import</i> Program	66
Kode Sumber 4.2	<i>Class</i> DETECTIONSTATE	68
Kode Sumber 4.1a	Fungsi Instansiasi dari Bounding Box (1)	68
Kode Sumber 4.1b	Fungsi Instansiasi dari Bounding Box (2)	69
Kode Sumber 4.2	<i>Class</i> OBJECTSTATE	70
Kode Sumber 4.3	<i>Class</i> STRUCTURALCONSTRAINT	71
Kode Sumber 4.4	Fungsi Instansiasi dari Pasangan Obj- ctState	72
Kode Sumber 4.5	Fungsi Cost Fs	73
Kode Sumber 4.6	Fungsi Cost Fa	73
Kode Sumber 4.7	Fungsi Cost Fc	74
Kode Sumber 4.8a	Fungsi Cost Fr (1)	74
Kode Sumber 4.8b	Fungsi Cost Fr (2)	75
Kode Sumber 4.9	Fungsi Gating	76
Kode Sumber 4.10	Fungsi Partisi	77
Kode Sumber 4.11	Fungsi Pembangkit Kombinasi Asosiasi	78
Kode Sumber 4.12	<i>Class</i> CONFIGSCEA	79
Kode Sumber 4.13	Fungsi Cost Anchor	79
Kode Sumber 4.14	Fungsi Cost Non-Anchor	80
Kode Sumber 4.15a	Fungsi Cost Berdasarkan Anchor dalam Kombinasi (1)	81
Kode Sumber 4.15b	Fungsi Cost Berdasarkan Anchor dalam Kombinasi (2)	82
Kode Sumber 4.16	Fungsi Perhitungan Cost Asosiasi dari Kombinasi	83

Kode Sumber 4.17a Fungsi Perhitungan Asosiasi Per Partisi (1)	84
Kode Sumber 4.17b Fungsi Perhitungan Asosiasi Per Partisi (2)	85
Kode Sumber 4.18a Fungsi Penggabungan Matriks Asosiasi (1)	85
Kode Sumber 4.18b Fungsi Penggabungan Matriks Asosiasi (2)	86
Kode Sumber 4.19a Fungsi Penentuan Matriks Asosiasi (1) .	87
Kode Sumber 4.19b Fungsi Penentuan Matriks Asosiasi (2) .	88
Kode Sumber 4.20 <i>Class</i> CONFIGSCOR	89
Kode Sumber 4.21 Fungsi Penentuan Objek Gamma	89
Kode Sumber 4.22a Fungsi Perhitungan Matriks Cost (1) . .	90
Kode Sumber 4.22b Fungsi Perhitungan Matriks Cost (2) . .	91
Kode Sumber 4.23a Fungsi Penentuan Asosiasi (1)	91
Kode Sumber 4.23b Fungsi Penentuan Asosiasi (2)	92
Kode Sumber 4.24 <i>Class</i> OBJECTSTATETRACKER	93
Kode Sumber 4.25a Fungsi Constructor ObjectStateTracker (1)	94
Kode Sumber 4.25b Fungsi Constructor ObjectStateTracker (2)	95
Kode Sumber 4.26 Fungsi Pembaruan State Objek	96
Kode Sumber 4.27 Fungsi Pembaruan Histogram Objek . . .	96
Kode Sumber 4.28 Fungsi Prediksi State Objek	97
Kode Sumber 4.29a <i>Class</i> STRUCTURALCONSTRAINTTRACKER (1)	97
Kode Sumber 4.29b <i>Class</i> STRUCTURALCONSTRAINTTRACKER (2)	98
Kode Sumber 4.30 Fungsi Constructor StructuralConstra- intTracker	99
Kode Sumber 4.31 Fungsi Pembaruan State Batasan Struktural	100
Kode Sumber 4.32 Fungsi Prediksi State Batasan Struktural	101

Kode Sumber 4.33a <i>Class TRACKER</i> (1)	102
Kode Sumber 4.33b <i>Class TRACKER</i> (2)	103
Kode Sumber 4.33c <i>Class TRACKER</i> (3)	104
Kode Sumber 4.34 Fungsi Constructor Tracker	105
Kode Sumber 4.35a Fungsi Pemroses SCEA (1)	106
Kode Sumber 4.35b Fungsi Pemroses SCEA (2)	107
Kode Sumber 4.35c Fungsi Pemroses SCEA (3)	108
Kode Sumber 4.36a Fungsi Pemroses SCOR (1)	108
Kode Sumber 4.36b Fungsi Pemroses SCOR (2)	109
Kode Sumber 4.36c Fungsi Pemroses SCOR (3)	110
Kode Sumber 4.37 Fungsi Update Objek Terlacak dengan Deteksi	111
Kode Sumber 4.38 Fungsi Update ObjectTracker	112
Kode Sumber 4.39a Fungsi Update StructuralConstraint- Tracker (1)	113
Kode Sumber 4.39b Fungsi Update StructuralConstraint- Tracker (2)	114
Kode Sumber 4.40 Fungsi Update Counter Frame Terakhir Terkelak dan Terlacak Beruntun	115
Kode Sumber 4.41a Fungsi Eliminasi Objek (1)	115
Kode Sumber 4.41b Fungsi Eliminasi Objek (2)	116
Kode Sumber 4.42 Fungsi Prediksi ObjectStateTracker . .	117
Kode Sumber 4.43 Fungsi Prediksi StructuralConstraint- Tracker	117
Kode Sumber 4.44a Fungsi Pembuatan Objek Metode I (1) .	118
Kode Sumber 4.44b Fungsi Pembuatan Objek Metode I (2) .	119
Kode Sumber 4.45a Fungsi Pembuatan Objek Metode II (1)	119
Kode Sumber 4.45b Fungsi Pembuatan Objek Metode II (2)	120
Kode Sumber 4.46a Fungsi Update Tracker (1)	121

Kode Sumber 4.46b Fungsi Update Tracker (2)	122
Kode Sumber 4.46c Fungsi Update Tracker (3)	123
Kode Sumber 4.46d Fungsi Update Tracker (4)	124
Kode Sumber 4.46e Fungsi Update Tracker (5)	125
Kode Sumber 4.46f Fungsi Update Tracker (6)	126
Kode Sumber 4.47a Fungsi MAIN (1)	127
Kode Sumber 4.47b Fungsi MAIN (2)	128
Kode Sumber 4.47c Fungsi MAIN (3)	129

BAB I

PENDAHULUAN

Pada bab ini, akan dijelaskan mengenai latar belakang, rumusan masalah, batasan masalah, tujuan, metodologi penggerjaan, dan sistematika penulisan tugas akhir.

1.1. Latar Belakang

Pemanfaatan teknologi video dalam bidang keamanan sudah semakin canggih. Banyak teknologi deteksi yang diterapkan pada video , seperti pengenalan macam objek, pengenalan wajah, dan pengenalan pelat nomor. Dari proses deteksi objek akan didapatkan keluaran berupa *bounding box* yang membatasi bagian dari *frame* yang mengandung objek. Dari objek-objek yang diperoleh dari satu *frame*, proses berikutnya adalah *object tracking* yaitu proses mengenali identitas objek antar *frame*, sehingga didapatkan asosiasi antara kemunculan objek dalam *frame* dengan identitas yang diberikan. Salah satu masalah dalam asosiasi objek dan identitas adalah faktor pergerakan kamera yang memengaruhi jalur pergerakan objek antar *frame*. Faktor tersebut dapat memberikan dampak negatif terhadap hasil asosiasi berupa kesalahan dalam memberikan identitas dan ketidakmampuan dalam mendeteksi objek yang hilang sesaat dalam *frame*.

Metode *multi object tracking* yang sudah ada, kurang handal menangani masalah pergerakan pada alat perekam video. Metode yang sudah ada bersifat *batch* atau *semi online*, seperti pada [1] dan [2]. Untuk mengatasi masalah pergerakan pada kamera, diperlukan penggunaan informasi batasan struktural terkait posisi dan pergerakan objek. Pada [3], telah dicoba penggunaan informasi batasan struktural untuk *online multi object tracking* yang mampu memberikan hasil lebih baik pada video yang kurang stabil.

Dalam tugas akhir ini, akan diimplementasikan algoritma

asosiasi objek yang terdeteksi dengan identitasnya yang lebih mampu menangani variasi pergerakan kamera berupa *yaw*, *pitch*, dan gerak translasi. Algoritma ini bekerja berdasarkan batasan struktural dari objek yang terdeteksi dalam *frame*. Algoritma ini terbagi dalam dua tahap, yaitu *Structural Constraint Event Aggregation* (SCEA) dan *Structural Constraint Object Recovery* (SCOR). SCEA bertugas untuk mengasosiasi antara objek yang terdeteksi pada *frame* saat ini dengan deteksi yang pernah ada. Berikutnya, pada SCOR dilakukan asosiasi antara objek yang menghilang dari *frame* terdahulu dengan deteksi yang ada sekarang. Data yang digunakan diambil dari dataset MOTChallenge 2015 [4]. Dataset ini berisikan *frame* dari total 22 video dengan label *bounding box* deteksi pejalan kaki dan identitas berupa nomor unik untuk setiap objek pejalan kaki.

Dari tugas akhir ini, diharapkan dapat membantu proses pelacakan objek dalam rekaman video terutama saat data rekaman video yang dimiliki berasal dari perangkat bergerak sehingga banyak terdapat goncangan dalam video dan diharapkan dapat memberikan kontribusi pada perkembangan ilmu pengetahuan dan teknologi informasi.

1.2. Rumusan Masalah

Rumusan masalah yang diangkat dalam tugas akhir ini adalah sebagai berikut :

1. Bagaimana cara memanfaatkan batasan struktural antar objek dalam proses asosiasi data?
2. Bagaimana cara untuk mengoptimasi fungsi *cost* yang digunakan dalam asosiasi data?
3. Bagaimana cara mengatasi deteksi yang *false positive*?

1.3. Batasan Masalah

Permasalahan yang dibahas pada tugas akhir ini memiliki beberapa batasan, yaitu sebagai berikut:

1. Dataset yang digunakan menggunakan dataset MOTChallenge 2015 [4] dalam format 2D.
2. Implementasi algoritma menggunakan bahasa pemrograman Python.
3. Masukan program berupa citra per *frame* dari video beserta label *bounding box* hasil deteksi objek dari *frame* tersebut.

1.4. Tujuan

Tujuan tugas akhir ini adalah sebagai berikut:

1. Memanfaatkan batasan struktural melalui algoritma SCEA (*Structural Constraint Event Aggregation*) dan SCOR (*Structural Constraint Object Recovery*) untuk menyelesaikan kasus *online multi object tracking*.
2. Mengoptimasi fungsi *cost* yang digunakan untuk menghasilkan asosiasi data yang lebih baik.
3. Mengatasi data deteksi *false positive* untuk memperbaiki performa *object tracking*.

1.5. Manfaat

Manfaat tugas akhir ini adalah sebagai berikut:

1. Membantu memahami penerapan algoritma SCEA dan SCOR dalam menyelesaikan permasalahan *online multi object tracking*.
2. Membantu memahami kendala dalam *online multi object tracking* dengan data video yang tidak stabil.
3. Mengetahui hasil evaluasi kinerja *tracker* dengan algoritma SCEA dan SCOR.

1.6. Metodologi

Metodologi pengerjaan yang digunakan pada tugas akhir ini memiliki beberapa tahapan. Tahapan-tahapan tersebut yaitu:

1. Penyusunan proposal

Pada tahapan ini penulis memberikan penjelasan mengenai apa yang penulis akan lakukan dan mengapa tugas akhir ini dilakukan. Penjelasan tersebut dituliskan dalam bentuk proposal tugas akhir.

2. Studi literatur

Pada tahapan ini penulis mengumpulkan referensi yang diperlukan guna mendukung pengerjaan tugas akhir. Referensi yang digunakan dapat berupa hasil penelitian yang sudah pernah dilakukan, buku, artikel internet, atau sumber lain yang bisa dipertanggungjawabkan.

3. Desain

Pada tahapan ini, penulis melakukan desain rancangan implementasi algoritma SCEA dan SCOR yang akan digunakan untuk *online multi object tracking*.

4. Implementasi algoritma

Pada tahapan ini penulis mulai mengembangkan algoritma sesuai dengan hasil rancangan desain untuk menyelesaikan permasalahan. Implementasi ini dilakukan dengan menggunakan bahasa pemrograman Python.

5. Pengujian dan evaluasi

Pada tahapan ini penulis menguji performa implementasi algoritma SCEA dan SCOR menggunakan dataset MOTChallenge 2015. Evaluasi dilakukan dari aspek asosiasi data dan *multi object tracking*.

6. Penyusunan buku

Pada tahapan ini penulis menyusun hasil pengerjaan tugas akhir mengikuti format penulisan tugas akhir.

1.7. Sistematika Penulisan

Sistematika laporan tugas akhir yang akan digunakan adalah sebagai berikut :

1. BAB I : PENDAHULUAN

Bab ini berisi latar belakang, rumusan masalah, batasan masalah, tujuan, manfaat, metodologi dan sistematika penulisan tugas akhir.

2. BAB II : DASAR TEORI

Bab ini berisi dasar teori mengenai algoritma yang digunakan dalam tugas akhir

3. BAB III : DESAIN

Bab ini berisi desain algoritma dan struktur data yang digunakan dalam penyelesaian permasalahan.

4. BAB IV : IMPLEMENTASI

Bab ini berisi implementasi berdasarkan desain algoritma yang telah dilakukan pada tahap desain.

5. BAB V : PENGUJIAN DAN EVALUASI

Bab ini berisi uji coba dan evaluasi dari hasil implementasi yang telah dilakukan pada tahap implementasi.

6. BAB VI : PENUTUP

Bab ini berisi kesimpulan dan saran yang didapat dari hasil uji coba yang telah dilakukan.

[*Halaman ini sengaja dikosongkan*]

BAB II

DASAR TEORI

Pada bab ini dijelaskan beberapa dasar teori yang akan penulis gunakan sebagai landasan pengerjaan tugas akhir ini.

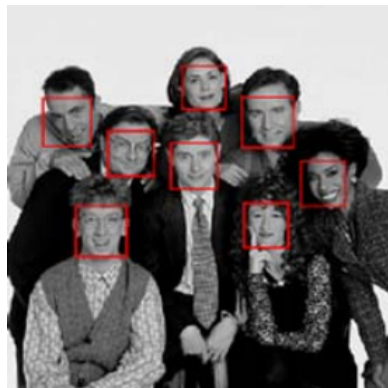
2.1. Deteksi Objek

Deteksi objek merupakan proses mendapatkan semua objek yang berasal dari satu atau beberapa kelas yang ada dalam satu citra terlepas dari skala, lokasi, pose, sudut pandang kamera, halangan dan kondisi pencahayaan [5]. Deteksi objek menjadi proses pertama yang dilakukan dalam banyak sistem visi komputer karena dapat membantu memperoleh informasi lebih lanjut, antara lain mengenali individu tertentu, *track* atau melacak objek dalam rangkaian citra, dan menggali informasi tambahan seperti menentukan keberadaan atau lokasi objek lain dalam satu gambar dan mengenali jenis pemandangan sebagai informasi kontekstual tambahan. Gambar 2.1 merupakan hasil deteksi wajah berupa kotak pembatas yang digambar di sekitar wajah-wajah yang terdapat dalam gambar.

Deteksi objek telah dimanfaatkan dalam berbagai bidang, seperti interaksi manusia dan komputer, robotika, peralatan elektronik, sistem temu kembali (mesin pencarian), dan transportasi (pengemudian otomatis).

2.2. Asosiasi Data

Asosiasi data adalah metode untuk menghubungkan kemunculan objek terdeteksi pada *frame* waktu t dengan objek yang muncul pada *frame* j , dengan $j < t$ serta selisih t dan j sesuai dengan *time window* yang digunakan [7]. Dengan asosiasi data, posisi suatu objek dapat dilacak dari *frame* ke *frame* sesuai label identitas yang telah diberikan sebelumnya. Salah satu metode untuk asosi-



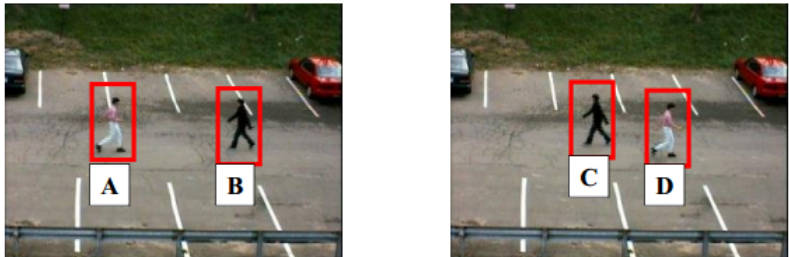
Gambar 2.1 Hasil Deteksi Wajah [6]

asi data adalah dengan menggunakan *linear assignment* pada *cost matrix* untuk mendapatkan asosiasi elemen matriks yang menghasilkan *cost* serendah mungkin. Contoh asosiasi data sebagai berikut pada Gambar 2.2.

Pada Gambar 2.2, di bagian kiri terdapat dua objek yaitu A dan B yang bergerak berlawanan arah. Lalu, pada bagian kanan dapat dilihat bahwa terdapat dua objek C dan D. Pada asosiasi data, akan dihitung *cost* untuk asosiasi yang mungkin seperti $[(A, C), (B, D)]$ dan $[(A, D), (B, C)]$ untuk mendapatkan *cost* terkecil, sehingga pada Gambar 2.2 *cost* terkecil didapat pada asosiasi $[(A, D), (B, C)]$.

2.3. Online Multi Object Tracking

Object tracking merupakan permasalahan mengenai pengetahuan pergerakan objek berdasarkan deretan gambar. Masukan dari *object tracking* berupa data-data pengukuran yang diambil dari gambar, seperti posisi beberapa titik di gambar, posisi dan momen-tum bagian gambar, dan data lainnya [8]. Data-data tersebut digunakan untuk merepresentasikan keadaan objek dan digunakan untuk



$$\begin{aligned}\Delta(A,C) &= 0.39 \\ \Delta(A,D) &= 2.03\end{aligned}$$

A \rightarrow D

$$\begin{aligned}\Delta(B,C) &= 2.00 \\ \Delta(B,D) &= 0.23\end{aligned}$$

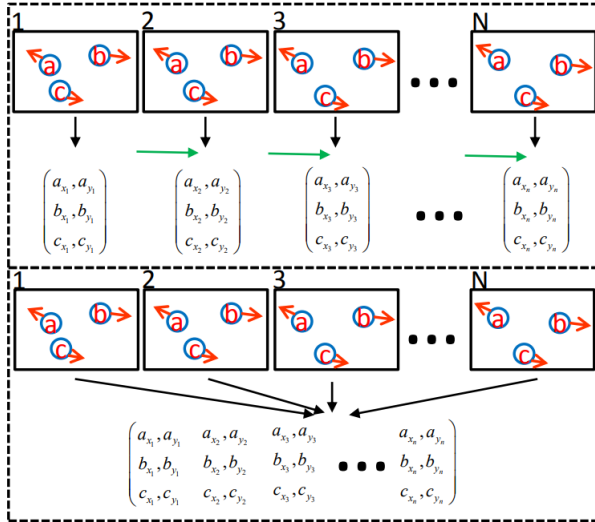
B \rightarrow C

Gambar 2.2 Contoh Asosiasi Data [7]

memodelkan perubahan keadaan objek dari waktu ke waktu. Pada *multi object tracking*, banyaknya objek yang dilacak pergerakannya bisa lebih dari satu objek.

Terdapat dua strategi sederhana untuk melakukan *object tracking*, yaitu *tracking* berdasarkan deteksi dan *tracking* berdasarkan pencocokan [8]. Pada *tracking* berdasarkan deteksi, informasi awal yang dimiliki adalah hasil deteksi objek dari *frame* yang kemudian informasi ini dihubungkan dengan deteksi di *frame* lain untuk mendapatkan kecocokan dan menghasilkan *tracklet*. Pada *tracking* berdasarkan pencocokan, informasi awal yang dimiliki adalah model pergerakan objek yang digunakan untuk menemukan domain objek di *frame* ke-*n* + 1 yang sesuai dengan domain objek di *frame* ke-*n*.

Berdasarkan metode pemrosesannya, ada dua metode *tracking* yaitu *online tracking* dan *offline tracking*. Perbedaan utama ada pada data yang digunakan, *online tracking* hanya menggunakan data terkini dan data-data sebelumnya, sedangkan *offline tracking*



Gambar 2.3 Ilustrasi *Online* (atas) dan *Offline* (bawah) *Tracking* [9]

menggunakan semua data secara keseluruhan atau dalam *batch* kecil sehingga dapat menggunakan informasi dari *frame* sesudah [9].

Pada Gambar 2.3 (atas), *online tracking* (atas) memiliki tiga objek *a*, *b*, dan *c*. Panah hijau menunjukkan observasi di masa lampau. Hasil *tracking* berupa lokasi dan ID objek yang dihasilkan secara langsung berdasarkan data observasi terkini. Pada Gambar 2.3 (bawah), *offline tracking* menggunakan data *frame* dalam bentuk *batch* atau kumpulan sehingga diperlukan data observasi secara keseluruhan terlebih dahulu sebelum dianalisis untuk didapatkan hasil *tracking*.

Detail perbedaan *online* dan *offline* *tracking* pada Tabel 2.1 menunjukkan bahwa *online tracking* memiliki kelebihan dapat digunakan untuk kebutuhan *realtime* sedangkan *offline tracking* secara teori mampu menghasilkan keluaran yang mencapai *global optimum*.

Tabel 2.1 Perbandingan *Online* dan *Offline Tracking* [9]

Item	<i>Online Tracking</i>	<i>Offline Tracking</i>
Masukan	Observasi terkini	Semua observasi
Metode	Mengembangkan lintasan secara bertahap dengan observasi terkini	Menghubungkan semua observasi menjadi lintasan-lintasan
Kelebihan	Tepat untuk kebutuhan <i>realtime</i>	Dapat mencapai hasil <i>global optimum</i> secara teori
Kekurangan	Terkendala kurangnya observasi	Ada jeda hingga didapat hasil akhir

um. Kelemahan dari *online tracking* adalah kurangnya data observasi yang dapat digunakan sehingga hasil yang didapat bisa terjebak *local optima*, sedangkan *offline tracking* memiliki jeda hingga didapat hasil akhir sehingga tidak dapat digunakan untuk kebutuhan *realtime*.

2.4. K-Means

K-Means merupakan salah satu algoritma *clustering* yang bersifat iteratif dengan tujuan untuk membagi data menjadi K *cluster*. Dalam K-Means diberikan bilangan bulat k dan himpunan n titik data $\chi \subset \mathbb{R}^d$. Kemudian dipilih k titik pusat C untuk meminimalkan fungsi potensi ϕ seperti pada Persamaan 2.1 [10]. *Pseudocode* dari algoritma K-Means dapat dilihat pada Pseudocode 2.1

$$\phi = \sum_{x \in \chi} \min_{c \in C} \|x - c\|^2 \quad (2.1)$$

K-Means menggunakan fungsi jarak dalam menentukan ke-

Pseudocode 2.1: K-MEANS

```

1: function KMeans(DATA, K)
2:    $C \leftarrow$  initial K centers  $[c_1, c_2, \dots, c_K]$  from Data
3:   while  $C$  not changed do
4:     for  $i$  in  $[1..K]$  do
5:        $c_i \leftarrow \{x \mid x \in Data,$ 
6:        $\text{dist}(x, C_i) < \text{dist}(x, C_j) \forall j \in K \wedge i \neq j\}$ 
7:     end for
8:     for  $i$  in  $[1..K]$  do
9:        $C_i \leftarrow \frac{1}{|C_i|} \sum_{x \in c_i} x$ 
10:    end for
11:   end while
end function

```

anggotaan *cluster*. Umumnya fungsi yang digunakan adalah jarak *Euclidean* seperti pada Persamaan 2.2.

$$\text{dist}(p, q) = \sqrt{\sum_{i=1}^n (q_i - p_i)^2} \quad (2.2)$$

2.4.1. K-Means dengan Batasan

Penerapan K-Means standar pada data dengan dimensi tinggi ($n > 10$) atau data dengan persebarang yang luas dapat menghasilkan *cluster* dengan banyak anggota yang sangat tidak seimbang bahkan hanya berisikan 1 anggota. Hasil seperti ini tidak dapat digunakan dalam beberapa kasus yang membutuhkan penerapan banyak minimal dari anggota dalam satu *cluster*.

$$\begin{aligned}
 & \min_{C,T} \sum_{i=1}^n \sum_{h=1}^K T_{i,h} \cdot \left(\frac{1}{2} \|x^i - C^h\|^2 \right) \\
 & \text{subject to } \sum_{h=1}^K T_{i,h} = 1, i = 1, \dots, m, \\
 & \quad T_{i,h} \geq 0, i = 1, \dots, m, h = 1, \dots, k, \\
 & \quad \sum_{h=1}^k T_h \leq m.
 \end{aligned} \tag{2.3}$$

Penerapan batasan banyak anggota dalam K-Means dapat di-modelkan dengan Persamaan 2.3 [11]. Diberikan n titik data yang akan dikelompokkan menjadi K cluster dengan maksimal banyak anggota m di tiap cluster dan C merupakan centroid dari tiap cluster. Untuk menerapkan batasan banyak anggota digunakan variabel T sebagai variabel selektor keanggotaan titik data terhadap suatu cluster. Penyelesaian K-Means dengan batasan maksimal banyak anggota mirip seperti K-Means standar tetapi memiliki perbedaan pada proses update keanggotaan cluster yang memperhatikan variabel T dan diselesaikan dengan optimasi jaringan linier *Minimum Cost Flow* [11].

2.5. Kalman Filter

Kalman filter merupakan rangkaian persamaan matematika yang digunakan untuk melakukan estimasi nilai keadaan suatu sistem dengan tujuan meminimalkan nilai *error* yang didapat. *Kalman filter* dapat melakukan prediksi nilai keadaan sistem untuk kondisi lampau, masa kini, dan yang akan datang dengan keakuratan yang tinggi tanpa mengetahui sifat atau model dari sistem yang diprediksi [12]. *Kalman filter* banyak diaplikasikan di bidang navigasi dan sensor tanam untuk meningkatkan kehandalan hasil pengukuran yang diproses.

Kalman filter memprediksi nilai keadaan sistem berdasarkan masukan nilai pengukuran atau observasi. Nilai pengukuran yang didapat umumnya memiliki *noise* atau kemungkinan *error* dan dapat ditangani dengan baik oleh *Kalman filter*. Hal ini dimungkinkan dengan proses perhitungan yang melibatkan kovarians nilai pengukuran dan lingkungan eksternal sistem untuk mendapatkan nilai keadaan yang paling mungkin dari ruang probabilitas nilai keadaan sistem. Proses di dalam *Kalman filter* terbagi dalam dua tahap, yaitu proses perhitungan nilai terhadap waktu dan perhitungan *update* nilai internal terhadap nilai pengukuran.

$$\begin{aligned}\hat{x}_k^- &= F\hat{x}_{k-1} + Bu_{k-1} \\ P_k^- &= FP_{k-1}^-F^T + Q\end{aligned}\tag{2.4}$$

Proses perhitungan nilai terhadap waktu ada pada Persamaan 2.4. Nilai estimasi keadaan sistem pada waktu k atau estimasi *priori* diwakili oleh \hat{x}_k^- . F merupakan matriks transisi keadaan antar waktu. Untuk melibatkan pengaruh lingkungan eksternal, digunakan matriks kontrol B dan vektor kontrol u_{k-1} yang mewakili pengaruh yang diakibatkan lingkungan eksternal. P_k^- merupakan matriks kovarians nilai estimasi *priori* keadaan sistem di waktu k . Q merupakan matriks kovarians *noise* proses yang mewakili probabilitas dari lingkungan eksternal sistem.

$$\begin{aligned}K_k &= P_k^- H^T (HP_k^- H^T + R)^{-1} \\ \hat{x}_k &= \hat{x}_k^- + K_k(z_k - H\hat{x}_k^-) \\ P_k &= (I - K_k H)P_k^-\end{aligned}\tag{2.5}$$

Proses perhitungan *update* nilai internal terhadap hasil pengukuran ada pada Persamaan 2.5. K_k merupakan *Kalman gain* di waktu k . P_k^- merupakan matriks kovarians nilai estimasi *posterior* keadaan sistem di waktu k . H merupakan matriks model pengukuran. R merupakan matriks *noise* pengukuran. I merupakan matriks

identitas. Nilai pengukuran di waktu k diwakili oleh z_k yang digunakan dalam proses *update* nilai \hat{x} posterior.

Proses perhitungan dalam *Kalman filter* terjadi dalam siklus antara perhitungan nilai terhadap waktu (nilai *priori*) dan perhitungan nilai terhadap pengukuran (nilai *posterior*). Saat pertama masuknya nilai pengukuran z_k , akan dihitung nilai K_k terkini. Kemudian, nilai pengukuran z_k dan *Kalman gain* K_k digunakan untuk menghitung nilai \hat{x}_k *posterior*. Lalu, dihitung nilai kovarians P_k *posterior* dari K_k yang baru. Untuk memprediksi nilai \hat{x}_{k+1}^- (nilai *priori*), digunakan hasil perhitungan \hat{x}_k . Kemudian dihitung juga nilai priori dari P_{k+1}^- berdasarkan nilai P_k^- .

2.6. Asosiasi Data Berbasis Batasan Struktural

Asosiasi data berbasis batasan struktural merupakan metode yang bertujuan untuk mengatasi kelemahan algoritma lain dalam melakukan asosiasi data pada data video yang tidak stabil dikarenakan pergerakan perangkat perekaman. Pada Persamaan 2.6, sebuah objek i di *frame* t dilambangkan dalam sebuah vektor s_t^i dengan (x_t^i, y_t^i) merupakan posisi objek dalam bidang 2D, $(\dot{x}_t^i, \dot{y}_t^i)$ merupakan kecepatan pada bidang 2D, dan (w_t^i, h_t^i) merupakan ukuran lebar dan tinggi objek. Himpunan objek di *frame* t didefinisikan sebagai $\mathcal{S}_t (s_i^t \in \mathcal{S}_t)$ dengan indeks $i \in \mathcal{I}_t \triangleq \{1, \dots, N\}$. Sedangkan untuk deteksi di *frame* t didefinisikan dalam Persamaan 2.7 sebagai d_t^k . Himpunan deteksi di *frame* t didefinisikan sebagai $\mathcal{D}_t (d_t^k \in \mathcal{D}_t)$ dengan indeks $k \in \mathcal{K}_t \triangleq \{0, 1, \dots, K\}$. Penggunaan indeks 0 ditujukan untuk alokasi deteksi bagi objek yang gagal dideteksi.

$$s_t^i = [x_t^i, y_t^i, \dot{x}_t^i, \dot{y}_t^i, w_t^i, h_t^i]^T \quad (2.6)$$

$$d_t^k = [x_t^k, y_t^k, w_t^k, h_t^k]^T \quad (2.7)$$

Batasan struktural yang digunakan dalam metode ini merupakan vektor $e_t^{i,j}$ seperti pada Persamaan 2.8 yang didapat dari seli-

sih vektor objek i dan j pada waktu t . Batasan struktural akan digunakan untuk mendapatkan posisi suatu objek relatif terhadap posisi objek lain sehingga dapat meminimalisasi dampak dari pergerakan perangkat perekaman video. Himpunan batasan struktural untuk objek i didefinisikan sebagai $\mathcal{E}_t^i = \{e_t^{i,j} | \forall j \in \mathcal{I}_t\}$ dan himpunan semua batasan struktural yang ada dalam *frame* t didefinisikan sebagai $\mathcal{E}_t = \{\mathcal{E}_t^i | \forall i \in \mathcal{I}_t\}$.

$$\begin{aligned} e_t^{i,j} &= [\chi_t^{i,j}, \xi_t^{i,j}, \dot{\chi}_t^{i,j}, \dot{\xi}_t^{i,j}]^T \\ &= [x_t^i - x_t^j, y_t^i - y_t^j, \dot{x}_t^i - \dot{x}_t^j, \dot{y}_t^i - \dot{y}_t^j]^T \end{aligned} \quad (2.8)$$

Permasalahan *multi object tracking* termasuk masalah asosiasi data dengan tujuan mendapatkan pasangan yang benar antara objek dan deteksi. Matriks pasangan asosiasi didefinisikan pada Persamaan 2.9. Pasangan objek i dan deteksi k diasosiasikan saat $a^{i,k}$ bernilai 1. Matriks asosiasi A harus menenuhi dua syarat, yaitu setiap deteksi diasosiasikan ke maksimal satu objek dan setiap objek diasosiasikan ke maksimal satu deteksi. Dalam asosiasi data, matriks asosiasi terbaik \hat{A} dipilih dari matriks asosiasi dengan *cost* terkecil seperti pada Persamaan 2.10, dengan $a^{i,0}$ adalah kasus objek yang tidak terdeteksi sehingga jika semua objek tidak terdeteksi maka jumlah dari $a^{i,0}$ terhadap i sama dengan banyaknya objek $|I|$.

$$\begin{aligned} \mathcal{A} &= \{a^{i,k} | i \in \mathcal{I}, k \in \mathcal{K}\}, \\ a^{i,k} &= \{0,1\} \end{aligned} \quad (2.9)$$

$$\begin{aligned} \hat{A} &= \arg \min_{\mathcal{A}} C(\mathcal{A}, \mathcal{S}, \mathcal{E}, \mathcal{D}), \\ \text{s.t. } \sum_{\substack{i \in \mathcal{I} \\ k \neq 0}} a^{i,k} &\leq 1 \wedge \sum_{k \in \mathcal{K}} a^{i,k} = 1 \wedge \sum_{i \in \mathcal{I}} a^{i,0} \leq |\mathcal{I}| \end{aligned} \quad (2.10)$$

Metode ini terdiri dari 3 tahap utama seperti dalam Pseudo-code 2.2, yaitu *Structural Constraint Event Aggregation* (SCEA), *Structural Constraint Object Recovery* (SCOR), dan manajemen objek dan batasan struktural. \mathcal{S}_w merupakan himpunan objek yang terlacak. \mathcal{E}_w merupakan batasan struktural antar objek yang terlacak. \mathcal{S}_m merupakan himpunan objek yang tidak terdeteksi. \mathcal{E}_m merupakan batasan struktural antara objek terlacak dengan objek tidak terdeteksi. \mathcal{D} merupakan himpunan deteksi.

Pseudocode 2.2: OBJECT TRACKING DENGAN SCEA DAN SCOR

Input: $\mathcal{S}_w, \mathcal{E}_w, \mathcal{S}_m, \mathcal{E}_m, \mathcal{D}$

Output: Trajectories of the targets

```

1: for video frame  $f$  do
2:    $\mathcal{A}_w \leftarrow SCEA(\mathcal{S}_w, \mathcal{E}_w, \mathcal{D})$ 
3:    $\mathcal{S}_w \leftarrow \{s_i = d^k | a^{i,k} = 1, \forall i \in \mathcal{I}_w, \forall k \in \mathcal{K}\}$ 
4:    $\mathcal{A}_m \leftarrow SCOR(\mathcal{S}_m, \mathcal{E}_m, \mathcal{S}_w, \tilde{\mathcal{D}})$ 
5:    $\mathcal{A} \leftarrow \mathcal{A}_w \cup \mathcal{A}_m$ 
6:   Update  $\mathcal{S}_w$  and  $\mathcal{S}_m$  via object management
7:   Update  $\mathcal{E}_w$  and  $\mathcal{E}_m$  via structural constraint update
8:    $\mathcal{S}_w \leftarrow \{s^i | a^{i,k} = 1, \forall i \in \mathcal{I}_w \cup \mathcal{I}_m, \forall k \in \mathcal{K}\}$ 
9: end for

```

2.6.1. Structural Constraint Event Aggregation (SCEA)

Structural Constraint Event Aggregation (SCEA) merupakan tahap asosiasi antara himpunan objek yang sudah terlacak sebelumnya dengan himpunan deteksi di *frame t*. Dalam SCEA terdapat tiga tahap, yaitu pembuatan partisi, perhitungan *cost* dengan batasan struktural, dan agregat hasil asosiasi yang terdapat dalam Pseudo-code 2.3.

Pseudocode 2.3: SCEA

Input: $\mathcal{S}_w, \mathcal{E}_w, \mathcal{D}$

Output: assignment matrix \mathcal{A}_w

- 1: $gated_mask \leftarrow GATING(\mathcal{S}_w, \mathcal{D})$
 - 2: $\mathcal{S}_w^P, \mathcal{D}^P \leftarrow PARTITION(\mathcal{S}_w, \mathcal{D}); \mathcal{S}_w^P \subset \mathcal{S}_w, \mathcal{D}^P \subset \mathcal{D}$
 - 3: $\mathcal{A}_{all}^P \leftarrow ASSIGNMENT_GENERATOR($
 - 4: $\mathcal{S}_w^P, \mathcal{D}^P, gated_mask)$
 - 5: **for** $p = 1 : P$ **do**
 - 6: $C(\mathcal{A}^p, \mathcal{S}_w^p, \mathcal{E}_w, \mathcal{D}^p) \leftarrow$

$$\frac{1}{\Delta} \sum_{\substack{i \in \mathcal{I}_w^p, k \in K^p \\ a^{i,k}=1}} \left(a^{i,k} \Omega_{i,k} + \sum_{\substack{j \in \mathcal{I}_w^p \\ j \neq i}} \sum_{q \in K^p} a^{j,q} \Theta_{i,k}^{j,q} \right),$$

$$\Delta = \sum_{a^{i,k} \in \mathcal{A}^p} a^{i,k}$$
 - 7: $\hat{\mathcal{A}}^p \leftarrow \arg \min_{\mathcal{A}^p} (C(\mathcal{A}^p, \mathcal{S}_w^p, \mathcal{E}_w, \mathcal{D}^p)), \mathcal{A}^p \subset \mathcal{A}_{all}^p$
 - 8: $\mathcal{A}_w \leftarrow \mathcal{A}_w \cup \hat{\mathcal{A}}^p$
 - 9: **end for**
 - 10: **return** \mathcal{A}_w
-

2.6.1.1. Pembuatan Partisi

Pada tahap pembuatan partisi dilakukan dua proses, yaitu *gating* dan pembagian menjadi partisi. Pada proses *gating*, akan dilakukan eliminasi matriks asosiasi \mathcal{A} untuk asosiasi yang tidak menuhi syarat pada Persamaan 2.11. p^i dan p_d^k masing-masing merupakan posisi objek i dan deteksi k . (w^i, h^i) merupakan lebar dan tinggi objek i . Nilai konstanta τ_s diisikan 0,7. Jika syarat terpenuhi, maka $a^{i,k}$ bernilai 1. Sebaliknya $a^{i,k}$ akan bernilai 0. Pada Gambar 2.4a dan 2.4b, terlihat bahwa ruang pencarian atau asosiasi yang memungkinkan yang diwakili daerah berwarna abu-abu men-

jadi semakin kecil setelah dilakukan proses *gating*. Kotak berwarna kuning menunjukkan deteksi di *frame* saat ini dan kotak berwarna yang lain menunjukkan objek yang sudah terlacak sebelumnya.

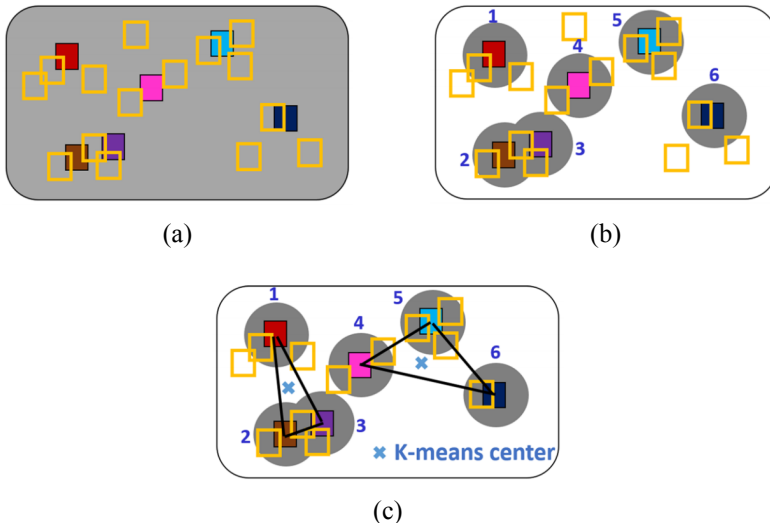
$$\left(\left\| p^i - p_d^k \right\| < \sqrt{(w^i)^2 + (h^i)^2} \right) \wedge \left(\exp(-F_s(s^i, d^k)) > \tau_s \right) \quad (2.11)$$

Penyelesaian masalah asosiasi data dalam SCEA dilakukan dalam partisi-partisi kecil sehingga kompleksitasnya semakin rendah. Partisi dibuat berdasarkan titik pusat *cluster* hasil dari K-Means dengan masukan posisi objek. Banyaknya partisi yang dihasilkan adalah $P = \lceil \text{banyak objek}/5 \rceil$. Lalu, banyak anggota tiap partisi juga dibatasi maksimal 5 objek. Ilustrasi pembagian objek menjadi partisi terdapat pada Gambar 2.4c. Dari P partisi yang dihasilkan dibuat kombinasi matriks asosiasi dari tiap partisi yang memenuhi Persamaan 2.10 untuk kemudian dihitung *cost* dari tiap kombinasinya.

2.6.1.2. Perhitungan Cost dengan Batasan Struktural

Untuk mengatasi dampak pergerakan perangkat perekam, batasan struktural digunakan dalam perhitungan *cost* asosiasi objek dengan deteksi. Dari matriks asosiasi \mathcal{A} , dipilih satu asosiasi $a^{i,k}$ yang bernilai 1 untuk dijadikan *anchor*. *Anchor* digunakan sebagai referensi dalam menentukan posisi objek lain berdasarkan batasan struktural antara objek *anchor* dan objek lain.

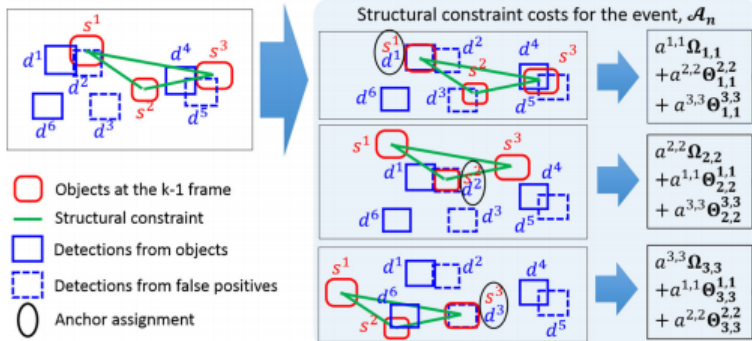
Contoh penggunaan batasan struktural dengan objek *anchor* ada pada Gambar 2.5. Dalam contoh tersebut, asosiasi yang terjadi dalam matriks \mathcal{A}_n adalah $a^{1,1} = a^{2,2} = a^{3,3} = 1$. Pada baris pertama, objek 1 diasosiasikan dengan deteksi 1 dan posisi objek 1 dipindahkan ke posisi deteksi 1. Kemudian posisi objek lain ditentukan berdasarkan batasan strukturalnya terhadap objek 1. Kemudian dapat dihitung *cost* asosiasi untuk *anchor* $a^{1,1} = 1$. Dengan



Gambar 2.4 Ilustrasi Proses Pembuatan Partisi [3]: (a) Ruang Pencarian Awal, (b) Eliminasi dengan Gating, (c) Partisi dengan K-Means

mengganti *anchor* menjadi pada objek 2 dan 3 akan didapat 3 *cost* berbeda walaupun peristiwa asosiasinya sama.

Perhitungan *cost* berbasis batasan struktural didefinisikan pada Persamaan 2.12 dengan i dan k menunjukkan indeks dari *cost* yang dihitung berdasarkan asosiasi $a^{i,k}$. *Anchor cost* $\Omega_{i,k}$ didefinisikan pada Persamaan 2.13. *Anchor cost* terdiri dari *cost* ukuran (F_s) dan *cost* penampilan (F_a) yang didefinisikan pada Persamaan 2.14. Dengan (w^i, h^i) dan (w_d^k, h_d^k) merupakan lebar dan tinggi dari objek i dan deteksi k . $p^n(s^i)$ dan $p^n(d^k)$ merupakan histogram.



Gambar 2.5 Contoh Penggunaan Batasan Struktural dalam Anchor [3]

b adalah indeks *bin* dan B adalah banyaknya *bin*.

$$C(\mathcal{A}^p, \mathcal{S}_w^p, \mathcal{E}_w, \mathcal{D}^p)|_{a^{i,k}} = a^{i,k} \Omega_{i,k} + \sum_{\substack{j \in \mathcal{I}_w \\ j \neq i}} \sum_{\substack{q \in K \\ q \neq k}} a^{j,q} \Theta_{i,k}^{j,q} \quad (2.12)$$

$$\Omega_{i,k} = F_s(s^i, d^k) + F_a(s^i, d^k) \quad (2.13)$$

$$F_s(s^i, d^k) = -\ln \left(1 - \frac{|h^i - h_d^k|}{2(h^i + h_d^k)} - \frac{|w^i - w_d^k|}{2(w^i + w_d^k)} \right) \quad (2.14)$$

$$F_a(s^i, d^k) = -\ln \sum_{b=1}^B \sqrt{p^b(s^i)p^b(d^k)}$$

$$\Theta_{i,k}^{j,q} = \begin{cases} F_s(s^j, d^q) + F_a(s^j, d^q) + F_c(s^j, e^{j,i}, d^k, d^q) & \text{if } q \neq 0 \\ \tau & \text{if } q = 0 \end{cases} \quad (2.15)$$

$$F_c(s^j, e^{j,i}, d^k, d^q) = -\ln \left(\frac{\text{area}(B(s^{j,k}) \cap B(d^q))}{\text{area}(B(s^{j,k}) \cup B(d^q))} \right) \quad (2.16)$$

$$s^{j,k} = [x_d^k, y_d^k, 0, 0]^T + [\chi^{j,i}, \xi^{j,i}, w^j, h^j]^T$$

Berdasarkan objek *anchor*, dihitung *linked cost* berbasis batasan struktural seperti pada Persamaan 2.15. Nilai τ diatur bernilai 4 untuk kasus objek yang tidak terdeteksi d_0 . Pada Persamaan 2.16, posisi objek j ditentukan berdasarkan posisi *anchor* (posisi deteksi k) dan batasan struktural $e^{j,i}$. Fungsi *cost* F_c dihitung menggunakan *overlap ratio* atau *intersection over union* (IoU) antara *bounding box* deteksi dan *ground truth*.

2.6.1.3. Agregat Hasil Asosiasi

Dari satu matriks asosiasi \mathcal{A} didapat perhitungan *cost* untuk banyak *anchor* yang kemudian dilakukan agregasi sehingga didapatkan nilai *cost* akhir. Adanya proses agregasi dari berbagai *anchor cost* membantu mengurangi ambiguitas dari *false positive* objek yang dekat, dan deteksi yang keliru karena dilakukan perhitungan *cost* untuk satu matriks asosiasi \mathcal{A} berulang kali sebanyak *anchor*.

$$C(\mathcal{A}, \mathcal{S}_w, \mathcal{E}_w, \mathcal{D}) = \frac{1}{\Delta} \sum_{i \in I} \sum_{\substack{k \in \mathcal{K} \\ a^{i,k}=1}} C(\mathcal{A}, \mathcal{S}_w, \mathcal{E}_w, \mathcal{D})|_{a^{i,k}}, \quad (2.17)$$

$$\Delta = \sum_{i \in \mathcal{I}, k \in \mathcal{K}} a^{i,k}$$

$$\mathcal{A}_w = \arg \min_A C(\mathcal{A}, \mathcal{S}_w, \mathcal{E}_w, \mathcal{D}), \mathcal{A} \subset \mathcal{A}_{all} \quad (2.18)$$

Proses agregasi diformulasikan seperti pada Persamaan 2.17. Dengan Δ merupakan banyaknya *anchor* yang terpilih dari \mathcal{A} . Kemudian dipilih matriks asosiasi terbaik \mathcal{A}_w dengan *cost* terkecil seperti pada Persamaan 2.18. Dari \mathcal{A}_w , nilai objek yang terdeteksi diperbarui dengan deteksi yang diasosiasikan $\hat{s}^i = d^k$ if $a^{i,k} = 1$. Objek yang diperbarui ini akan digunakan pada proses *Structural Constraint Object Recovery* (SCOR).

2.6.2. Structural Constraint Object Recovery (SCOR)

Structural Constraint Object Recovery (SCOR) merupakan tahap setelah SCEA yang bertujuan untuk memulihkan objek yang hilang dari SCEA. Dari matriks asosiasi \mathcal{A}_w dari SCEA, ada himpunan objek yang gagal diasosiasikan dan deteksi yang belum diasosiasikan dengan objek manapun. Matriks asosiasi hasil SCOR \mathcal{A}_m didefinisikan pada Persamaan 2.19. \mathcal{S}_m merupakan himpunan objek yang hilang. \mathcal{S}_w merupakan himpunan objek yang terlacak di SCEA dan sudah diperbarui nilainya dengan deteksi yang diasosiasikan. \mathcal{E}_m merupakan batasan struktural antara \mathcal{S}_w dan \mathcal{S}_m . \mathcal{I}_m merupakan indeks dari objek yang hilang. $\tilde{\mathcal{K}}$ merupakan indeks himpunan deteksi $\tilde{\mathcal{D}}$, dengan $\tilde{\mathcal{D}}$ merupakan himpunan yang belum diasosiasikan di SCEA ditambah dengan deteksi *dummy* d_0 untuk kasus objek salah deteksi.

$$\begin{aligned} \mathcal{A}_m &= \arg \min_{\mathcal{A}} C(\mathcal{S}_m, \mathcal{E}_m, \mathcal{S}_w, \tilde{\mathcal{D}}), \\ s.t. \quad &\sum_{i \in \mathcal{I}_m} a^{i,q} = 1 \wedge \sum_{q \in \tilde{\mathcal{K}}} a^{i,q} = 1 \end{aligned} \tag{2.19}$$

Fungsi *cost* yang digunakan dalam SCOR didefinisikan pada Persamaan 2.20. τ bernilai positif dan diisikan dengan 4 pada program. Objek i yang hilang dipulihkan menggunakan batasan strukturalnya. *Constraint cost* didefinisikan pada Persamaan

2.21. s_1^γ merupakan nilai posisi objek yang diperbarui dari deteksi $[x_d^k, y_d^k]$, $s_1^i \in \mathcal{S}_1^w$ if $a^{i,k} = 1$.

$$C(\mathcal{S}_m, \mathcal{E}_m, \mathcal{S}_w, \tilde{\mathcal{D}}) = \sum_{i \in \mathcal{I}_m} \sum_{q \in \tilde{\mathcal{K}}} a^{i,q} \Phi^{i,q}$$

$$\Phi^{i,q} = \begin{cases} F_s(s^i, d^q) + F_a(s^i, d^q) + F_r(s^i, \mathcal{E}_m, \mathcal{S}_w, d^q) & \text{if } q \neq 0 \\ \tau & \text{if } q = 0 \end{cases} \quad (2.20)$$

$$F_r(s^i, \mathcal{E}_m, \mathcal{S}_w, d^q) = -\ln \left(\frac{\text{area}(B(s^{i,\gamma}) \cap B(d^q))}{\text{area}(B(s^{i,\gamma}) \cup B(d^q))} \right),$$

$$s^{i,\gamma} = [(s_1^\gamma)^T, 0, 0] + [\chi^{i,\gamma}, \xi^{i,\gamma}, w^i, h^i]^T, \quad (2.21)$$

$$\gamma = \arg \max_{j \in \mathcal{I}_w} \frac{1}{\|[\chi^{i,j}, \xi^{i,j}]\|}$$

Untuk dapat menyelesaikan Persamaan 2.19, maka dirubah ke bentuk permasalahan *linear sum assignment* pada Persamaan 2.22. Nilai Φ^0 non-diagonal diisikan dengan ∞ . Kemudian C diselesaikan dengan algoritma Hungarian untuk didapatkan asosiasi dengan *cost* terkecil.

$$C = \left[\Phi_{|N^m| \times |\bar{M}|}^{det} \Phi_{|N^m| \times |N^m|}^0 \right],$$

$$\Phi^{det} = [\Phi^{i,q}], \forall i \in \mathcal{I}_m, \forall q \in \tilde{\mathcal{K}}, \quad (2.22)$$

$$\Phi^0 = diag[\Phi^{i,0}], \forall i \in \mathcal{I}_m$$

2.6.3. Manajemen Objek dan Batasan Struktural

Berdasarkan matriks asosiasi akhir hasil penggabungan \mathcal{A}_w dari SCEA dan \mathcal{A}_m dari SCOR dilakukan pembaruan nilai objek dan batasan struktural. Dalam proses manajemen terdapat langkah

untuk memperbarui nilai, menghapus objek, dan membuat objek baru.

2.6.3.1. Manajemen Objek

Nilai objek yang diasosiasikan dengan deteksi tidak secara langsung diperbarui dengan nilai deteksi, tetapi melalui *Kalman filter* (KF). Proses pembaruan dengan Kalman dinyatakan dalam Persamaan 2.23. KF merupakan *Kalman filter* dengan model pergerakan F , matriks kovarians pergerakan Q , model pengukuran H , dan matriks kovarians *noise* pengukuran R .

$$\begin{aligned} \mathcal{S}_w = \{ & s^i = KF(s^i, d^k, F, Q, H, R) | a^{i,k} \\ & = 1, \forall i \in \mathcal{I}_w \cup \mathcal{I}_m, \forall k \in \mathcal{K} \} \end{aligned} \quad (2.23)$$

Nilai masing-masing komponen *Kalman filter* ada pada Persamaan 2.24. I_n merupakan matriks identitas berukuran $n \times n$ dan 0_n merupakan matriks nol berukuran $n \times n$. Dengan σ_q merupakan probabilitas perubahan kecepatan terhadap waktu dan σ_s merupakan probabilitas perubahan ukuran. Standar deviasi dari *noise* posisi dan ukuran deteksi dinyatakan dengan σ_x , σ_y , σ_w , dan σ_h . Dalam [3] nilai parameternya adalah $\sigma_q = 15$, $\sigma_x = \sigma_y = 3$, dan $\sigma_s = \sigma_w = \sigma_h = 15$.

Penampilan objek dalam histogramnya juga diperbarui seiring waktu. Jika histogram objek adalah \mathcal{H}_{t-1} maka histogram akan diperbarui sesuai Persamaan 2.25. Dengan $\hat{\mathcal{H}}$ merupakan histogram objek dari deteksi di *frame* sekarang dan δ merupakan *learning rate* yang nilainya 0,1. Proses pembaruan histogram tidak diterapkan pada objek yang hilang. Selain itu, objek yang hilang juga tidak diperbarui nilai ukurannya.

Setelah pembaruan nilai objek, dilakukan eliminasi pada lintasan objek yang tidak diasosiasikan dengan deteksi selama beberapa *frame*. Pada [3], batasan yang digunakan adalah dua *frame* be-

runtun. Kemudian, dibuat juga objek baru untuk deteksi yang tidak diasosiasikan dengan objek manapun.

$$F = \begin{bmatrix} 1 & 0 & 1 & 0 & 0 & 0 \\ 0 & 1 & 0 & 1 & 0 & 0 \\ 0 & 0 & 1 & 0 & 0 & 0 \\ 0 & 0 & 0 & 1 & 0 & 0 \\ 0 & 0 & 0 & 0 & 1 & 0 \\ 0 & 0 & 0 & 0 & 0 & 1 \end{bmatrix}, H = [I_2, 0_2, I_2], R = diag(\sigma_x^2, \sigma_y^2, \sigma_w^2, \sigma_h^2)$$

$$Q = \begin{bmatrix} 0.25\sigma_q^2 & 0.5\sigma_q^2 & 0 & 0 & 0 & 0 \\ 0.25\sigma_q^2 & 0.5\sigma_q^2 & 0 & 0 & 0 & 0 \\ 0 & 0 & 0.5\sigma_q^2 & \sigma_q^2 & 0 & 0 \\ 0 & 0 & 0.5\sigma_q^2 & \sigma_q^2 & 0 & 0 \\ 0 & 0 & 0 & 0 & \sigma_s^2 & 0 \\ 0 & 0 & 0 & 0 & 0 & \sigma_s^2 \end{bmatrix} \quad (2.24)$$

$$\mathcal{H}_t = (1 - \delta)\mathcal{H}_{t-1} + \delta\hat{\mathcal{H}} \quad (2.25)$$

2.6.3.2. Manajemen Batasan Struktural

Setelah dilakukan proses *tracking* pada objek, dilakukan pembaruan batasan struktural antar objek berdasarkan deteksi yang diasosiasikan. Pembaruan nilai menggunakan *Kalman filter* seperti pada Persamaan 2.26. Dengan $z^{i,j} = [x_d^i, y_d^i]^T - [x_d^j, y_d^j]^T$ sebagai masukan nilai pengukuran dan $[x_d^i, y_d^i]^T$ merupakan nilai posisi deteksi yang diasosiasikan ke objek i .

$$e^{i,j} = KF(e^{i,j}, z^{i,j}, F_{sc}, Q_{sc}, H_{sc}, R_{sc}), \text{ if } a^{i,k} \\ = a^{j,k} = 1 \quad (2.26)$$

Dari Persamaan 2.26, nilai model pergerakan F_{sc} , matriks kovarians pergerakan Q_{sc} , model pengukuran H_{sc} , dan matriks kova-

rians *noise* pengukuran R_{sc} dijelaskan pada Persamaan 2.27.

$$F = \begin{bmatrix} 1 & 0 & 1 & 0 \\ 0 & 1 & 0 & 1 \\ 0 & 0 & 1 & 0 \\ 0 & 0 & 0 & 1 \end{bmatrix}, Q = \begin{bmatrix} 0.25\sigma_{sc}^2 & 0.5\sigma_{sc}^2 & 0 & 0 \\ 0.25\sigma_{sc}^2 & 0.5\sigma_{sc}^2 & 0 & 0 \\ 0 & 0 & 0.5\sigma_{sc}^2 & \sigma_{sc}^2 \\ 0 & 0 & 0.5\sigma_{sc}^2 & \sigma_{sc}^2 \end{bmatrix},$$

$$H_{sc} = [I_2, 0_2], R_{sc} = \text{diag}(\sigma_x^2, \sigma_y^2) \quad (2.27)$$

Standar deviasi perubahan pergerakan σ_{sc} untuk batasan struktural menunjukkan kemungkinan perubahan terhadap waktu. Berbeda dengan pembaruan nilai objek, batasan struktural tidak terlalu dipengaruhi pergerakan kamera sehingga nilai σ_{sc} diisikan 1, sehingga memaksa perubahan batasan struktural untuk mengikuti model F_{sc} [3]. Untuk kovarians *noise* pengukuran R_{sc} , parameter-nya adalah $\sigma_x = \sigma_y = 3$ sama seperti pada pembaruan nilai objek. Khusus untuk batasan struktural dari pasangan objek yang salah satu objek atau keduanya hilang digunakan Persamaan 2.28.

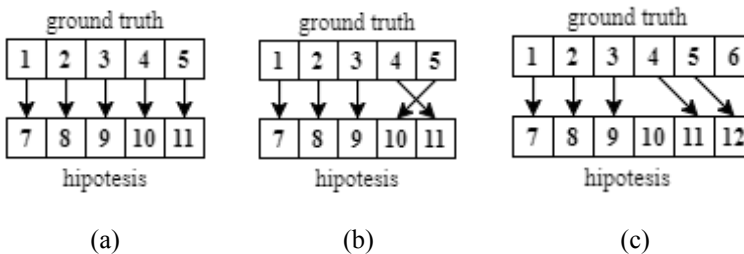
$$e_t^{i,j} = F_{sc} e_{t-1}^{i,j}, \text{ if } \neg(a^{i,k} = a^{j,k} = 1) \quad (2.28)$$

Ketika objek yang baru dibuat, nilai batasan strukturalnya dibuat sesuai Persamaan 2.8 dengan nilai $\dot{\chi}_t^{i,j} = \dot{\xi}_t^{i,j} = 0$. Jika suatu objek dieliminasi, maka semua batasan struktural yang dibuat dari objek tersebut akan dieliminasi juga.

2.7. Metrik dalam Multi Object Tracking

Metrik yang digunakan dalam pengukuran performa *multi object tracking* (MOT) secara umum mirip dengan metrik yang digunakan dalam *supervised learning* yaitu *false positive*, *false negative*, *precision*, dan *recall*. Namun, ada perbedaan definisi dari *false positive* dan *false negative* [13].

Informasi yang menjadi masukan dalam evaluasi MOT adalah ID *tracklet* dan data *bounding box* dari data *ground truth* dan hipotesis hasil *tracking*. Evaluasi dilakukan dengan mencoba memasangkan objek di *ground truth* dengan hipotesis yang ada. Penentuan pasangan menggunakan nilai IoU dari semua kombinasi pasangan yang ada lalu diselesaikan dengan *linear assignment*. Nilai IoU juga diberikan batasan nilai minimal yang biasanya diatur sebesar 0,5. Dari hasil pasangan yang didapat akan dikelompokkan menjadi beberapa jenis.



Gambar 2.6 Perbandingan *Ground Truth* dengan Hipotesis *Tracking*: (a) *Frame t*, (b) *Frame t + 1*, dan (c) *Frame t + 2*

Pada Gambar 2.6 terdapat ilustrasi perbandingan *ground truth* dengan hipotesis hasil *tracking*. Setiap kotak kecil mewakili ID objek yang ada di masing-masing sumber data. ID yang ada di *ground truth* dan hipotesis dapat memiliki format atau urutan yang berbeda. Panah pada gambar menunjukkan pasangan ID antara *ground truth* dan hipotesis dari hasil *linear assignment* proses evaluasi.

Pada Gambar 2.6a yang menampilkan *frame t*, diasumsikan pasangan yang didapat sama dengan yang ada pada *frame t - 1* sehingga semua objek di *ground truth* masih dipasangkan dengan objek hipotesis yang sama. Pada *frame t* terhitung ada lima *match* dan merupakan kondisi ideal.

Pada Gambar 2.6b yang menampilkan *frame* $t + 1$, dapat dilihat ada pasangan yang berubah dari yang terdapat pada *frame* t . Pada *frame* sebelumnya, objek ID 4 menjadi pasangan dari hipotesis ID 10 tetapi sekarang dipasangkan dengan hipotesis ID 11. Hal yang sama terjadi juga pada objek ID 5 yang sebelumnya dipasangkan dengan hipotesis ID 11 sekarang dipasangkan dengan ID 10. Yang terjadi pada objek ID 4 dan 5 merupakan *switch*. Untuk objek ID 1, 2, dan 3 termasuk *match*. Setelah dihitung sebagai *switch*, pasangan objek ID 4 dengan hipotesis ID 11 dianggap sebagai pasangan yang benar untuk *frame* selanjutnya, berlaku juga pada objek ID 5. Jadi, pada *frame* $t + 1$ terdapat 3 *match* dan 2 *switch*.

Pada Gambar 2.6c yang menampilkan *frame* $t + 2$, dapat dilihat ada pasangan yang berubah dari *frame* sebelumnya dan ada objek serta hipotesis baru yang muncul. Objek ID 1, 2, 3, dan 4 masih dipasangkan dengan hipotesis yang sama seperti pada *frame* $t + 1$ sehingga dihitung sebagai 4 *match*. Objek ID 5 dihitung sebagai *switch* karena pasangan hipotesisnya berubah. Objek ID 6 yang tidak memiliki pasangan hipotesis dihitung sebagai *missing* atau *false negative* (FN). Hipotesis ID 10 yang tidak memiliki pasangan objek *ground truth* dihitung sebagai *false positive* (FP). Jadi ada 4 *match*, 1 *switch*, 1 FN, dan 1 FP.

Precision pada MOT didefinisikan pada Persamaan 2.29. $|detections|$ merupakan banyaknya deteksi yang dihitung dari total *match* dan *switch*. *Recall* pada MOT didefinisikan pada Persamaan 2.30. $|objects|$ merupakan total banyaknya objek yang ada di *ground truth* dari semua *frame*.

$$precision = \frac{|detections|}{|FP| + |detections|} \quad (2.29)$$

$$recall = \frac{|detections|}{|objects|} \quad (2.30)$$

Selain *precision* dan *recall*, di MOT juga terdapat metrik *Mul-*

tiple Object Tracker Accuracy (MOTA) yang didefinisikan pada Persamaan 2.31.

$$MOTA = 1 - \frac{FP + FN + switch}{|objects|} \quad (2.31)$$

Metrik *Multiple Object Tracking Precision* (MOTP) mengukur performa sistem MOT dalam prediksi posisi objek. Nilai MOTP didapat dari rata-rata nilai $1 - IoU$ dari pasangan objek di *ground truth* dan hipotesis. MOTP didefinisikan pada Persamaan 2.32 dengan d_t^i merupakan nilai IoU antara objek o_i dengan hipotesisnya pada *frame* t dan c_t merupakan banyaknya *match* ditambah *switch* pada *frame* t .

$$MOTP = 1 - \frac{\sum_{i,t} d_t^i}{\sum_t c_t} \quad (2.32)$$

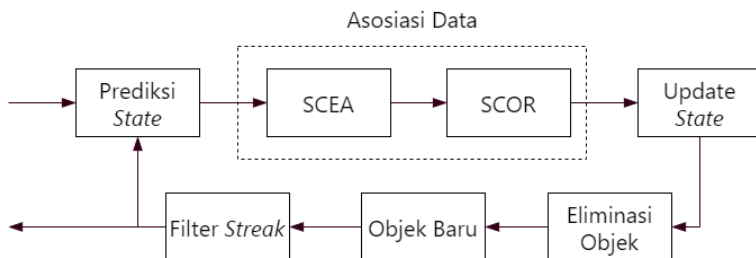
BAB III

DESAIN

Pada bab ini akan dijelaskan desain data dan sistem *object tracking* yang menggunakan algoritma asosiasi data berbasis batasan struktural. Penjelasan dibagi menjadi dua bagian, yaitu Desain Umum Sistem dan Desain Program Utama.

3.1. Desain Umum Sistem

Sistem akan menerima masukan *sequence* yang menunjukkan nama rangkaian *frame* yang akan diproses. Kemudian, data *bounding box* deteksi dan citra tiap *frame* menjadi masukan dari proses *object tracking* menggunakan *Structural Constraint Event Aggregation* dan *Structural Constraint Object Recovery* yang telah dibahas pada subbab 2.6.1 dan 2.6.2. Lalu, keluaran yang didapat berupa label ID tiap *track* yang digunakan untuk proses evaluasi. Diagram alir sistem secara umum ditunjukkan pada Gambar 3.1.



Gambar 3.1 Diagram Alir Sistem

3.2. Desain Program Utama

Pada subbab ini akan dijelaskan desain fungsi dalam program yang digunakan untuk *object tracking*.

3.2.1. Desain Fungsi Main

Fungsi akan memuat data anotasi *bounding box* dan citra yang sesuai dengan rangkaian *frame* yang diberikan ke memori. Dari iterasi tiap *frame*, dilakukan *tracking* sesuai *bounding box* di *frame* tersebut. Kemudian dicetak nilai semua objek yang sudah melalui *tracking*. Masukan, proses, dan keluaran dari fungsi ini terdapat pada Tabel 3.1. Desain fungsi ini terdapat pada Pseudocode 3.1.

Tabel 3.1 Masukan, Proses, dan Keluaran dari Fungsi MAIN

Masukan	Proses	Keluaran
<i>String sequencename</i> yang merupakan nama dari rang- kaian <i>frame</i> yang akan	Menjalankan pro- ses <i>object tracking</i> dan mencetak hasil datanya	-

Pseudocode 3.1: Fungsi MAIN

Input: *sequencename*

```

1: annotation ← LOADCSV(sequencename)
2: images ← LOADIMAGES(sequencename)
3: for each (frame_num, bboxes) ∈ annotation do
4:   detections ← ARRAY()
5:   image ← images[frame_num]
6:   for each bbox ∈ bboxes do
7:     detection ← NEWDETECTION(bbox, image)
8:     insert detection into detections
9:   end for
10:  tracked ← OBJECTTRACKER(detections, frame_num)
11:  PRINT(tracked)
12: end for

```

3.2.2. Desain Fungsi Object Tracking

Data yang menjadi masukan *object tracking* berupa *bounding box* objek yang ada dalam satu *frame* dan citra satu *frame*. Semua objek dan batasan struktural diprediksi nilainya untuk *frame* saat ini. Deteksi diproses fungsi SCEA agar didapat asosiasi dengan objek dari *frame* sebelumnya. Dari SCEA didapat kumpulan objek yang dapat diasosiasikan dengan deteksi, kumpulan objek yang belum diasosiasikan, dan kumpulan deteksi yang belum diasosiasikan. Ketiga keluaran dari SCEA digunakan sebagai masukan bagi fungsi SCOR.

Pada fungsi SCOR, objek dan deteksi yang belum diasosiasikan di SCEA akan dicoba untuk diasosiasi. Kemudian didapat hasil kumpulan objek yang dapat diasosiasikan dengan deteksi, kumpulan objek yang belum diasosiasikan, dan kumpulan deteksi yang belum diasosiasikan dengan objek.

Objek diperbarui nilainya berdasarkan hasil asosiasi. Kemudian, objek yang hilang dieliminasi. Deteksi yang belum diasosiasikan menjadi objek baru. Kemudian, objek diseleksi dari lama terlacak secara beruntun. Masukan, proses, dan keluaran dari fungsi terdapat pada Tabel 3.2. Desain fungsi terdapat pada Pseudocode 3.2.

Tabel 3.2 Masukan, Proses, dan Keluaran dari Fungsi
OBJECTTRACKER

Masukan	Proses	Keluaran
<i>Array detections</i> yang merupakan kumpulan deteksi dan bilangan bulat <i>frame_num</i> yang merupakan ID <i>frame</i>	Melakukan rang- kaian proses <i>object</i> <i>tracking</i> berda- sarkan SCEA dan SCOR	<i>Array objects</i> yang merupakan kumpulan ob- jek hasil <i>object</i> <i>tracking</i>

Pseudocode 3.2: Fungsi OBJECTTRACKER

Input: *detections*, *frame_num*

Output: *objects*

- 1: $\mathcal{S}, \mathcal{E} \leftarrow \text{PREDICTOBJECTS}(\mathcal{S}), \text{PREDICTSC}(\mathcal{E})$
 - 2: $\mathcal{S}_{w}^{SCEA}, \mathcal{D}_{w}^{SCEA}, \mathcal{D}_m^{SCEA} \leftarrow \text{SCEA}(\mathcal{S}_w, \text{detections}, \mathcal{E}_w)$
 $\mathcal{S}_w^{SCOR}, \mathcal{D}_w^{SCOR}, \mathcal{D}_m^{SCOR} \leftarrow \text{SCOR}($
 - 3: $\mathcal{S}_m, \mathcal{E}_m, \mathcal{S}_w^{SCEA}, \mathcal{D}_m^{SCEA})$
 - 4: $\mathcal{S}_w \leftarrow \text{CONCAT}(\mathcal{S}_w^{SCEA}, \mathcal{S}_w^{SCOR})$
 - 5: $\mathcal{D}_w \leftarrow \text{CONCAT}(\mathcal{D}_w^{SCEA}, \mathcal{D}_w^{SCOR})$
 - 6: $\mathcal{S}_w, \mathcal{E} \leftarrow \text{UPDATEOBJECT}(\mathcal{S}_w, \mathcal{D}_w), \text{UPDATESC}(\mathcal{S}, \mathcal{E})$
 - 7: $\mathcal{S} \leftarrow \text{ELIMINATE}(\mathcal{S}, \text{frame_num})$
 - 8: $\mathcal{S}_{new}, \mathcal{E}_{new} \leftarrow \text{NEWOBJECTS}(\mathcal{D}_m^{SCOR})$
 - 9: $objects \leftarrow \text{CONCAT}(\mathcal{S}, \mathcal{S}_{new})$
 - 10: $objects \leftarrow \text{FILTERSTREAK}(objects, \text{min_streak})$
 - 11: **return** *objects*
-

3.2.3. Desain Fungsi SCEA

Dalam fungsi SCEA dilakukan asosiasi antara objek yang telah ada sebelumnya dengan deteksi dari *frame* saat ini. Matriks asosiasi yang dibuat memiliki dimensi $M \times N$ untuk M objek dan N deteksi. Dari M objek tersebut akan dibagi menjadi partisi sesuai batas maksimal anggota per partisi yang ditentukan. Partisi dibuat menggunakan hasil *cluster* dari K-Means. Kemudian dari semua kemungkinan asosiasi yang ada di matriks asosiasi $M \times N$, diproses di fungsi GATING untuk mengeliminasi asosiasi dan memperkecil ruang pencarian.

Matriks asosiasi hasil fungsi GATING dan partisi objek dimasukkan ke dalam perhitungan asosiasi terbaik yang dihitung per partisi. Setelah didapat matriks asosiasi per partisi, dilakukan penggabungan matriks asosiasi menjadi hasil akhir dari SCEA. Masukan, proses, dan keluaran dari fungsi ini terdapat pada Tabel 3.3. Desain fungsi ini terdapat pada Pseudocode 3.3.

Tabel 3.3 Masukan, Proses, dan Keluaran dari Fungsi SCEA

Masukan	Proses	Keluaran
<i>Array \mathcal{S}_w yang merupakan kumpulan objek yang terlacak, array \mathcal{D} yang merupakan kumpulan deteksi, array 2D \mathcal{E}_w yang merupakan batasan struktural antar objek terlacak</i>	Melakukan asosiasi antara objek terlacak dengan deteksi di <i>frame</i> saat ini	<i>array \mathcal{S}_w yang merupakan kumpulan objek terlacak dan sudah diperbarui, array \mathcal{D}_w yang merupakan kumpulan deteksi yang sudah terasosiasi, array \mathcal{D}_m yang merupakan kumpulan deteksi yang belum terasosiasi</i>

Pseudocode 3.3: Fungsi SCEA

Input: $\mathcal{S}_w, \mathcal{D}, \mathcal{E}_w$ **Output:** $\mathcal{S}_w, \mathcal{D}_w, \mathcal{D}_m$

```

1: mask  $\leftarrow$  GATING( $\mathcal{S}_w$ , detections)
2: subgroups  $\leftarrow$  SUBGROUPBYCLUSTER( $\mathcal{S}_w$ )
3: matrices, costs  $\leftarrow$  ARRAY(), ARRAY()
4: for each subgroup  $\in$  subgroups do
    matrix, cost  $\leftarrow$  ASSIGNMENTSUBGROUP(
5:           mask, subgroup,  $\mathcal{S}_w$ ,  $\mathcal{D}$ ,  $\mathcal{E}_w$ )
6:     insert matrix into matrices
7:     insert cost into costs
8: end for
9: best_matrix  $\leftarrow$  AGGREGATE(matrices, costs)
10:  $\mathcal{S}_w, \mathcal{D}_w, \mathcal{D}_m \leftarrow$  best_matrix
11: return  $\mathcal{S}_w, \mathcal{D}_w, \mathcal{D}_m$ 

```

3.2.4. Desain Fungsi Gating

Gating bertujuan untuk mengeliminasi kandidat asosiasi objek dan deteksi yang tidak memenuhi batasan yang diberikan dan mengurangi besar ruang pencarian. Batasan atau syarat yang digunakan sesuai Persamaan 2.11 dengan nilai τ_s sebesar 0,7. Perhitungan dilakukan dalam matriks berdimensi $M \times N$ untuk M objek dan N deteksi untuk syarat jarak titik pusat dibanding diagonal dan nilai *cost* F_s . Hasil akhir berupa matriks *mask boolean* berdimensi $M \times N$. Masukan, proses, dan keluaran dari fungsi ini terdapat pada Tabel 3.4. Desain fungsi ini terdapat pada Pseudocode 3.4.

Tabel 3.4 Masukan, Proses, dan Keluaran dari Fungsi GATING

Masukan	Proses	Keluaran
<i>Array objects</i> yang merupakan kumpulan objek, <i>array detections</i> yang merupakan kumpulan deteksi	Membuat matriks <i>masking</i> untuk eliminasi asosiasi	<i>array 2D mask</i> yang merupakan <i>boolean mask</i> untuk matriks asosiasi

Pseudocode 3.4: Fungsi GATING

Input: *objects, detections*

Output: *mask*

- 1: *distance_matrix* \leftarrow CENTERDIST(*objects, detections*)
 - 2: *diagonal_matrix* \leftarrow DIAGONALDIST(*objects*)
 - 3: *fs_matrix* \leftarrow FS(*objects, detections*)
 - 4: *diag_mask* \leftarrow (*distance_matrix* $<$ *diagonal_matrix*)
 - 5: *fs_mask* \leftarrow EXP(*-fs_matrix*) $>$ τ_s)
 - 6: *mask* \leftarrow LOGICALAND(*diag_mask, fs_mask*)
 - 7: **return** *mask*
-

3.2.5. Desain Fungsi Partisi

Partisi dilakukan pada objek yang telah dilacak. Partisi dibuat berdasarkan *centroid* hasil *clustering* K-Means. Masukan dari K-Means adalah posisi (x, y) dari semua objek. Kemudian didapat *cluster* yang mewakili kelompok objek berdasarkan aspek spasial. Maksimal banyak anggota per *cluster* diatur sebesar 5. Berdasarkan *cluster*, objek dikelompokkan ke dalam partisi yang akan digunakan dalam proses SCEA. Masukan, proses, dan keluaran dari fungsi ini terdapat pada Tabel 3.5. Desain fungsi ini terdapat pada Pseudocode 3.5a dan 3.5b.

Tabel 3.5 Masukan, Proses, dan Keluaran dari Fungsi
SUBGROUPBYCLUSTER

Masukan	Proses	Keluaran
<i>Array objects</i> yang merupakan kumpulan objek	Membuat partisi berdasarkan hasil K-Means dari posisi objek	<i>array partitions</i> yang merupakan kumpulan indeks objek yang men- jadi anggota tiap partisi

Pseudocode 3.5a: Fungsi SUBGROUPBYCLUSTER (1)

Input: *objects*

Output: *partitions*

- 1: $\text{num_object} \leftarrow \text{LEN(objects)}$
 - 2: $\text{num_cluster} \leftarrow \text{CEIL}(\text{num_object}/5)$
 - 3: $\text{positions} \leftarrow \text{ARRAY}()$
 - 4: **for each** *object* **in** *objects* **do**
 - 5: insert *object*'s (x, y) to *positions*
 - 6: **end for**
-

Pseudocode 3.5b: Fungsi SUBGROUPBYCLUSTER (2)

```

7: cluster_labels  $\leftarrow$  KMEANS(positions)
8: partitions  $\leftarrow$  ARRAY()
9: for label  $\in$  UNIQUE(cluster_labels) do
10:   partition  $\leftarrow$  INDEX(cluster_labels = label)
11:   insert partition to partitions
12: end for
13: return partitions
  
```

3.2.6. Desain Fungsi Perhitungan Asosiasi Per Partisi

Pemilihan asosiasi terbaik dilakukan per partisi. Matriks asosiasi yang utama dieliminasi terlebih dahulu dengan hasil *mask* dari fungsi GATING. Kemudian dipilih bagian matriks asosiasi yang mengandung objek dalam partisi sehingga didapat matriks asosiasi partisi. Dari matriks asosiasi partisi dilakukan proses pembangkitan semua kombinasi asosiasi objek dan deteksi.

Perhitungan *cost* asosiasi dilakukan dengan menghitung *cost* dari penggunaan tiap objek sebagai *anchor* yang kemudian dihitung rata-ratanya. Objek dapat dijadikan sebagai anchor jika deteksi yang diasosiasikan bukan d_0 . Seperti contoh kombinasi asosiasi pada Gambar 3.2, dari empat objek yang ada, objek s_2 tidak dapat dijadikan *anchor* karena menjadi d_0 , sehingga total terdapat tiga *anchor* dalam contoh tersebut. Ketika satu objek dijadikan *anchor*, dapat dihitung *cost* dari objek *anchor* dan objek lain yang bukan *anchor*. Untuk objek non *anchor* yang diasosiasikan dengan d_0 maka nilai *cost*-nya diatur sebesar 4,0. Kemudian, *cost* dari semua *anchor* dihitung rata-ratanya dan menjadi *cost* untuk satu kombinasi asosiasi. Dari semua kombinasi dipilih yang *cost*-nya paling kecil untuk menjadi asosiasi terbaik dari partisi yang diberikan. Masukan, proses, dan keluaran dari fungsi ini terdapat pada Tabel 3.6. Desain fungsi ini terdapat pada Pseudocode 3.6a dan 3.6b.

1	0	3	4
s_1	s_2	s_3	s_4

Gambar 3.2 Ilustrasi Pemilihan Objek yang Menjadi *Anchor* dalam Kombinasi Asosiasi

Tabel 3.6 Masukan, Proses, dan Keluaran dari Fungsi
ASSIGNMENTBYSUBGROUP

Masukan	Proses	Keluaran
<i>Array partition</i> yang merupakan daftar objek dalam partisi, <i>array 2D matrix</i> yang merupakan matriks asosiasi partisi, <i>array D</i> yang merupakan kumpulan deteksi, <i>array E</i> yang merupakan kumpulan batasan struktural	Mendapatkan asosiasi untuk partisi dengan <i>cost</i> terkecil	<i>Array 2D best_matrix</i> yang merupakan matriks asosiasi objek dan deteksi terbaik untuk partisi tersebut dan bilangan real <i>best_cost</i> yang merupakan <i>cost</i> dari asosiasi di <i>best_matrix</i>

Pseudocode 3.6a: Fungsi ASSIGNMENTBYSUBGROUP (1)

Input: *partition, matrix, D, E*

Output: *best_matrix, best_cost*

1: *best_cost* $\leftarrow \infty^+$

2: *best_combination* $\leftarrow \text{ARRAY}()$

Pseudocode 3.6b: Fungsi ASSIGNMENTBYSUBGROUP (2)

```

3: for combination  $\in$  ASSIGNMENTGENERATOR(matrix) do
4:   n_anchor  $\leftarrow$  0
5:   cost  $\leftarrow$  0.0
6:   for object, detection  $\in$  combination do
7:     if detection is  $d_0$  then
8:       continue
9:     end if
10:    n_anchor  $\leftarrow$  n_anchor + 1
11:    cost  $\leftarrow$  cost + FS(object, detection) +
12:      FA(object, detection)
13:    for obj, det  $\in$  combination do
14:      if obj = object then
15:        continue
16:      end if
17:      if det is  $d_0$  then
18:        cost  $\leftarrow$  cost + cost_d0
19:      else
20:        cost  $\leftarrow$  cost + FS(obj, det) + FA(obj, det) +
21:          FC(obj, det, object, sc)
22:      end if
23:    end for
24:  end for
25:  cost  $\leftarrow$  cost/n_anchor
26:  update best_cost and best_combination
27: end for
28: best_matrix  $\leftarrow$  ASMATRIX(best_combination)
29: return best_matrix, best_cost
  
```

3.2.7. Desan Fungsi Pembangkit Kombinasi Asosiasi

Pembangkitan kombinasi asosiasi objek dan deteksi diawali dengan mendaftar semua deteksi yang menjadi kandidat asosiasi

untuk tiap objek dengan tambahan d_0 untuk kasus gagal dideteksi. Dari daftar kandidat deteksi untuk semua objek dibuat produk *cartesian* yang menghasilkan kombinasi asosiasi objek dan deteksi. Dalam hasil produk *cartesian* masih terdapat kombinasi yang berupa duplikat karena satu deteksi diisikan ke beberapa objek kecuali untuk kasus d_0 yang boleh diisikan pada beberapa objek sekaligus. Hasil akhir kombinasi digunakan untuk perhitungan *cost* asosiasi masing-masing. Contoh kombinasi yang dihasilkan terdapat pada Gambar 3.3. Setiap kotak mewakili objek, yang pada contoh tersebut terdiri dari s_1 hingga s_4 . Isi dari tiap kotak menunjukkan deteksi yang diasosiasikan, termasuk bilangan nol untuk kasus d_0 . Pada contoh baris pertama, objek s_1 diasosiasikan dengan deteksi 1 dan objek lain menjadi d_0 . Masukan, proses, dan keluaran dari fungsi terdapat pada Tabel 3.7. Desain fungsi terdapat pada Pseudocode 3.7.

1	0	0	0
0	1	0	0
• • •			
1	2	3	4
• • •			
4	3	2	1
s_1	s_2	s_3	s_4

Gambar 3.3 Ilustrasi Kombinasi Asosiasi antara Objek dan Deteksi

Tabel 3.7 Masukan, Proses, dan Keluaran dari Fungsi
ASSIGNMENTGENERATOR

Masukan	Proses	Keluaran
<i>Array 2D matrix</i> yang merupakan matriks asosiasi dari satu partisi	Membangkitkan semua kombinasi asosiasi antara objek dan deteksi	<i>Array</i> <i>combinations</i> yang merupakan kumpulan kombi- nasi asosiasi objek dan deteksi

Pseudocode 3.7: Fungsi ASSIGNMENTGENERATOR

Input: *matrix*

Output: *combinations*

- 1: *detection_candidates* \leftarrow ARRAY()
 - 2: **for each** *row* \in *matrix* **do**
 - 3: *detection_indices* \leftarrow NONZERO(*row*)
 - 4: insert *detection_indices* into *detection_candidates*
 - 5: **end for**
 - 6: *combinations* \leftarrow CARTESIAN(*detection_candidates*)
 - 7: *combinations* \leftarrow UNIQUE(*combinations*, exclude = 0)
 - 8: **return** *combinations*
-

3.2.8. Desain Fungsi Cost Fs

Fungsi ini merupakan implementasi dari Persamaan 2.14 yang menghitung *cost* komponen dimensi dari objek dan deteksi. Masukan, proses, dan keluaran dari fungsi terdapat pada Tabel 3.8. Desain fungsi terdapat pada Pseudocode 3.8.

Tabel 3.8 Masukan, Proses, dan Keluaran dari Fungsi FS

Masukan	Proses	Keluaran
<i>object</i> yang merupakan objek dan <i>detection</i> yang merupakan deteksi	Menghitung <i>cost</i> F_s sesuai persamaan	Bilangan real <i>cost</i> yang merupakan hasil perhitungan <i>cost</i> F_s

Pseudocode 3.8: Fungsi FS

Input: *object, detection***Output:** *cost*

- 1: $h_obj, w_obj \leftarrow object.height, object.width$
 - 2: $h_det, w_det \leftarrow detection.height, detection.width$
 - 3: $h \leftarrow \text{ABS}(h_obj - h_det)/(2 * (h_obj + h_det))$
 - 4: $w \leftarrow \text{ABS}(w_obj - w_det)/(2 * (w_obj + w_det))$
 - 5: $cost \leftarrow -1 * \text{LOG}(1 - h - w)$
 - 6: **return** *cost*
-

3.2.9. Desain Fungsi Cost Fa

Fungsi ini merupakan implementasi dari Persamaan 2.14 yang menghitung *cost* komponen penampilan dari histogram. Masukan, proses, dan keluaran dari fungsi terdapat pada Tabel 3.9. Desain fungsi terdapat pada Pseudocode 3.9.

Tabel 3.9 Masukan, Proses, dan Keluaran dari Fungsi FA

Masukan	Proses	Keluaran
<i>object</i> yang merupakan objek dan <i>detection</i> yang merupakan deteksi	Menghitung <i>cost</i> F_a sesuai persamaan	Bilangan real <i>cost</i> yang merupakan hasil perhitungan <i>cost</i> F_a

Pseudocode 3.9: Fungsi FA

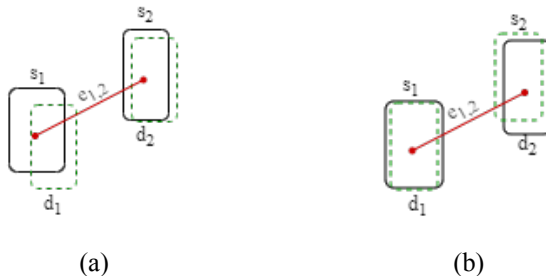
Input: *object, detection*

Output: *cost*

- 1: $hist_obj \leftarrow object.histogram$
 - 2: $hist_det \leftarrow detection.histogram$
 - 3: $mul \leftarrow DOTMUL(hist_obj, hist_det)$
 - 4: $root \leftarrow \text{SQRT}(mul)$
 - 5: $summation \leftarrow \text{SUM}(root)$
 - 6: $cost \leftarrow \text{LOG}(summation)$
 - 7: **return** *cost*
-

3.2.10. Desain Fungsi Cost Fc

Fungsi ini merupakan implementasi dari Persamaan 2.16 yang menghitung *cost* komponen spasial dengan modifikasi penghapusan *log* sehingga keluaran dalam rentang [0, 1].



Gambar 3.4 Ilustrasi Penggunaan Batasan Struktural dalam Menentukan Posisi di Perhitungan IoU: (a) Kondisi Awal dan (b) Kondisi Setelah Pergeseran Berdasarkan Batasan Struktural

Fungsi *cost* F_c merupakan fungsi yang mengintegrasikan batasan struktural dalam perhitungan *cost* asosiasi seperti pada Gambar 3.4. Pada Gambar 3.4a terdapat dua objek s_1 dan s_2 berupa

kotak bergaris hitam, dua deteksi d_1 dan d_2 berupa kotak bergaris putus-putus hijau, dan batasan struktural $e_{1,2}$ antara s_1 dan s_2 . Pada contoh tersebut, yang menjadi *anchor* adalah objek s_1 dengan d_1 , sehingga yang menjadi masukan *det_k* adalah d_1 . Posisi relatif s_2 terhadap d_1 didapat dari posisi d_1 dan batasan struktural $e_{1,2}$, kemudian bisa dihitung IoU dengan d_2 yang merupakan masukan *det_q*. Masukan, proses, dan keluaran dari fungsi terdapat pada Tabel 3.10. Desain fungsi terdapat pada Pseudocode 3.10.

Tabel 3.10 Masukan, Proses, dan Keluaran dari Fungsi FC

Masukan	Proses	Keluaran
<i>object</i> berupa objek, <i>det_q</i> berupa deteksi, <i>det_k</i> berupa deteksi yang diasosiasikan dengan objek <i>anchor</i> , <i>sc</i> berupa batasan struktural antara <i>object</i> dan objek yang menjadi <i>anchor</i>	Menghitung <i>cost</i> F_c sesuai persamaan	Bilangan real <i>cost</i> yang merupakan hasil perhitungan <i>cost</i> F_c

Pseudocode 3.10: Fungsi FC

Input: *object*, *det_k*, *det_q*, *sc*

Output: *cost*

- 1: *moved* \leftarrow [*det_k.x* + *sc.delta_x*, *det_k.y* + *sc.delta_y*, *object.width*, *object.height*]
 - 2: *iou_score* \leftarrow IOU(*moved*, *det_q*)
 - 3: *cost* \leftarrow $1 - iou_score$
 - 4: **return** *cost*
-

3.2.11. Desain Fungsi Penggabungan Matriks Asosiasi

Walaupun objek yang ada di dalam tiap partisi berbeda-beda, deteksi dapat berada di lebih dari satu partisi sesuai hasil *gating* di awal. Oleh karena itu, dilakukan pengecekan dan perbandingan *cost* antar matriks asosiasi tiap partisi, sehingga jika ditemukan deteksi yang diisikan pada lebih dari satu objek akan dipilih yang *cost* asosiasi partisinya lebih kecil. Masukan, proses, dan keluaran dari fungsi terdapat pada Tabel 3.11. Desain fungsi terdapat pada Pseudocode 3.11a dan 3.11b.

Tabel 3.11 Masukan, Proses, dan Keluaran dari Fungsi
AGGREGATE

Masukan	Proses	Keluaran
<i>Array 3D matrices</i> yang merupakan kumpulan matriks asosiasi dari semua partisi	Menggabungkan matriks asosiasi dari semua partisi dan memastikan asosiasi yang dipilih dengan <i>cost</i> terkecil	<i>Array 2D matrix</i> yang merupakan matriks asosiasi hasil penggabungan

Pseudocode 3.11a: Fungsi AGGREGATE (1)

Input: *matrices*

Output: *matrix*

- 1: *matrix* \leftarrow 2D ARRAY() set to *False*
 - 2: *cost_matrix* \leftarrow 2D ARRAY() set to ∞
 - 3: **for** *mat*, *local_cost* \in *matrices* **do**
 - 4: *mask* \leftarrow (*mat* = *True*)
 - 5: *mask_local* \leftarrow SUM(*mat*, *axis* = 0)
-

Pseudocode 3.11b: Fungsi AGGREGATE (2)

```

6:   mask_global  $\leftarrow \text{SUM}(\text{matrix}, \text{axis} = 0)
7:   intersection  $\leftarrow \text{INTERSECT}(\text{mask_local}, \text{mask_global})
8:   for each col  $\in (\text{intersection} = \text{True}) do
9:     global_cost  $\leftarrow \text{MIN}(\text{cost_matrix}[:, \text{col}])
10:    global_cost_row  $\leftarrow \text{ARGMIN}(\text{cost_matrix}[:, \text{col}])
11:    if global_cost  $<$  local_cost then
12:      mask[:, col]  $\leftarrow \text{False}
13:    else
14:      matrix[\iotaglobal_cost_row, col]  $\leftarrow \text{False}
15:    end if
16:   end for
17:   matrix[\iotamask]  $\leftarrow \text{True}
18:   cost_matrix[\iotamask]  $\leftarrow \text{local_cost}
19: end for
20: return matrix$$$$$$$$$ 
```

3.2.12. Desain Fungsi SCOR

Dalam proses SCOR dilakukan proses asosiasi antara objek yang menghilang atau gagal diasosiasikan di SCEA dan deteksi yang belum diasosiasikan. Masukan yang diperlukan oleh SCOR ada tiga, yaitu objek yang menghilang, deteksi yang belum diasosiasikan, dan objek yang sudah diperbarui di SCEA. Proses SCOR dibagi menjadi tiga tahap. Pertama, penentuan objek dari kumpulan objek yang sudah diperbarui di SCEA yang digunakan sebagai pasangan batasan struktural bagi tiap objek yang menghilang berdasarkan kemiripan pergerakan objek. Kemudian dihitung matriks *cost* untuk asosiasi objek dan deteksi. Terakhir, dilakukan penyelesaian *linear sum assignment* pada matriks *cost* untuk mendapatkan pasangan objek dan deteksi yang diasosiasikan. Masukan, proses, dan keluaran dari fungsi terdapat pada Tabel 3.12. Desain fungsi terdapat pada Pseudocode 3.12.

Tabel 3.12 Masukan, Proses, dan Keluaran dari Fungsi SCOR

Masukan	Proses	Keluaran
<i>Array \mathcal{S}_m yang merupakan objek yang hilang, array $\hat{\mathcal{D}}$ yang merupakan deteksi belum diasosiasikan, array \mathcal{S}_w yang merupakan objek yang sudah dilacak dan diperbarui di SCEA</i>	Melakukan asosiasi antara objek \mathcal{S}_m dengan deteksi $\hat{\mathcal{D}}$ di <i>frame</i> saat ini	<i>array \mathcal{S}_w yang merupakan kumpulan objek terlacak dan sudah diperbarui, array \mathcal{D}_w yang merupakan kumpulan deteksi yang sudah terasosiasi, array \mathcal{D}_m yang merupakan kumpulan deteksi yang belum terasosiasi</i>

Pseudocode 3.12: Fungsi SCOR

Input: $\mathcal{S}_m, \hat{\mathcal{D}}, \mathcal{S}_w$ **Output:** $\mathcal{S}_w, \mathcal{D}_w, \mathcal{D}_m$

- 1: $\mathcal{S}_\gamma \leftarrow \text{GETGAMMAOBJECTS}(\mathcal{S}_m, \mathcal{S}_w)$
 - 2: $\text{cost_matrix} \leftarrow \text{CALCASSIGNMENTCOST}(\mathcal{S}_m, \hat{\mathcal{D}}, \mathcal{S}_\gamma)$
 - 3: $\text{best_matrix} \leftarrow \text{ASSIGNMENT}(\text{cost_matrix})$
 - 4: $\mathcal{S}_w, \mathcal{D}_w, \mathcal{D}_m \leftarrow \text{best_matrix}$
 - 5: **return** $\mathcal{S}_w, \mathcal{D}_w, \mathcal{D}_m$
-

3.2.13. Desain Fungsi Penentuan Objek Gamma

Objek *gamma* digunakan sebagai pasangan batasan struktural bagi objek yang menghilang dan dipilih dari S_w berdasarkan kemiripan pergerakan seperti pada Persamaan 2.21. Masukan, proses, dan keluaran dari fungsi terdapat pada Tabel 3.13. Desain fungsi terdapat pada Pseudocode 3.13a dan 3.13b.

Tabel 3.13 Masukan, Proses, dan Keluaran dari Fungsi
GETGAMMAOBJECTS

Masukan	Proses	Keluaran
<p><i>Array missing_objects yang merupakan kumpulan objek menghilang, array updated_objects yang merupakan kumpulan objek diperbarui di SCEA</i></p>	<p>Mendapatkan pasangan objek <i>gamma</i> untuk setiap objek yang menghilang</p>	<p><i>array gamma_objects yang merupakan pasangan objek <i>gamma</i> dari missing_objects</i></p>

Pseudocode 3.13a: Fungsi GETGAMMAOBJECTS (1)

Input: *missing_objects, updated_objects*

Output: *gamma_objects*

```

1: gamma_objects ← ARRAY()
2: for each missing ∈ missing_objects do
3:   min_resultant ← ∞
4:   min_object ← None
5:   for each updated ∈ updated_objects do
6:     delta_vx ← missing.vx – updated.vx
7:     delta_vy ← missing.vy – updated.vy
8:     resultant ← delta_vx2 + delta_vy2
9:     if resultant < min_resultant then
10:      min_resultant ← resultant
11:      min_object ← updated
12:    end if
13:  end for
14:  insert min_object to gamma_objects

```

Pseudocode 3.13b: Fungsi GETGAMMAOBJECTS (2)

```

15: end for
16: return gamma_objects

```

3.2.14. Desain Fungsi Perhitungan Matriks Cost

Perhitungan sesuai dengan Persamaan 2.21 dan 2.20. Matriks *cost* yang dihasilkan berukuran $M \times N$ untuk M objek dan N deteksi . Masukan, proses, dan keluaran dari fungsi terdapat pada Tabel 3.14. Desain fungsi terdapat pada Pseudocode 3.14a dan 3.14b.

Tabel 3.14 Masukan, Proses, dan Keluaran dari Fungsi
CALCASSIGNMENTCOST

Masukan	Proses	Keluaran
<i>Array \mathcal{S}_m yang merupakan kumpulan objek menghilang, array \mathcal{S}_γ yang merupakan kumpulan objek gamma, array <i>detections</i> yang merupakan kumpulan deteksi</i>	Menghitung matriks <i>cost</i> asosiasi objek dan deteksi	<i>Array 2D cost_matrix yang merupakan matriks <i>cost</i> asosiasi</i>

Pseudocode 3.14a: Fungsi CALCASSIGNMENTCOST (1)

Input: \mathcal{S}_m , \mathcal{S}_γ , *detections*

Output: *cost_matrix*

```

1: cost_matrix  $\leftarrow$  ARRAY()
2: for each  $(s_m, s_\gamma) \in (\mathcal{S}_m, \mathcal{S}_\gamma)$  do
3:   cost_row  $\leftarrow$  ARRAY()

```

Pseudocode 3.14b: Fungsi CALCASSIGNMENTCOST (2)

```

4:   for each  $det \in detections$  do
5:      $cost \leftarrow FA(s_m, det) + Fs(s_m, det) + FR(s_m, det, s_\gamma)$ 
6:     insert  $cost$  to  $cost\_row$ 
7:   end for
8:   insert  $cost\_row$  to  $cost\_matrix$ 
9: end for
10: return  $cost\_matrix$ 
  
```

3.2.15. Desain Fungsi Cost Fr

Fungsi ini merupakan implementasi dari Persamaan 2.21 yang menghitung $cost$ komponen spasial dengan modifikasi penghapusan \log sehingga keluaran dalam rentang [0, 1]. Fungsi $cost$ F_r mirip dengan F_c dan mengintegrasikan batasan struktural juga. Yang membedakan adalah posisi relatif dihitung menggunakan batasan struktural dengan s_γ . Masukan, proses, dan keluaran dari fungsi terdapat pada Tabel 3.15. Desain fungsi terdapat pada Pseudocode 3.15.

Tabel 3.15 Masukan, Proses, dan Keluaran dari Fungsi FR

Masukan	Proses	Keluaran
$object$ yang merupakan objek, $detection$ yang merupakan deteksi, s_γ yang merupakan pasangan objek $gamma$ dari $object$	Menghitung $cost$ F_r sesuai persamaan	Bilangan real $cost$ yang merupakan hasil perhitungan $cost F_r$

Pseudocode 3.15: Fungsi FR

Input: *object, detection, s_γ*

Output: *cost*

- 1: *sc* \leftarrow STRUCTURALCONSTRAINT(*object, matched_gamma*)
 - 2: *moved* \leftarrow [*s_γ.x* + *sc.delta_x*, *s_γ.y* + *sc.delta_y*, *object.width*, *object.height*]
 - 3: *iou_score* \leftarrow IOU(*moved, detection*)
 - 4: *cost* \leftarrow -LOG(*iou_score*)
 - 5: **return** *cost*
-

3.2.16. Desain Fungsi Penentuan Asosiasi

Dari matriks *cost*, ditambahkan matriks untuk *cost* kasus *d*₀. Matriks tambahan ini merupakan matriks berukuran *NxN* dengan diagonal bernilai *cost* khusus *d*₀ dan elemen lain bernilai tak hingga. Kemudian, matriks hasil penggabungan dimasukkan ke dalam algoritma *linear assignment* untuk mendapatkan pasangan objek dan deteksi yang sesuai. Masukan, proses, dan keluaran dari fungsi terdapat pada Tabel 3.16. Desain fungsi terdapat pada Pseudocode 3.16.

Tabel 3.16 Masukan, Proses, dan Keluaran dari Fungsi
ASSIGNMENT

Masukan	Proses	Keluaran
<i>Array 2D cost_matrix yang merupakan matriks cost asosiasi</i>	Menentukan asosiasi berdasarkan <i>cost</i> dengan <i>linear assignment</i>	<i>array 2D matrix yang merupakan matriks asosiasi boolean</i>

Pseudocode 3.16: Fungsi ASSIGNMENT

Input: *cost_matrix*

Output: *matrix*

- 1: $N, M \leftarrow \text{cost_matrix.shape}()$
 - 2: $d0_matrix \leftarrow \text{IDENTITY}(N)$
 - 3: $d0_matrix[d0_matrix = 0] \leftarrow \infty$
 - 4: $d0_matrix[d0_matrix = 1] \leftarrow \text{cost_d0}$
 - 5: $\text{combined_cost} \leftarrow \text{HSTACK}(\text{cost_matrix}, d0_matrix)$
 - 6: $\text{pair} \leftarrow \text{LINEARASSIGNMENT}(\text{combined_cost})$
 - 7: $\text{matrix} \leftarrow \text{ARRAY}()$ set to *False*
 - 8: $\text{matrix}[pair] \leftarrow \text{True}$
 - 9: **return** $\text{matrix}[:, :M]$
-

3.2.17. Desain Fungsi Pembaruan Nilai Objek

Semua objek yang berhasil diasosiasikan akan diperbarui nilainya berdasarkan deteksi yang diasosiasikan. Pembaruan nilai dilakukan melalui *Kalman filter*. Nilai pengukuran z yang menjadi masukan untuk *Kalman filter* adalah $[x, y, w, h]^T$ dengan (x, y) merupakan komponen posisi dan (w, h) merupakan komponen ukuran dari deteksi. Nilai internal \hat{x} yang disimpan pada *Kalman filter* adalah $[x, y, \dot{x}, \dot{y}, w, h]^T$ dengan (\dot{x}, \dot{y}) merupakan komponen kecepatan.

Matriks F dan R yang digunakan dalam *Kalman filter* sesuai dengan yang terdapat pada Persamaan 2.24. Untuk matriks H dilakukan perubahan karena ditemukan ketidakcocokan pada proses perhitungan \hat{x} yang terdapat operasi $z - H\hat{x}^-$. Matriks H berfungsi memetakan nilai \hat{x}^- ke z yang mana keduanya memiliki perbedaan pada keberadaan komponen (\dot{x}, \dot{y}) . Sehingga, matriks H yang digunakan seperti pada Persamaan 3.1.

$$H = \begin{bmatrix} 1 & 0 & 0 & 0 & 0 & 0 \\ 0 & 1 & 0 & 0 & 0 & 0 \\ 0 & 0 & 0 & 0 & 1 & 0 \\ 0 & 0 & 0 & 0 & 0 & 1 \end{bmatrix} \quad (3.1)$$

Matriks Q yang digunakan pada *Kalman filter* juga mengalami modifikasi berdasarkan pemodelan pergerakan [14] yang ada pada Persamaan 3.2 dan hubungan kovarians antar komponen yang ada pada Persamaan 3.3. \ddot{x} dan \ddot{y} merupakan percepatan di sumbu x dan y . Pada Persamaan 3.3, posisi dan kecepatan saling berkaitan pada sumbu yang sama, sedangkan ukuran w dan h tidak saling berkaitan.

$$\begin{bmatrix} x_t \\ y_t \\ \dot{x}_t \\ \dot{y}_t \end{bmatrix} = \begin{bmatrix} x_{t-1} + \dot{x}_{t-1}\Delta t + 1/2\ddot{x}_{t-1}\Delta t \\ y_{t-1} + \dot{y}_{t-1}\Delta t + 1/2\ddot{y}_{t-1}\Delta t \\ \dot{x}_{t-1} + \ddot{x}_{t-1}\Delta t \\ \dot{y}_{t-1} + \ddot{y}_{t-1}\Delta t \end{bmatrix} \quad (3.2)$$

$$Q = \begin{bmatrix} x & y & \dot{x} & \dot{y} & w & h \\ x & \sigma_x^2 & 0 & \sigma_x \sigma_{\dot{x}} & 0 & 0 \\ y & 0 & \sigma_y^2 & 0 & \sigma_y \sigma_{\dot{y}} & 0 \\ \dot{x} & \sigma_{\dot{x}} \sigma_x & 0 & \sigma_{\dot{x}}^2 & 0 & 0 \\ \dot{y} & 0 & \sigma_{\dot{y}} \sigma_y & 0 & \sigma_{\dot{y}}^2 & 0 \\ w & 0 & 0 & 0 & \sigma_w & 0 \\ h & 0 & 0 & 0 & 0 & \sigma_h \end{bmatrix} \quad (3.3)$$

Berdasarkan pemodelan pada Persamaan 3.2, kovarians untuk posisi (σ_x , σ_y) dan kecepatan ($\sigma_{\dot{x}}$, $\sigma_{\dot{y}}$) dapat dinyatakan dalam kovarians kecepatan σ_a atau ditulis sebagai σ_q pada Persamaan 2.24 menjadi seperti Persamaan 3.4 dan 3.5.

$$\sigma_x = \sigma_q \frac{\Delta t^2}{2}, \quad \sigma_y = \sigma_q \frac{\Delta t^2}{2} \quad (3.4)$$

$$\sigma_x = \sigma_q \Delta t, \quad \sigma_y = \sigma_q \Delta t \quad (3.5)$$

Sehingga, dengan mensubstitusi nilai Δt sebesar 1,0 dan menyamakan $\sigma_w = \sigma_h = \sigma_s$ seperti Persamaan 2.24, maka didapat matriks Q seperti Persamaan 3.6. Nilai σ_q dan σ_s sama seperti yang dijelaskan pada Subbab 2.6.3.1.

$$Q = \begin{bmatrix} 0.25\sigma_q^2 & 0 & 0.5\sigma_q^2 & 0 & 0 & 0 \\ 0 & 0.25\sigma_q^2 & 0 & 0.5\sigma_q^2 & 0 & 0 \\ 0.5\sigma_q^2 & 0 & \sigma_q^2 & 0 & 0 & 0 \\ 0 & 0.5\sigma_q^2 & 0 & \sigma_q^2 & 0 & 0 \\ 0 & 0 & 0 & 0 & \sigma_s^2 & 0 \\ 0 & 0 & 0 & 0 & 0 & \sigma_s^2 \end{bmatrix} \quad (3.6)$$

Pembaruan juga dilakukan untuk histogram tiap objek sesuai dengan Persamaan 2.25. Masukan, proses, dan keluaran dari fungsi terdapat pada Tabel 3.17. Desain fungsi terdapat pada Pseudocode 3.17.

Tabel 3.17 Masukan, Proses, dan Keluaran dari Fungsi
UPDATEOBJECT

Masukan	Proses	Keluaran
$Array \mathcal{S}_w$ yang merupakan kumpulan objek, array \mathcal{D} yang merupakan kumpulan deteksi	Memperbarui nilai <i>state</i> objek	$Array \mathcal{S}_w$ yang sudah diperbarui nilainya

Pseudocode 3.17: Fungsi UPDATEOBJECT

Input: $\mathcal{S}_w, \mathcal{D}$

Output: \mathcal{S}_w

- 1: **for each** $(s, d) \in (\mathcal{S}_w, \mathcal{D})$ **do**
 - 2: $s \leftarrow \text{KALMANFILTEROBJECTUPDATE}(d)$
 - 3: $s.histogram \leftarrow \text{UPDATEHIST}(d.histogram)$
 - 4: **end for**
 - 5: **return** \mathcal{S}_w
-

3.2.18. Desain Fungsi Pembaruan Nilai Batasan Struktural

Pembaruan batasan struktural dari pasangan objek di \mathcal{S}_w dilakukan melalui *Kalman filter*. Nilai pengukuran z yang menjadi masukan untuk *Kalman filter* adalah $[\chi, \xi]^T$ dengan χ dan ξ merupakan komponen perbedaan posisi. Nilai internal \hat{x} yang disimpan pada *Kalman filter* adalah $[\chi, \xi, \dot{\chi}, \dot{\xi}]^T$ dengan $\dot{\chi}$ dan $\dot{\xi}$ merupakan komponen perbedaan kecepatan.

Matriks F_{sc} , H_{sc} , dan R_{sc} yang digunakan dalam *Kalman filter* sesuai dengan Persamaan 2.27. Untuk matriks Q dilakukan perubahan juga sesuai dengan dasar yang dijelaskan pada Subbab 3.2.17 sehingga menjadi seperti Persamaan 3.7 dengan nilai σ_{sc} diatur sebesar 1,0.

$$Q = \begin{bmatrix} 0.25\sigma_{sc}^2 & 0 & 0.5\sigma_{sc}^2 & 0 \\ 0 & 0.25\sigma_{sc}^2 & 0 & 0.5\sigma_{sc}^2 \\ 0.5\sigma_{sc}^2 & 0 & \sigma_{sc}^2 & 0 \\ 0 & 0.5\sigma_{sc}^2 & 0 & \sigma_{sc}^2 \end{bmatrix} \quad (3.7)$$

Masukan, proses, dan keluaran dari fungsi terdapat pada Tabel 3.18. Desain fungsi terdapat pada Pseudocode 3.18.

Tabel 3.18 Masukan, Proses, dan Keluaran dari Fungsi UPDATESC

Masukan	Proses	Keluaran
$\text{Array } \mathcal{S}_w \text{ yang merupakan kumpulan objek terlacak, array } \mathcal{D} \text{ yang merupakan kumpulan deteksi sesuai } \mathcal{S}_w, \text{ array } 2D \mathcal{E} \text{ yang merupakan kumpulan batasan struktural}$	Memperbarui nilai <i>state</i> batasan struktural	$\text{Array } 2D \mathcal{E} \text{ yang sudah diperbarui nilainya}$

Pseudocode 3.18: Fungsi UPDATESC

Input: $\mathcal{S}_w, \mathcal{D}, \mathcal{E}$ **Output:** \mathcal{E}

```

1: for  $i \leftarrow 0$  to  $\text{LEN}(\mathcal{E}) - 1$  do
2:   for  $j \leftarrow 0$  to  $\text{LEN}(\mathcal{E}) - 1$  do
3:     if  $s_i \in \mathcal{S}_w$  and  $s_j \in \mathcal{S}_w$  then
4:        $sc \leftarrow \text{STRUCTURALCONSTRAINT}(d_i, d_j)$ 
5:        $\mathcal{E}[i][j] \leftarrow \text{KALMANFILTERSCUPDATE}(sc)$ 
6:     end if
7:   end for
8: end for
9: return  $\mathcal{E}$ 

```

3.2.19. Desain Fungsi Prediksi Nilai Objek

Semua objek baik terlacak ataupun hilang, akan diprediksi nilainya menggunakan *Kalman filter* dengan matriks seperti pada Subbab 3.2.17 untuk mendapatkan prediksi nilai objek di *frame* saat

ini berdasarkan nilai yang terakhir masuk di UPDATEOBJECT. Masukan, proses, dan keluaran dari fungsi terdapat pada Tabel 3.19. Desain fungsi terdapat pada Pseudocode 3.19.

Tabel 3.19 Masukan, Proses, dan Keluaran dari Fungsi
PREDICTOBJECT

Masukan	Proses	Keluaran
$\text{Array } \mathcal{S} \text{ yang merupakan kumpulan semua objek}$	Memprediksi nilai $state$ objek	$\text{Array } \mathcal{S} \text{ yang sudah diprediksi nilainya}$

Pseudocode 3.19: Fungsi PREDICTOBJECT

Input: \mathcal{S}

Output: \mathcal{S}

```

1: for each  $s \in \mathcal{S}$  do
2:    $s \leftarrow \text{KALMANFILTEROBJECTPREDICT}()$ 
3: end for
4: return  $\mathcal{S}$ 

```

3.2.20. Desain Fungsi Prediksi Batasan Struktural

Semua batasan struktural akan diprediksi nilainya untuk mendapatkan prediksi nilai batasan struktural di *frame* saat ini berdasarkan nilai yang terakhir masuk di UPDATEOBJECT. Batasan struktural yang pasangan objeknya terlacak akan diprediksi menggunakan *Kalman filter* dengan matriks seperti pada Subbab 3.2.18, sedangkan untuk yang salah satu atau kedua objeknya menghilang diprediksi dengan matriks F_{sc} saja. Masukan, proses, dan keluaran dari fungsi terdapat pada Tabel 3.20. Desain fungsi terdapat pada Pseudocode 3.20.

Tabel 3.20 Masukan, Proses, dan Keluaran dari Fungsi PREDICTSC

Masukan	Proses	Keluaran
$\text{Array } 2D \mathcal{E} \text{ yang merupakan kumpulan semua batasan struktural}$	Memprediksi nilai <i>state</i> batasan struktural	$\text{Array } \mathcal{E} \text{ yang sudah diprediksi nilainya}$

Pseudocode 3.20: Fungsi PREDICTSC

Input: \mathcal{E}

Output: \mathcal{E}

```

1: for  $i \leftarrow 0$  to  $\text{LEN}(\mathcal{E}) - 1$  do
2:   for  $j \leftarrow 0$  to  $\text{LEN}(\mathcal{E}) - 1$  do
3:     if  $s_i \in \mathcal{S}_w$  and  $s_j \in \mathcal{S}_w$  then
4:        $\mathcal{E}[i][j] \leftarrow \text{KALMANFILTERSCPREDICT}()$ 
5:     else
6:        $\mathcal{E}[i][j] \leftarrow \text{MATMUL}(F_{sc}, \mathcal{E}[i][j])$ 
7:     end if
8:   end for
9: end for
10: return  $\mathcal{E}$ 

```

3.2.21. Desain Fungsi Eliminasi Objek

Dilakukan eliminasi untuk objek yang sudah hilang dalam periode yang melebihi batas maksimal yang ditentukan. Objek-objek yang berhasil dilacak ditandai telah diperbarui pada *frame* saat ini. Kemudian, dihitung selisih jeda pembaruan nilai untuk semua objek. Objek-objek yang jedanya melebihi batas akan dihapus dari daftar objek. Masukan, proses, dan keluaran dari fungsi terdapat pada Tabel 3.21. Desain fungsi terdapat pada Pseudocode 3.21.

Tabel 3.21 Masukan, Proses, dan Keluaran dari Fungsi ELIMINATE

Masukan	Proses	Keluaran
<p><i>Array \mathcal{S} yaitu kumpulan objek, array \mathcal{I}_w yang menyatakan indeks objek terlacak, bilangan bulat num_frame yang menyatakan <i>frame</i> sekarang, bilangan bulat max_age yang menyatakan batas lama objek menghilang</i></p>	Menghapus objek yang menghilang melebihi max_age	<i>Array $\mathcal{S}_{selected}$ yaitu kumpulan objek terpilih</i>

Pseudocode 3.21: Fungsi ELIMINATE

Input: $\mathcal{S}, \mathcal{I}_w, num_frame, max_age$ **Output:** $\mathcal{S}_{selected}$

```

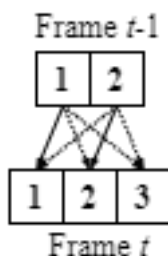
1: for each object  $\in \mathcal{S}[\mathcal{I}_w]$  do
2:     set last_update to num_frame
3: end for
4:  $\mathcal{S}_{selected} \leftarrow \text{ARRAY}$ )
5: for each object  $\in \mathcal{S}$  do
6:      $diff \leftarrow last\_update - num\_frame$ 
7:     if diff < max_age then
8:         insert object to  $\mathcal{S}_{selected}$ 
9:     end if
10: end for
11: return  $\mathcal{S}_{selected}$ 

```

3.2.22. Desain Fungsi Pembuatan Objek Baru

Deteksi yang belum diasosiasikan akan dibuat menjadi objek baru. Ada dua metode inisialisasi objek baru. Pada metode I semua deteksi yang belum diasosiasikan dengan objek di *frame* sekarang dibuat menjadi objek baru.

Pada metode II deteksi yang belum diasosiasikan tersebut disimpan dalam suatu *sliding window* dengan besar *window* 2 seperti pada Gambar 3.5. Pada contoh, di *frame* $t - 1$ terdapat 2 deteksi dan pada *frame* t ada 3 deteksi. Kemudian dihitung nilai IoU untuk tiap pasangan deteksi antara *frame* $t - 1$ dan t dan disimpan dalam matriks 2D. Dari matriks nilai IoU, dilakukan proses *linear assignment* untuk mendapatkan pasangan deteksi yang beririsan paling besar. Dari pasangan deteksi yang didapat akan dilakukan seleksi lagi. Deteksi akan dijadikan objek baru jika dalam *window* ada deteksi sebelumnya yang memiliki nilai IoU dalam ambang batas dengan deteksi sekarang. Ambang batas yang digunakan sebesar 0,5. Masukan, proses, dan keluaran dari fungsi terdapat pada Tabel 3.22. Desain fungsi pembuatan objek baru metode I terdapat pada Pseudocode 3.22. Desain fungsi pembuatan objek baru metode II terdapat pada Pseudocode 3.23a dan 3.23b.



Gambar 3.5 *Sliding Window* antara *Frame* $t-1$ dan t

Tabel 3.22 Masukan, Proses, dan Keluaran dari Fungsi
NEWOBJECTS

Masukan	Proses	Keluaran
<i>Array detections</i> yaitu kumpulan deteksi	Membuat objek baru dari deteksi yang belum diasosiasikan	<i>array objects</i> yaitu kumpulan objek, <i>array sc</i> yaitu kumpulan batasan struktural, <i>array object_tracker</i> yaitu kumpulan <i>tracker</i> objek, dan <i>array sc_tracker</i> yaitu kumpulan <i>tracker</i> batasan struktural

Pseudocode 3.22: Fungsi NEWOBJECTS Metode I

Input: *detections*

Output: *objects, sc, object_tracker, sc_tracker*

- 1: *objects* \leftarrow new object from *detections*
 - 2: *sc* \leftarrow new SC from *objects*
 - 3: *object_tracker* \leftarrow new tracker from *objects*
 - 4: *sc_tracker* \leftarrow new tracker from *sc*
 - 5: **return** *objects, sc, object_tracker, sc_tracker*
-

Pseudocode 3.23a: Fungsi NEWOBJECTS Metode II (1)

Input: *detections*

Output: *objects, sc, object_tracker, sc_tracker*

- 1: *iou_scores* \leftarrow IOU(*detections, window*)
 - 2: *matched* \leftarrow LINEARASSIGNMENT(*iou_scores*)
-

Pseudocode 3.23b: Fungsi NEWOBJECTS Metode II (2)

```

3: matched  $\leftarrow$  THRESHOLD(matched, 0.5)
4: objects  $\leftarrow$  new object from matched
5: sc  $\leftarrow$  new SC from objects
6: object_tracker  $\leftarrow$  new tracker from objects
7: sc_tracker  $\leftarrow$  new tracker from sc
8: return objects, sc, object_tracker, sc_tracker
  
```

3.2.23. Desain Fungsi Seleksi Pelacakan Beruntun

Fungsi ini berguna untuk mengurangi tingkat *false negative* karena adanya deteksi yang salah pada *frame*. Fungsi ini digunakan dalam seleksi objek terlacak yang akan digunakan sebagai keluaran akhir proses *object tracking* pada *frame* saat ini. Pada Gambar 3.6 terdapat contoh seleksi objek dengan batas minimal terlacak dua kali beruntun. Pada *frame* $t - 1$, ada objek baru yang terlacak yaitu objek dengan ID 3, tetapi objek tersebut tidak termasuk dalam ID terpilih karena baru terlacak satu kali. Kemudian pada *frame* t , objek ID 3 terlacak lagi sehingga masuk ke ID terpilih karena sudah terlacak dua kali secara beruntun. Masukan, proses, dan keluaran dari fungsi terdapat pada Tabel 3.23. Desain fungsi terdapat pada Pseudocode 3.24.

Frame	ID Terlacak	ID Terpilih						
$t - 1$	<table border="1"><tr><td>1</td><td>2</td><td>3</td></tr></table>	1	2	3	<table border="1"><tr><td>1</td><td>2</td></tr></table>	1	2	
1	2	3						
1	2							
t	<table border="1"><tr><td>1</td><td>2</td><td>3</td></tr></table>	1	2	3	<table border="1"><tr><td>1</td><td>2</td><td>3</td></tr></table>	1	2	3
1	2	3						
1	2	3						

Gambar 3.6 Ilustrasi Seleksi berdasarkan Pelacakan Beruntun dengan Batas Minimal Sebesar Dua

Tabel 3.23 Masukan, Proses, dan Keluaran dari Fungsi FILTERSTREAK

Masukan	Proses	Keluaran
<i>Array \mathcal{S} yaitu kumpulan objek, array \mathcal{I}_w yang menyatakan indeks objek terlacak, bilangan bulat min_streak</i>	Memilih objek sesuai syarat min_streak	<i>Array $\mathcal{S}_{selected}$ yaitu kumpulan objek terpilih</i>

Pseudocode 3.24: Fungsi FILTERSTREAK

Input: $\mathcal{S}, \mathcal{I}_w, min_streak$

Output: $\mathcal{S}_{selected}$

```

1:  $\mathcal{S}_{selected} \leftarrow \text{ARRAY}()$ 
2: for  $i \leftarrow 0$  to  $\text{LEN}(\mathcal{S}) - 1$  do
3:   if  $i \in \mathcal{I}_w$  then
4:     increment  $\mathcal{S}[i].hit\_streak$ 
5:     if  $hit\_streak \geq min\_streak$  or  $frame \leq min\_streak$  then
6:       insert  $\mathcal{S}[i]$  into  $\mathcal{S}_{selected}$ 
7:     end if
8:   else
9:     set  $\mathcal{S}[i].hit\_streak$  to 0
10:  end if
11: end for
12: return  $\mathcal{S}_{selected}$ 

```

BAB IV

IMPLEMENTASI

4.1. Lingkungan Implementasi

Lingkungan implementasi dan pengembangan yang dilakukan adalah sebagai berikut.

1. Perangkat Keras
 - (a) Prosesor Intel® Core™ i5-6200U CPU @ 2,3GHz (2 CPUs, 4 Threads)
 - (b) *Random Access Memory* 8192MB
2. Perangkat Lunak
 - (a) Sistem Operasi Windows 10 Home 64-bit
 - (b) *Text Editor* Visual Studio Code
 - (c) Bahasa Pemrograman Python 3.6.4 64-bit
 - (d) Microsoft Visual C++ 2015 (14.0)

4.2. Implementasi Program Utama

Subbab ini menjelaskan implementasi program utama. Program ini digunakan untuk mengolah masukan data deteksi dan menjalankan *object tracking*. Fungsi yang didesain di Bab 3 diimplementasikan dalam beberapa modul dan *class*. Modul yaitu COST, PARTITION, SCEA, dan SCOR. *Class* utama yaitu OBJECTSTATETRACKER, STRUCTURALCONSTRAINTTRACKER, dan TRACKER. *Class* pembantu yaitu OBJECTSTATE, DETECTIONSTATE, dan STRUCTURALCONSTRAINT. Ada fungsi MAIN yang menjadi awal program utama.

4.2.1. Penggunaan Pustaka

Seluruh kode sumber yang dituliskan di bab ini membutuhkan pustaka yang ditunjukkan pada Kode Sumber 4.1 Penjelasan dan fungsi pustaka yang digunakan terdapat pada Tabel 4.1.

```
1 # external lib
2 import copy
3 import math
4 from typing import (
5     List, NamedTuple, Optional, Set, Tuple, Union
6 )
7 import numpy as np
8 from dataclasses import asdict, dataclass
9 from filterpy.kalman import KalmanFilter
10 from k_means_constrained import KMeansConstrained
11 from scipy.linalg import block_diag
12 from scipy.optimize import linear_sum_assignment
13
14 # project modules and classes
15 from sc_tracker import sceas
16 from sc_tracker import scor
17 from sc_tracker.cost import (
18     calculate_fs, calculate_structural_constraint,
19     f_a, f_c, f_s, iou,
20 )
21 from sc_tracker.partition import (
22     gating, possible_assignment_generator,
23     subgroup_by_cluster_constrained,
24 )
25 from sc_tracker.state import (
26     DetectionState, ObjectState,
27     StructuralConstraint,
28 )
29 from sc_tracker.tracker.object_state import
30     ObjectStateTracker
31 from sc_tracker.tracker.structural_constraint
32     import (
33     StructuralConstraintTracker,
```

Tabel 4.1 Nama dan Penjelasan Pustaka

Nama Pustaka	Penjelasan
copy	membantu proses kloning objek
math	perhitungan matematika
typing	memberikan anotasi tipe data
numpy	komputasi ilmiah yang berhubungan dengan <i>array</i> dan <i>matrix</i>
dataclasses	membuat <i>boilerplate</i> kode <i>class</i>
filterpy	proses <i>Kalman filter</i>
k_means_constrained	melakukan proses K-Means dengan batasan
scipy	komputasi ilmiah dan menyelesaikan <i>linear assignment</i>

4.2.2. Implementasi Class DetectionState

Class ini merupakan *class* pembantu yang menyimpan informasi *bounding box* dan histogram dari data hasil *object detection*. Pada *class* ini terdapat beberapa variabel *instance* yang dijelaskan pada Tabel 4.2. Implementasi terdapat pada Kode Sumber 4.2.

Tabel 4.2 Nama dan Penjelasan Variabel Instance dari Class DETECTIONSTATE

Nama Variabel	Penjelasan
x	posisi titik tengah <i>bounding box</i> sumbu-x
y	posisi titik tengah <i>bounding box</i> sumbu-y
width	lebar deteksi
height	tinggi deteksi
frame_step	menyimpan ID <i>frame</i>
histogram	histogram dari citra deteksi

```

1 @dataclass
2 class DetectionState:
3     x: float
4     y: float
5     width: float
6     height: float
7     frame_step: int
8     histogram: np.ndarray
9
10    @staticmethod
11    def from_bbox(
12        left: int,
13        top: int,
14        width: int,
15        height: int,
16        frame_step: int,
17        full_image: np.ndarray,
18        n_bins: int = 8,
19    ) -> "DetectionState":
20        ...

```

Kode Sumber 4.2 Class DETECTIONSTATE

4.2.2.1. Implementasi Fungsi Instansiasi dari Bounding Box

Fungsi ini berguna untuk melakukan instansiasi DETECTIONSTATE dari data *bounding box* dan citra satu *frame*. Implementasi terdapat pada Kode Sumber 4.1a dan 4.1b

```

1 @staticmethod
2 def from_bbox(
3     left: int,
4     top: int,
5     width: int,
6     height: int,
7     frame_step: int,

```

Kode Sumber 4.1a Fungsi Instansiasi dari Bounding Box (1)

```

8      full_image: np.ndarray,
9      n_bins: int = 8,
10 ) -> "DetectionState":
11     left = int(max(left, 0))
12     top = int(max(top, 0))
13     x = left + width / 2
14     y = top + height / 2
15     histogram = None
16     if full_image is not None:
17         image = full_image[
18             top : top + int(height),
19             left : left + int(width),
20         ]
21         graysacle = image.mean(axis=2)
22         bins = np.arange(n_bins + 1) * (256 //
23                                         n_bins)
24         histogram, _ = np.histogram(
25             graysacle, bins=bins
26         )
27         histogram = histogram / histogram.sum()
28     return DetectionState(
29         x=x,
30         y=y,
31         width=width,
32         height=height,
33         frame_step=frame_step,
34         histogram=histogram,
35     )

```

Kode Sumber 4.1b Fungsi Instansiasi dari Bounding Box (2)

4.2.3. Implementasi Class ObjectState

Class ini merupakan *class* pembantu yang mewakili objek dalam *object tracking*. Pada *class* ini terdapat beberapa variabel *instance* yang dijelaskan pada Tabel 4.3. Implementasi terdapat pada Kode Sumber 4.2.

Tabel 4.3 Nama dan Penjelasan Variabel Instance dari Class OBJECTSTATE

Nama Variabel	Penjelasan
x	posisi titik tengah <i>bounding box</i> sumbu-x
y	posisi titik tengah <i>bounding box</i> sumbu-y
width	lebar objek
height	tinggi objek
frame_step	menyimpan ID <i>frame</i>
histogram	histogram dari citra objek
v_x	kecepatan di sumbu-x
v_y	kecepatan di sumbu-y

```

1 @dataclass
2 class ObjectState:
3     x: float
4     y: float
5     width: float
6     height: float
7     frame_step: int
8     histogram: np.ndarray
9     v_x: float = 0.0
10    v_y: float = 0.0
11
12    @staticmethod
13    def from_detection(
14        detection: DetectionState,
15    ) -> "ObjectState":
16        ...
17    def update_from_object_state(
18        self, object_state: "ObjectState"
19    ):
20        ...

```

Kode Sumber 4.2 Class OBJECTSTATE

4.2.4. Implementasi Class StructuralConstraint

Class ini merupakan *class* pembantu untuk menyimpan batasan struktural dari pasangan OBJECTSTATE. Pada *class* ini terdapat beberapa variabel *instance* yang dijelaskan pada Tabel 4.4 . Implementasi terdapat pada Kode Sumber 4.3.

Tabel 4.4 Nama dan Penjelasan Variabel Instance dari Class STRUCTURALCONSTRAINT

Nama Variabel	Penjelasan
delta_x	selisih posisi di sumbu-x
delta_y	selisih posisi di sumbu-y
delta_v_x	selisih kecepatan di sumbu-x
delta_v_y	selisih kecepatan di sumbu-y

```

1 @dataclass
2 class StructuralConstraint:
3     delta_x: float
4     delta_y: float
5     delta_v_x: float
6     delta_v_y: float
7
8     @staticmethod
9     def create(
10         first_object: ObjectState,
11         second_object: ObjectState,
12     ) -> "StructuralConstraint":
13     ...
14
15     def update_from_sc(self, sc:
16         "StructuralConstraint"):
17     ...

```

Kode Sumber 4.3 *Class* STRUCTURALCONSTRAINT

4.2.4.1. Implementasi Fungsi Instansiasi dari Pasangan ObjektState

Fungsi ini berguna untuk membuat STRUCTURALCONSTRAINT dari dua OBJECTSTATE. Implementasi terdapat pada Kode Sumber 4.4.

```

1 @staticmethod
2 def create(
3     first_object: ObjectState,
4     second_object: ObjectState,
5 ) -> "StructuralConstraint":
6     delta_x = first_object.x - second_object.x
7     delta_y = first_object.y - second_object.y
8     delta_v_x = first_object.v_x -
9         second_object.v_x
9     delta_v_y = first_object.v_y -
10        second_object.v_y
10
11    return StructuralConstraint(
12        delta_x=delta_x,
13        delta_y=delta_y,
14        delta_v_x=delta_v_x,
15        delta_v_y=delta_v_y,
16    )

```

Kode Sumber 4.4 Fungsi Instansiasi dari Pasangan ObjectState

4.2.5. Implementasi Modul cost

Modul COST digunakan untuk menyimpan fungsi-fungsi yang akan digunakan untuk menghitung *cost* yang dibutuhkan. Berikut adalah penjelasan dari masing-masing fungsi.

4.2.5.1. Implementasi Fungsi Cost Fs

Fungsi ini merupakan implementasi dari desain fungsi pada Subbab 3.2.8 yang menerima masukan OBJECTSTATE dan

DETECTIONSTATE dan mengembalikan hasil perhitungan *cost*. Implementasi terdapat pada Kode Sumber 4.5.

```

1 def f_s(
2     object_state: ObjectState,
3     detection_state: DetectionState,
4 ) -> float:
5     h_obj = object_state.height
6     w_obj = object_state.width
7     h_det = detection_state.height
8     w_det = detection_state.width
9     h = abs(h_obj - h_det) / (2 * (h_obj + h_det))
10    w = abs(w_obj - w_det) / (2 * (w_obj + w_det))
11    return -math.log(1 - h - w)

```

Kode Sumber 4.5 Fungsi Cost Fs

4.2.5.2. Implementasi Fungsi Cost Fa

Fungsi ini merupakan implementasi dari desain fungsi pada Subbab 3.2.9 yang menerima masukan OBJECTSTATE dan DETECTIONSTATE dan mengembalikan hasil perhitungan *cost*. Implementasi terdapat pada Kode Sumber 4.6.

```

1 def f_a(
2     object_state: ObjectState,
3     detection_state: DetectionState,
4 ) -> float:
5     hist_obj = object_state.histogram
6     hist_det = detection_state.histogram
7     root = np.sqrt(hist_obj * hist_det)
8     summation = root.sum()
9     return -math.log(summation)

```

Kode Sumber 4.6 Fungsi Cost Fa

4.2.5.3. Implementasi Fungsi Cost Fc

Fungsi ini merupakan implementasi dari desain fungsi pada Subbab 3.2.10 yang menerima masukan OBJECTSTATE,

DETECTIONSTATE, dan STRUCTURALCONSTRAINT dan mengembalikan hasil perhitungan *cost*. Implementasi terdapat pada Kode Sumber 4.7.

```

1 def f_c(
2     object_state: ObjectState,
3     sc_ij: StructuralConstraint,
4     detection_k: DetectionState,
5     detection_q: DetectionState,
6 ) -> float:
7     x = detection_k.x - sc_ij.delta_x -
        object_state.width / 2
8     y = detection_k.y - sc_ij.delta_y -
        object_state.height / 2
9     s_jk = [x, y, x + object_state.width, y +
        object_state.height]
10    det_q = [
11        detection_q.x - detection_q.width / 2,
12        detection_q.y - detection_q.height / 2,
13        detection_q.x + detection_q.width / 2,
14        detection_q.y + detection_q.height / 2,
15    ]
16    iou_score = iou(s_jk, det_q)
17    return 1 - iou_score

```

Kode Sumber 4.7 Fungsi Cost Fc

4.2.5.4. Implementasi Fungsi Cost Fr

Fungsi ini merupakan implementasi dari desain fungsi pada Subbab 3.2.15 yang menerima masukan OBJECTSTATE dan DETECTIONSTATE dan mengembalikan hasil perhitungan *cost*. Implementasi terdapat pada Kode Sumber 4.8a dan 4.8b.

```

1 def f_r(
2     object_state: ObjectState,
3     detection: DetectionState,
4     match_gamma: ObjectState) -> float:

```

Kode Sumber 4.8a Fungsi Cost Fr (1)

```

5      sc_object_gamma = StructuralConstraint.create(
6          object_state, match_gamma
7      )
8      x = match_gamma.x + sc_object_gamma.delta_x -
9          object_state.width / 2
10     y = match_gamma.y + sc_object_gamma.delta_y -
11         object_state.height / 2
12     s_i_gamma = [x, y, x + object_state.width, y
13                 + object_state.height]
14
15     det_q = [
16         detection.x - detection.width / 2,
17         detection.y - detection.height / 2,
18         detection.x + detection.width / 2,
19         detection.y + detection.height / 2,
20     ]
21
22     iou_score = iou(s_i_gamma, det_q)
23     return 1 - iou_score

```

Kode Sumber 4.8b Fungsi Cost Fr (2)

4.2.6. Implementasi Modul partition

Modul PARTITION digunakan untuk menyimpan fungsi-fungsi yang akan digunakan dalam proses pembuatan partisi dan pembangkitan kombinasi asosiasi. Berikut adalah penjelasan dari masing-masing fungsi tersebut.

4.2.6.1. Implementasi Fungsi Gating

Fungsi ini merupakan implementasi dari desain fungsi pada Subbab 3.2.4. Parameter fungsi ini adalah array 2D *fs_matrix* sebagai matriks *cost fs*, *object_states* dan *detections_states* sebagai kumpulan objek dan deteksi, serta bilangan riil *threshold* sebagai nilai τ seperti pada Persamaan 2.11. Implementasi terdapat pada Kode Sumber 4.9.

```

1 def gating(
2     fs_matrix: np.ndarray,
3     object_states: List[ObjectState],
4     detection_states: List[DetectionState],
5     threshold: float = 0.7,
6 ) -> np.ndarray:
7     distance_matrix = __center_distance(
8         object_states, detection_states
9     )
10    diagonal_vector = __diagonal(object_states)
11    diagonal_column_vector =
12        diagonal_vector.reshape(
13            -1, 1
14        )
15    diagonal_matrix = np.tile(
16        diagonal_column_vector,
17        (1, len(detection_states))
18    )
19    mask_center = distance_matrix <
20        diagonal_matrix
21    mask_fs = np.exp(-fs_matrix) > threshold
22    mask = mask_center & mask_fs
23    return mask

```

Kode Sumber 4.9 Fungsi Gating

4.2.6.2. Implementasi Fungsi Partisi

Fungsi ini merupakan implementasi dari desain fungsi pada Subbab 3.2.5. Parameter fungsi ini adalah *array object_states* sebagai objek dan bilangan bulat *n_member* sebagai batas maksimal anggota per partisi. Implementasi terdapat pada Kode Sumber 4.10.

```

1 def subgroup_by_cluster_constrained(
2     object_states: List[ObjectState],
3     n_member: int = 5,
4 ) -> List[List[int]]:
5     n_cluster = math.ceil(
6         len(object_states) / n_member
7     )
8     features = [
9         [obj.x, obj.y] for obj in object_states
10    ]
11    kmeans = KMeansConstrained(
12        n_clusters=n_cluster,
13        size_max=min(
14            n_member, len(object_states)
15        ),
16        random_state=42,
17    )
18    labels = kmeans.fit_predict(features)
19    groups = []
20    for label in set(labels):
21        indices = np.flatnonzero(labels == label)
22        groups.append(indices.tolist())
23    return groups

```

Kode Sumber 4.10 Fungsi Partisi

4.2.6.3. Implementasi Fungsi Pembangkit Kombinasi Asosiasi

Fungsi ini merupakan implementasi dari desain fungsi pada Subbab 3.2.7. Parameter fungsi ini adalah *array 2D gated_assignment_matrix* sebagai matriks hasil *gating* dan *array subgroup* sebagai indeks dari objek yang ada dalam suatu partisi. Pembangkitan kombinasi dari *cross product* menggunakan fungsi MESHGRID dari pustaka *numpy* [15] kemudian dihapus kombinasi yang duplikat [16]. Implementasi terdapat pada Kode Sumber 4.11.

```

1 def possible_assignment_generator(
2     gated_assignment_matrix: np.ndarray,
3     subgroup: List[int],
4 ) -> List[List[int]]:
5     assignment_matrix =
6         __assignment_matrix_for_subgroup(
7             gated_assignment_matrix, subgroup
8         )
9     n_object = len(subgroup)
10    possible_assignment = [
11        [] for _ in range(n_object)
12    ]
13    rows, cols = assignment_matrix.nonzero()
14    for object_index, detection_index in zip(
15        rows, cols
16    ):
17        possible_assignment[object_index].append(
18            detection_index
19        )
20    combination = np.array(
21        np.meshgrid(*possible_assignment)
22    )
23    combination = combination.T.reshape(
24        -1, n_object
25    )
26    combination = __remove_duplicate_row(
27        combination, excludes=[0],
28    )
29    return combination.tolist()

```

Kode Sumber 4.11 Fungsi Pembangkit Kombinasi Asosiasi

4.2.7. Implementasi Modul scea

Modul SCEA digunakan untuk menyimpan fungsi-fungsi dan *class* pembantu yang akan digunakan dalam alur proses SCEA dari perhitungan *cost anchor* hingga agregat hasil asosiasi sesuai desain fungsi pada Subbab 3.2.3. Berikut adalah penjelasan dari masing-masing fungsi tersebut.

4.2.7.1. Implementasi Class ConfigSCEA

Class ini merupakan *class* pembantu yang digunakan untuk menyimpan konfigurasi parameter dalam proses SCEA. Pada *class* ini terdapat beberapa variabel *instance* yang dijelaskan pada Tabel 4.5. Implementasi *class* sebagai *NamedTuple* yang bersifat *immutable* terdapat pada Kode Sumber 4.12.

Tabel 4.5 Nama dan Penjelasan Variabel Instance dari Class CONFIGSCEA

Nama Variabel	Penjelasan
default_cost_d0	nilai <i>cost</i> standar untuk kasus deteksi yang salah
num_cluster_member	maksimal banyak objek tiap partisi
gating_threshold	nilai <i>threshold</i> dalam proses <i>gating</i>

```

1 class ConfigSCEA(NamedTuple):
2     default_cost_d0: float = 4.0
3     num_cluster_member: int = 5
4     gating_threshold: float = 0.7

```

Kode Sumber 4.12 Class CONFIGSCEA

4.2.7.2. Implementasi Fungsi Cost Anchor

Fungsi ini merupakan bagian implementasi dari desain fungsi pada Subbab 3.2.6 untuk menghitung *cost* objek *anchor* dengan deteksi yang diasosiasikan. Implementasi terdapat pada Kode Sumber 4.13.

```

1 def __cost_anchor(
2     object_state: ObjectState,
3     detection_state: DetectionState) -> float:
4     cost_fs = f_s(object_state, detection_state)
5     cost_fa = f_a(object_state, detection_state)

```

```
6     return cost_fs + cost_fa
```

Kode Sumber 4.13 Fungsi Cost Anchor

4.2.7.3. Implementasi Fungsi Cost Non-Anchor

Fungsi ini merupakan bagian implementasi dari desain fungsi pada Subbab 3.2.6 untuk menghitung *cost* pada objek dengan deteksi yang diasosiasikan berdasarkan acuan objek *anchor*. Implementasi terdapat pada Kode Sumber 4.14.

```
1 def __cost_non_anchor(
2     object_state: ObjectState,
3     detection_k: DetectionState,
4     detection_q: DetectionState,
5     sc_ij: StructuralConstraint,
6 ) -> float:
7     cost_fs = f_s(object_state, detection_q)
8     cost_fa = f_a(object_state, detection_q)
9     cost_fc = f_c(
10         object_state,
11         sc_ij,
12         detection_k,
13         detection_q,
14     )
15     return cost_fs + cost_fa + cost_fc
```

Kode Sumber 4.14 Fungsi Cost Non-Anchor

4.2.7.4. Implementasi Fungsi Cost Berdasarkan Anchor dalam Kombinasi

Fungsi ini merupakan bagian implementasi dari desain fungsi pada Subbab 3.2.6 untuk menghitung nilai *cost* dari asosiasi dalam satu kombinasi berdasarkan satu objek *anchor*. Implementasi terdapat pada Kode Sumber 4.15a dan 4.15b.

```
1 def cost_by_anchor(
2     anchor_object_index: int,
3     subgroup_member: List[int],
4     possible_assignment: List[int],
5     structural_constraints: List[
6         List[StructuralConstraint]
7     ], object_states: List[ObjectState],
8     detection_states: List[DetectionState],
9     default_cost_d0: float = 4.0,
10 ) -> float:
11     object_index = subgroup_member[
12         anchor_object_index
13     ]
14     object_anchor = object_states[object_index]
15     detection_index = (
16         possible_assignment[anchor_object_index]
17         - 1
18     )
19     detection_anchor = detection_states[
20         detection_index
21     ]
22     cost_value = 0.0
23     for obj_index, det_index in enumerate(
24         possible_assignment
25     ):
26         real_obj_index = subgroup_member[
27             obj_index
28         ]
29         real_det_index = det_index - 1
30
31         # object index is equal to anchor index
32         if real_obj_index == object_index:
33             cost_value += __cost_anchor(
34                 object_anchor, detection_anchor
35             )
```

Kode Sumber 4.15a Fungsi Cost Berdasarkan Anchor dalam Kombinasi (1)

```

36     else:
37         object_state = object_states[
38             real_obj_index
39         ]
40         detection_state = detection_states[
41             real_det_index
42         ]
43         # case for d0
44         if real_det_index == -1:
45             cost_value += default_cost_d0
46         else:
47             cost_value += __cost_non_anchor(
48                 object_state=object_state,
49                 detection_k=detection_anchor,
50                 detection_q=detection_state,
51                 sc_ij=structural_constraints[
52                     object_index
53                 ][real_obj_index],
54             )
55     return cost_value

```

Kode Sumber 4.15b Fungsi Cost Berdasarkan Anchor dalam Kombinasi (2)

4.2.7.5. Implementasi Fungsi Perhitungan Cost Asosiasi dari Kombinasi

Fungsi ini merupakan bagian implementasi dari desain fungsi pada Subbab 3.2.6 yang menghitung rata-rata *cost* asosiasi berdasarkan semua objek *anchor* yang ada dalam satu kombinasi asosiasi. Implementasi terdapat pada Kode Sumber 4.16.

```
1 def cost_by_possible_assignment(
2     possible_assignment: List[int],
3     subgroup: List[int],
4     structural_constraints: List[
5         List[StructuralConstraint]],
6     object_states: List[ObjectState],
7     detection_states: List[DetectionState],
8     default_cost_d0: float = 4.0,
9 ) -> float:
10    anchor_count = 0
11    cost = 0.0
12    for (
13        object_index,
14        detection_index,
15    ) in enumerate(possible_assignment):
16        if detection_index == 0:
17            continue
18        anchor_count += 1
19        cost += cost_by_anchor(
20            anchor_object_index=object_index,
21            subgroup_member=subgroup,
22            possible_assignment=
23                possible_assignment,
24            structural_constraints=
25                structural_constraints,
26            object_states=object_states,
27            detection_states=detection_states,
28            default_cost_d0=default_cost_d0,
29        )
30        if anchor_count == 0:
31            return np.inf
32        cost /= anchor_count
33    return cost
```

Kode Sumber 4.16 Fungsi Perhitungan Cost Asosiasi dari Kombinasi

4.2.7.6. Implementasi Fungsi Perhitungan Asosiasi Per Partisi

Fungsi ini merupakan bagian implementasi dari desain fungsi pada Subbab 3.2.6 yang memilih kombinasi asosiasi dengan *cost* terkecil sebagai asosiasi terbaik untuk satu partisi yang diberikan. Keluaran dari fungsi ini adalah matriks asosiasi dan *cost* asosiasinya. Implementasi terdapat pada Kode Sumber 4.17a dan 4.17b.

```

1 def best_assignment_by_subgroup(
2     subgroup: List[int],
3     gated_assignment_matrix: np.ndarray,
4     object_states: List[ObjectState],
5     detection_states: List[DetectionState],
6     structural_constraints: Union[
7         np.ndarray,
8         List[List[StructuralConstraint]]],
9     ],
10    default_cost_d0: float = 4.0,
11 ) -> Tuple[np.ndarray, float]:
12     min_cost = np.inf
13     min_assignment_list = []
14     for (
15         possible_assignment
16     ) in possible_assignment_generator(
17         gated_assignment_matrix, subgroup
18     ):
19         cost = cost_by_possible_assignment(
20             possible_assignment=
21                 possible_assignment,
22                 subgroup=subgroup,
23                 structural_constraints=
24                     structural_constraints,
25                 object_states=object_states,
26                 detection_states=detection_states,
27                 default_cost_d0=default_cost_d0,
28             )
29         if cost < min_cost:
30             min_cost = cost

```

Kode Sumber 4.17a Fungsi Perhitungan Asosiasi Per Partisi (1)

```

29         min_assignment_list = (
30             possible_assignment.copy()
31         )
32     best_assignment = np.zeros_like(
33         gated_assignment_matrix, dtype=int
34     )
35     for obj_index, detection_index in enumerate(
36         min_assignment_list
37     ):
38         object_index = subgroup[obj_index]
39         detection_index -= 1 # compensate d0
40         if detection_index < 0:
41             continue
42         best_assignment[object_index][
43             detection_index
44         ] = 1
45     return best_assignment, min_cost

```

Kode Sumber 4.17b Fungsi Perhitungan Asosiasi Per Partisi (2)

4.2.7.7. Implementasi Fungsi Penggabungan Matriks Asosiasi

Fungsi ini merupakan implementasi desain fungsi dari Subbab 3.2.11. Fungsi ini akan memeriksa jika ada asosiasi ke deteksi yang sama dan memilih salah satu dengan *cost* terkecil. Implementasi terdapat pada Kode Sumber 4.18a dan 4.18b.

```

1 def __aggregate(
2     assignment_matrices: Union[
3         np.ndarray, List[List[List[int]]]
4     ],
5     assignment_costs: List[float],
6 ) -> Union[np.ndarray, List[List[int]]]:
7     n_object = len(assignment_matrices[0])
8     n_detection = len(assignment_matrices[0][0])
9     assignment_matrix = np.zeros(
10         (n_object, n_detection), dtype="int")

```

Kode Sumber 4.18a Fungsi Penggabungan Matriks Asosiasi (1)

```

11     assignment_cost = np.empty(
12         (n_object, n_detection)
13     )
14     assignment_cost[:, :] = np.inf
15     for assignment, cost in zip(
16         assignment_matrices, assignment_costs
17     ):
18         mask = assignment == 1
19         mask_column = mask.sum(axis=0).flatten()
20         mask_global_column =
21             assignment_matrix.sum(
22                 axis=0).flatten()
23
24         # check for same assignment
25         intersection_column_mask = np.logical_and(
26             mask_column, mask_global_column
27         )
28         if intersection_column_mask.sum() > 0:
29             intersection_index = np.where(
30                 intersection_column_mask == 1
31             )[0]
32             for (
33                 intersection
34             ) in intersection_index:
35                 global_cost = assignment_cost[
36                     :, intersection].min()
37                 global_row = assignment_cost[
38                     :, intersection].argmin()
39                 if global_cost < cost:
40                     mask[:, intersection] = False
41                 else:
42                     assignment_matrix[
43                         global_row, intersection
44                     ] = 0
45             assignment_matrix[mask] = 1
46             assignment_cost[mask] = cost
47     return assignment_matrix

```

Kode Sumber 4.18b Fungsi Penggabungan Matriks Asosiasi (2)

4.2.7.8. Implementasi Fungsi Penentuan Matriks Asosiasi

Fungsi ini merupakan implementasi dari desain fungsi pada Subbab 3.2.3. Dalam fungsi ini dilakukan proses SCEA mulai dari *gating*, pembagian menjadi partisi, dan pemilihan kombinasi asosiasi terbaik menjadi matriks asosiasi dengan *cost* terkecil. Implementasi terdapat pada Kode Sumber 4.19a dan 4.19b.

```

1 def best_assignment(
2     object_states: List[ObjectState],
3     detection_states: List[DetectionState],
4     structural_constraints: Union[
5         np.ndarray,
6         List[List[StructuralConstraint]],
7     ],
8     default_cost_d0: float = 4.0,
9     gating_threshold: float = 0.7,
10    num_cluster_member: int = 5,
11 ) -> np.ndarray:
12     fs_matrix = calculate_fs(
13         object_states, detection_states
14     )
15     gated_assignment_matrix = gating(
16         fs_matrix=fs_matrix,
17         object_states=object_states,
18         detection_states=detection_states,
19         threshold=gating_threshold,
20     )
21     subgroups = subgroup_by_cluster_constrained(
22         object_states, n_member=num_cluster_member
23     )
24     assignment_matrices = []
25     assignment_costs = []
26     for subgroup in subgroups:
27         (
28             current_best_assignment,
29             current_cost,
30         ) = best_assignment_by_subgroup(
31             subgroup=subgroup,

```

Kode Sumber 4.19a Fungsi Penentuan Matriks Asosiasi (1)

```

32         gated_assignment_matrix=
33             gated_assignment_matrix,
34         object_states=object_states,
35         detection_states=detection_states,
36         structural_constraints=
37             structural_constraints,
38     )
39     assignment_matrices.append(
40         current_best_assignment
41     )
42     assignment_costs.append(current_cost)
43     assignment_matrix = __aggregate(
44         assignment_matrices, assignment_costs
45     )
46     return assignment_matrix

```

Kode Sumber 4.19b Fungsi Penentuan Matriks Asosiasi (2)

4.2.8. Implementasi Modul scor

Modul SCOR digunakan untuk menyimpan fungsi-fungsi dan *class* pembantu yang akan digunakan dalam alur proses SCOR dari penentuan objek *gamma* hingga penentuan asosiasi sesuai desain fungsi pada Subbab 3.2.12. Berikut adalah penjelasan dari masing-masing fungsi tersebut.

4.2.8.1. Implementasi Class ConfigSCOR

Class ini merupakan *class* pembantu yang digunakan untuk menyimpan konfigurasi parameter dalam proses SCOR. Pada *class* ini terdapat variabel *instance* yang dijelaskan pada Tabel 4.6. Implementasi *class* sebagai *NamedTuple* yang bersifat *immutable* terdapat pada Kode Sumber 4.20.

Tabel 4.6 Nama dan Penjelasan Variabel Instance dari Class CONFIGSCOR

Nama Variabel	Penjelasan
default_cost_d0	nilai <i>cost</i> standar untuk kasus deteksi yang salah

```
1 class ConfigSCOR(NamedTuple):
2     default_cost_d0: float = 4.0
```

Kode Sumber 4.20 *Class CONFIGSCOR*

4.2.8.2. Implementasi Fungsi Penentuan Objek Gamma

Fungsi ini merupakan implementasi dari desain fungsi pada Subbab 3.2.13. Objek *gamma* dipilih berdasarkan kemiripan pergerakan yang dihitung dari resultan kecepatan antar objek. Implementasi terdapat ada Kode Sumber 4.21.

```
1 def matching_s_gamma(
2     updated_objects: List[ObjectState],
3     missing_objects: List[ObjectState],
4 ) -> List[ObjectState]:
5     s_gamma = []
6     for missing in missing_objects:
7         min_resultant = math.inf
8         min_state = None
9         for well_tracked in updated_objects:
10             resultant = velocity_resultant(
11                 missing, well_tracked
12             )
13             if resultant < min_resultant:
14                 min_resultant = resultant
15                 min_state = well_tracked
16             s_gamma.append(min_state)
17     return s_gamma
```

Kode Sumber 4.21 Fungsi Penentuan Objek Gamma

4.2.8.3. Implementasi Fungsi Perhitungan Matriks Cost

Fungsi ini merupakan implementasi desain fungsi pada Subbab 3.2.14 yang menghitung matriks nilai *cost* asosiasi deteksi ke objek yang menghilang berdasarkan pasangan objek gamma-nya. Kemudian diimplementasikan juga sebagian desain fungsi Subbab 3.2.16 yang menambahkan matriks *cost* untuk kasus d_0 . Implementasi terdapat pada Kode Sumber 4.22a dan 4.22b.

```

1 def calculate_assignment_cost_matrix(
2     missing_objects: List[ObjectState],
3     unassigned_detections: List[DetectionState],
4     updated_objects: List[ObjectState],
5     default_cost_d0: float = 4.0,
6 ) -> np.ndarray:
7     match_s_gamma = matching_s_gamma(
8         updated_objects=updated_objects,
9         missing_objects=missing_objects,
10    )
11     costs = []
12     for (
13         obj_idx,
14         (missing_object, match_s),
15     ) in enumerate(
16         zip(missing_objects, match_s_gamma)
17     ):
18         row = []
19         for (
20             det_idx,
21             unassigned_detection,
22         ) in enumerate(unassigned_detections):
23             value = assignment_cost(
24                 missing_object,
25                 unassigned_detection,
26                 match_s,
27             )
28             row.append(value)
29         costs.append(row)
30     costs = np.array(costs)

```

Kode Sumber 4.22a Fungsi Perhitungan Matriks Cost (1)

```

31     n_objects = len(missing_objects)
32     costs_d0 = np.eye(n_objects)
33     costs_d0[costs_d0 == 0.0] = np.inf
34     costs_d0[costs_d0 == 1.0] = default_cost_d0
35     cost_augmented = np.hstack((costs, costs_d0))
36     return cost_augmented

```

Kode Sumber 4.22b Fungsi Perhitungan Matriks Cost (2)

4.2.8.4. Implementasi Fungsi Penentuan Asosiasi

Fungsi ini merupakan implementasi dari desain fungsi Subbab 3.2.12 dan 3.2.16. Dalam fungsi ini diimplementasikan proses SCOR secara keseluruhan dan penentuan pasangan asosiasi menggunakan *linear sum assignment*. Implementasi terdapat pada Kode Sumber 4.23a dan 4.23b.

```

1 def best_assignment(
2     missing_objects: List[ObjectState],
3     unassigned_detections: List[DetectionState],
4     updated_objects: List[ObjectState],
5     default_cost_d0: float = 4.0,
6 ) -> np.ndarray:
7     cost_matrix =
8         calculate_assignment_cost_matrix(
9             missing_objects=missing_objects,
10            unassigned_detections=
11                unassigned_detections,
12            updated_objects=updated_objects,
13            default_cost_d0=default_cost_d0,
14        )
15     max_val = np.max(
16         cost_matrix[cost_matrix != np.inf]
17     )
18     cost_matrix[cost_matrix == np.inf] = (
19         max_val * 2
20     )

```

Kode Sumber 4.23a Fungsi Penentuan Asosiasi (1)

```

19     rows, cols = linear_sum_assignment(
20         cost_matrix
21     )
22     n_unassigned_det = len(unassigned_detections)
23     n_missing_objects = len(missing_objects)
24     assignment_matrix = np.zeros(
25         (
26             n_missing_objects,
27             n_unassigned_det + n_missing_objects,
28         ),
29         dtype="int",
30     )
31     assignment_matrix[rows, cols] = 1
32
33     # exclude column for d0
34     assignment_matrix = assignment_matrix[
35         :, :n_unassigned_det
36     ]
37     return assignment_matrix

```

Kode Sumber 4.23b Fungsi Penentuan Asosiasi (2)

4.2.9. Implementasi Class ObjectStateTracker

Class OBJECTSTATETRACKER merupakan *class* yang menjadi bagian dari implementasi desain fungsi Subbab 3.2.17 untuk bagian *Kalman filter* dan pembaruan histogram. *Class* ini memiliki satu *class* variabel yaitu bilangan bulat *counter* yang nantinya digunakan untuk mengisi *id* pada tiap *instance*. Juga terdapat beberapa variabel *instance* yang dijelaskan pada Tabel 4.7. Implementasi terdapat pada Kode Sumber 4.24.

Tabel 4.7 Nama dan Penjelasan Variabel Instance dari Class OBJECTSTATETRACKER

Nama Variabel	Penjelasan
id	nomor unik identitas objek
kf	<i>instance</i> KALMANFILTER dari pustaka <i>filterpy</i> untuk menjalankan proses <i>Kalman filter</i>
frame_step	ID <i>frame</i> terkini
histogram	nilai histogram objek
hist_alpha	tingkat perubahan histogram
__state	<i>instance</i> OBJECTSTATE yang menyimpan nilai terbaru <i>state</i> objek

```

1 class ObjectStateTracker:
2     counter = 0
3     def __init__(self, state: ObjectState):
4         ...
5     def update(self, detection: DetectionState):
6         ...
7     def __update_state(
8         self, detection: DetectionState
9     ):
10        ...
11    def __update_histogram(
12        self, detection: DetectionState
13    ):
14        ...
15    def predict(self):
16        ...
17    def __set_state(self):
18        ...
19    @property
20    def state(self) -> ObjectState:
21        ...

```

Kode Sumber 4.24 Class OBJECTSTATETRACKER

4.2.9.1. Implementasi Fungsi Constructor ObjectStateTracker

Fungsi ini berguna untuk membuat *instance* OBJECTSTATETRACKER baru berdasarkan satu OBJECTSTATE. Dalam fungsi ini juga dilakukan inisialisasi variabel *instance*. Dalam fungsi ini juga dilakukan inisialisasi nilai matriks *Kalman filter* sesuai Subbab 3.2.17. Implementasi terdapat pada Kode Sumber 4.25a dan 4.25b.

```

1 def __init__(self, state: ObjectState):
2     self.id = ObjectStateTracker.counter
3     ObjectStateTracker.counter += 1
4
5     self.kf = KalmanFilter(
6         dim_x=DIM_X, dim_z=DIM_Z
7     )
8
9     F = np.eye(DIM_X)
10    F[[0, 1], [2, 3]] = 1
11    self.kf.F = F
12
13    H = np.zeros((DIM_Z, DIM_X))
14    H[[0, 1, 2, 3], [0, 1, 4, 5]] = 1
15    self.kf.H = H
16
17    quart_q = 0.25 * DEV_Q
18    half_q = 0.5 * DEV_Q
19    self.kf.Q = np.array(
20        [
21            [quart_q, 0, half_q, 0, 0, 0],
22            [0, quart_q, 0, half_q, 0, 0],
23            [half_q, 0, DEV_Q, 0, 0, 0],
24            [0, half_q, 0, DEV_Q, 0, 0],
25            [0, 0, 0, 0, DEV_S, 0],
26            [0, 0, 0, 0, 0, DEV_S],
27        ]
28    )

```

Kode Sumber 4.25a Fungsi Constructor ObjectStateTracker (1)

```
29     self.kf.R = block_diag(
30         DEV_X, DEV_Y, DEV_W, DEV_H
31     )
32     self.kf.x = np.array(
33         [
34             state.x,
35             state.y,
36             state.v_x,
37             state.v_y,
38             state.width,
39             state.height,
40         ]
41     )
42
43     self.frame_step = state.frame_step
44     self.histogram = state.histogram.copy()
45     self.hist_alpha = 0.1
46     self.__state = None
47     self.__set_state()
```

Kode Sumber 4.25b Fungsi Constructor ObjectStateTracker (2)

4.2.9.2. Implementasi Fungsi Pembaruan State Objek

Fungsi ini merupakan implementasi proses pembaruan nilai *state* objek dari deteksi yang diasosiasikan dengan menggunakan *Kalman filter*. Nilai pengukuran yang menjadi masukan *Kalman filter* sesuai dengan Subbab 3.2.17. Fungsi ini dipanggil oleh fungsi UPDATE yang kemudian memanggil __SET_STATE untuk mengisikan variabel *instance __state* dengan nilai terbaru dari objek hasil prediksi *Kalman filter*. Implementasi terdapat pada Kode Sumber 4.26.

```

1 def __update_state(
2     self, detection: DetectionState
3 ):
4     measurement = np.array(
5         [
6             detection.x,
7             detection.y,
8             detection.width,
9             detection.height,
10        ]
11    )
12    self.kf.update(measurement)

```

Kode Sumber 4.26 Fungsi Pembaruan State Objek

4.2.9.3. Implementasi Fungsi Pembaruan Histogram Objek

Fungsi ini merupakan implementasi tahap pembaruan histogram objek sesuai desain fungsi pada Subbab 3.2.17 yang menggunakan Persamaan 2.25 untuk memperbarui histogram objek berdasarkan histogram deteksi. Implementasi terdapat pada Kode Sumber 4.27.

```

1 def __update_histogram(
2     self, detection: DetectionState
3 ):
4     old_value = (
5         1 - self.hist_alpha
6     ) * self.histogram
7     current_value = (
8         self.hist_alpha * detection.histogram)
9     self.histogram = old_value + current_value

```

Kode Sumber 4.27 Fungsi Pembaruan Histogram Objek

4.2.9.4. Implementasi Fungsi Prediksi State Objek

Fungsi ini merupakan implementasi dari desain fungsi pada Subbab 3.2.19 yang melakukan prediksi nilai *state* objek dari hasil

pembaruan sebelumnya. Implementasi terdapat pada Kode Sumber 4.28.

```
1 def predict(self):
2     self.kf.predict()
3     self.__set_state()
```

Kode Sumber 4.28 Fungsi Prediksi State Objek

4.2.10. Implementasi Class StructuralConstraintTracker

Class STRUCTURALCONSTRAINTTRACKER merupakan *class* yang menjadi implementasi dari tahapan pembaruan batasan struktural dari Subbab 3.2.18. Terdapat variabel *instance* yang dijelaskan pada Tabel 4.8. Implementasi ada pada Kode Sumber 4.29a dan 4.29b.

Tabel 4.8 Nama dan Penjelasan Variabel Instance dari Class STRUCTURALCONSTRAINTTRACKER

Nama Variabel	Penjelasan
kf	<i>instance</i> KALMANFILTER dari pustaka <i>filterpy</i> untuk menjalankan proses <i>Kalman filter</i>
__state	<i>instance</i> OBJECTSTATE yang menyimpan nilai terbaru <i>state</i> objek
__is_tracked	<i>flag</i> pasangan objek terlacak

```
1 class StructuralConstraintTracker:
2     def __init__(
3         self,
4         initial_state: StructuralConstraint
5     ):
6         ...
```

Kode Sumber 4.29a *Class* STRUCTURALCONSTRAINTTRACKER (1)

```

7   def update(
8       self,
9       sc: Optional[StructuralConstraint] = None,
10      ):
11      ...
12      def __update_well_tracked(
13          self, sc: StructuralConstraint
14      ):
15      ...
16      def __update_missing(self):
17      ...
18      def predict(self):
19      ...
20      def __set_state(self):
21      ...
22      @property
23      def state(self) -> StructuralConstraint:
24      ...

```

Kode Sumber 4.29b *Class STRUCTURALCONSTRAINTTRACKER*
(2)

4.2.10.1. Implementasi Fungsi Constructor StructuralConstraintTracker

Fungsi ini berguna untuk membuat *instance* STRUCTURALCONSTRAINTTRACKER baru berdasarkan satu STRUCTURALCONSTRAINT. Dalam fungsi ini dilakukan inisialisasi variabel *instance*. Dalam fungsi ini juga dilakukan inisialisasi nilai matriks *Kalman filter* sesuai Subbab 3.2.18. Implementasi terdapat pada Kode Sumber 4.30.

```

1 def __init__(  

2     self, initial_state: StructuralConstraint  

3 ):  

4     self.kf = KalmanFilter(  

5         dim_x=DIM_X, dim_z=DIM_Z  

6     )  

7  

8     F = np.eye(DIM_X)  

9     F[[0, 1], [2, 3]] = 1  

10    self.kf.F = F  

11  

12    H = np.zeros((DIM_Z, DIM_X))  

13    H[[0, 1], [0, 1]] = 1  

14    self.kf.H = H  

15    quart_sc = 0.25 * DEV_SC  

16    half_sc = 0.5 * DEV_SC  

17    self.kf.Q = np.array(  

18        [  

19            [quart_sc, 0, half_sc, 0],  

20            [0, quart_sc, 0, half_sc],  

21            [half_sc, 0, DEV_SC, 0],  

22            [0, half_sc, 0, DEV_SC],  

23        ]  

24    )  

25  

26    self.kf.R = block_diag(DEV_X, DEV_Y)  

27    self.kf.x = np.array(  

28        [  

29            initial_state.delta_x,  

30            initial_state.delta_y,  

31            initial_state.delta_v_x,  

32            initial_state.delta_v_y,  

33        ]  

34    )  

35    self.__is_tracked = True  

36    self.__state = None  

37    self.__set_state()

```

Kode Sumber 4.30 Fungsi Constructor StructuralConstraintTracker

4.2.10.2. Implementasi Fungsi Pembaruan State Batasan Struktural

Fungsi ini merupakan bagian dari implementasi Subbab 3.2.18 untuk memperbarui nilai *state* batasan struktural menggunakan *Kalman filter* untuk yang berasal dari pasangan objek terlacak. Untuk batasan struktural yang salah satu atau kedua objeknya gagal terlacak akan ditandai dengan flag *__is_tracked*. Implementasi terdapat pada Kode Sumber 4.31.

```

1 def update(
2     self,
3     sc: Optional[StructuralConstraint] = None,
4 ):
5     if sc:
6         self.__update_well_tracked(sc)
7     else:
8         self.__update_missing()
9
10    self.__set_state()
11
12 def __update_well_tracked(
13     self,
14     sc: StructuralConstraint,
15 ):
16     measurement = np.array(
17         [
18             sc.delta_x,
19             sc.delta_y
20         ]
21     )
22     self.kf.update(measurement)
23     self.__is_tracked = True
24
25 def __update_missing(self):
26     self.__is_tracked = False

```

Kode Sumber 4.31 Fungsi Pembaruan State Batasan Struktural

4.2.10.3. Implementasi Fungsi Prediksi State Batasan Struktural

Fungsi ini merupakan implementasi dari desain fungsi pada Subbab 3.2.20 yang menghitung prediksi nilai batasan struktural terkini sesuai *flag __is_tracked*. Implementasi terdapat pada Kode Sumber 4.32.

```

1 def predict(self):
2     if self.__is_tracked:
3         self.kf.predict()
4     else:
5         column_vector_x = self.kf.x.reshape(
6             (-1, 1)
7         )
8         self.kf.x = np.dot(
9             self.kf.F, column_vector_x
10        )
11     self.__set_state()
```

Kode Sumber 4.32 Fungsi Prediksi State Batasan Struktural

4.2.11. Implementasi Class Tracker

Class TRACKER merupakan *class* yang menjadi implementasi dari desain fungsi *object tracker* pada Subbab 3.2.2. *Class* ini mengimplementasikan alur data antara proses SCEA dan SCOR, pembaruan menggunakan OBJECTSTATETRACKER dan STRUCTURALCOSNRAINTTRACKER, eliminasi objek, dan pembuatan objek baru dari deteksi. *Class* ini memiliki beberapa variabel *instance* yang dijelaskan pada Tabel 4.9. Implementasi terdapat pada Kode Sumber 4.33a, 4.33b dan 4.33c.

Tabel 4.9 Nama dan Penjelasan Variabel Instance dari Class TRACKER

Nama Variabel	Penjelasan
<code>__max_age</code>	batas lama objek menghilang
<code>__scea_config</code>	parameter untuk SCEA
<code>__scor_config</code>	parameter untuk SCOR
<code>object_states</code>	<i>array</i> semua objek
<code>structural_constraints</code>	<i>array</i> semua batasan struktural
<code>__object_trackers</code>	<i>array</i> semua <i>tracker</i> objek
<code>__sc_trackers</code>	<i>array</i> semua <i>tracker</i> batasan struktural
<code>__well_tracked_indexes</code>	<i>array</i> indeks objek terlacak
<code>__missing_indexes</code>	<i>array</i> indeks objek menghilang
<code>__last_updates</code>	<i>array</i> ID <i>frame</i> terakhir objek terlacak
<code>__unassigned_detections</code>	<i>sliding window</i> untuk inisialisasi objek baru
<code>__first</code>	<i>flag</i> untuk inisialisasi saat <i>update</i>
<code>__hit_streak</code>	menyimpan <i>counter</i> objek terlacak secara beruntun
<code>__frame_count</code>	menyimpan ID <i>frame</i> terkini
<code>__min_streak</code>	batas minimal terlacak secara beruntun

```

1 class Tracker:
2     def __init__(  

3         self,  

4         max_age: int,  

5         min_streak: int,  

6         scea_config: sceा.ConfigSCEA,  

7         scor_config: scor.ConfigSCOR,): ...

```

Kode Sumber 4.33a Class TRACKER (1)

```
9     def update(
10         self,
11         detections: List[DetectionState],
12         current_frame_step: int,
13     ): ...
14     def __update_first_time(
15         self,
16         detections: List[DetectionState],
17         current_frame_step: int,
18     ): ...
19     def __update_routine(
20         self,
21         detections: List[DetectionState],
22         current_frame_step: int,
23     ): ...
24     def __process_scea(
25         self, detections: List[DetectionState]
26     ) -> Tuple[List[int], List[int], List[int]]:
27     ...
28     def __process_scor(
29         self,
30         unassigned_detection_index: List[int],
31         detections: List[DetectionState],
32     ) -> Tuple[List[int], List[int], List[int]]:
33     ...
34     def __update_object_from_assigned_detection(
35         self,
36         detections: List[DetectionState],
37         tracked_object_indexes: List[int],
38         assigned_detection_indexes: List[int],
39     ): ...
40     def __update_object_trackers(
41         self,
42         tracked_object_indexes: List[int],
43         assigned_detection_indexes: List[int],
44         detections: List[DetectionState],
45     ): ...
```

Kode Sumber 4.33b Class TRACKER (2)

```

46     def __update_sc_trackers(
47         self,
48         tracked_object_indexes: List[int],
49         assigned_detection_indexes: List[int],
50         detections: List[DetectionState],
51     ): ...
52     def __predict_object_trackers(self): ...
53     def __predict_sc_trackers(self): ...
54     def __update_last_updates(
55         self, current_frame_step: int
56     ): ...
57     def __remove_missing_objects(
58         self, current_frame_step: int
59     ): ...
60     def __select_detections(
61         self,
62         unassigned_detections: List[
63             DetectionState
64         ],
65     ) -> List[DetectionState]: ...
66     def __create_new_well_tracked_objects(
67         self,
68         unassigned_detections: List[
69             DetectionState
70         ],
71         current_frame_step: int,
72     ): ...

```

Kode Sumber 4.33c *Class TRACKER (3)*

4.2.11.1. Implementasi Fungsi Constructor Tracker

Fungsi ini berguna untuk membuat *instance* TRACKER baru. Dalam fungsi ini juga dilakukan inisialisasi untuk beberapa variabel *instance*. Implementasi terdapat pada Kode Sumber 4.34.

```
1 def __init__(  
2     self,  
3     max_age: int,  
4     min_streak: int,  
5     sceas_config: sceas.ConfigSCEA,  
6     scor_config: scor.ConfigSCOR,  
7 ):  
8     self.__max_age = max_age  
9     self.__sceas_config = sceas_config  
10    self.__scor_config = scor_config  
11    self.__object_states: List[  
12        ObjectState  
13    ] = []  
14    self.__structural_constraints: List[  
15        List[StructuralConstraint]  
16    ] = [[]]  
17    self.__object_trackers: List[  
18        ObjectStateTracker  
19    ] = []  
20    self.__sc_trackers: List[  
21        List[StructuralConstraintTracker]  
22    ] = []  
23    self.__well_tracked_indexes: List[  
24        int  
25    ] = []  
26    self.__missing_indexes: List[int] = []  
27    self.__last_updates: List[int] = []  
28    self.__unassigned_detections: List[  
29        List[DetectionState]  
30    ] = [[]]  
31    self.__first = True  
32    self.__hit_streak: List[int] = []  
33    self.__frame_count = 0  
34    self.__min_streak = min_streak
```

Kode Sumber 4.34 Fungsi Constructor Tracker

4.2.11.2. Implementasi Fungsi Pemroses SCEA

Fungsi ini merupakan bagian dari implementasi desain fungsi pada Subbab 3.2.3 yang mengintegrasikan proses SCEA dengan class TRACKER. Dalam fungsi ini dilakukan persiapan masukan SCEA, pengolahan hasil matriks asosiasi, pembaruan sementara S_w untuk digunakan di SCOR, dan pembaruan nilai indeks untuk objek terlacak dan menghilang dari hasil SCEA. Implementasi terdapat pada Kode Sumber 4.35a, 4.35b, dan 4.35c.

```

1 def __process_scea(
2     self, detections: List[DetectionState]
3 ) -> Tuple[List[int], List[int], List[int]]:
4     if len(self.__well_tracked_indexes) == 0:
5         return (np.array([]), np.array([]),
6                 np.arange(len(detections)))
7     object_states = self.__object_states[
8         self.__well_tracked_indexes
9     ]
10    structural_constraints =
11        self.__structural_constraints[
12            self.__well_tracked_indexes, :
13    ]
14    structural_constraints =
15        structural_constraints[
16            :, self.__well_tracked_indexes
17        ]
18    assignment_matrix = scea.best_assignment(
19        object_states=object_states,
20        detection_states=detections,
21        structural_constraints=
22            structural_constraints,
23        default_cost_d0=
24            self.__scea_config.default_cost_d0,
25        gating_threshold=
26            self.__scea_config.gating_threshold,
27        num_cluster_member=
28            self.__scea_config.num_cluster_member,
29    )

```

Kode Sumber 4.35a Fungsi Pemroses SCEA (1)

```
24      (
25          tracked_object_indexes,
26          assigned_detection_indexes,
27      ) = np.where(assignment_matrix == 1)
28
29      self.__update_object_from_assigned_detection(
30          detections=detections,
31          tracked_object_indexes=
32              tracked_object_indexes,
33          assigned_detection_indexes=
34              assigned_detection_indexes,
35      )
36      actual_tracked_object_index =
37          self.__well_tracked_indexes[
38              tracked_object_indexes
39          ]
40
41      unassigned_detections_index =
42          sceea.get_missing_detections(
43              assignment_matrix
44          )
45      relative_missing_objects_index =
46          sceea.get_missing_objects(
47              assignment_matrix
48          )
49      missing_object_index =
50          self.__well_tracked_indexes[
51              relative_missing_objects_index
52          ]
53
54      # update index well-tracked object
55      self.__missing_indexes = np.concatenate(
56          (
57              self.__missing_indexes,
58              missing_object_index,
59          )
60      )
```

```

55     self.__missing_indexes =
56         self.__missing_indexes.astype(
57             "int32"
58     )
59     self.__well_tracked_indexes = (
60         actual_tracked_object_index
61     )
62     return (
63         actual_tracked_object_index,
64         assigned_detection_indexes,
65         unassigned_detections_index,
66     )

```

Kode Sumber 4.35c Fungsi Pemroses SCEA (3)

4.2.11.3. Implementasi Fungsi Pemroses SCOR

Fungsi ini merupakan bagian dari implementasi desain fungsi pada Subbab 3.2.12 yang mengintegrasikan proses SCOR dengan *class* TRACKER. Dalam fungsi ini dilakukan persiapan masukan SCOR, pengolahan hasil matriks asosiasi, dan pembaruan nilai indeks untuk objek terlacak dan menghilang dari hasil SCOR. Implementasi terdapat pada Kode Sumber 4.36a, 4.36b, dan 4.36c.

```

1 def __process_scor(
2     self,
3     unassigned_detection_index: List[int],
4     detections: List[DetectionState],
5 ) -> Tuple[List[int], List[int], List[int]]:
6     if (
7         len(self.__missing_indexes) == 0
8         or len(self.__well_tracked_indexes)
9         == 0
10        or len(unassigned_detection_index)
11        == 0
12    ):

```

Kode Sumber 4.36a Fungsi Pemroses SCOR (1)

```
13         return (
14             np.array([]),
15             np.array([]),
16             unassigned_detection_index,
17         )
18     unassigned_detections = detections[
19         unassigned_detection_index
20     ]
21     missing_objects = self.__object_states[
22         self.__missing_indexes
23     ]
24     updated_objects = self.__object_states[
25         self.__well_tracked_indexes
26     ]
27     assignment_matrix = scor.best_assignment(
28         missing_objects=missing_objects,
29         unassigned_detections=
30             unassigned_detections,
31         updated_objects=updated_objects,
32         default_cost_d0=
33             self.__scor_config.default_cost_d0,
34     )
35     (
36         tracked_object_indexes,
37         relative_assigned_detection_indexes,
38     ) = np.where(assignment_matrix == 1)
39     assigned_detection_indexes =
40         unassigned_detection_index[
41             relative_assigned_detection_indexes
42         ]
43     actual_tracked_object_index =
44         self.__missing_indexes[
45             tracked_object_indexes
46         ]
```

Kode Sumber 4.36b Fungsi Pemroses SCOR (2)

```
44     relative_unassigned_detections_index =
45         scea.get_missing_detections(
46             assignment_matrix
47         )
48     unassigned_detection_index =
49         unassigned_detection_index[
50             relative_unassigned_detections_index
51         ]
52     relative_missing_objects_index =
53         scea.get_missing_objects(
54             assignment_matrix
55         )
56     missing_object_index = self.__missing_indexes[
57         relative_missing_objects_index
58     ]
59     # update index well-tracked object
60     self.__well_tracked_indexes = np.concatenate(
61         (
62             self.__well_tracked_indexes,
63             actual_tracked_object_index,
64         )
65     )
66     self.__well_tracked_indexes =
67         self.__well_tracked_indexes.astype(
68             "int32"
69     )
70     self.__missing_indexes = (
71         missing_object_index
72     )
73
74     return (
75         actual_tracked_object_index,
76         assigned_detection_indexes,
77         unassigned_detection_index,
```

Kode Sumber 4.36c Fungsi Pemroses SCOR (3)

4.2.11.4. Implementasi Fungsi Update Objek Terlacak dengan Deteksi

Fungsi ini merupakan bagian dari implementasi desain fungsi pada Subbab 3.2.3 yang memperbarui objek terlacak dengan deteksinya pada akhir proses SCEA. Implementasi terdapat pada Kode Sumber 4.37.

```

1 def __update_object_from_assigned_detection(
2     self,
3     detections: List[DetectionState],
4     tracked_object_indexes: List[int],
5     assigned_detection_indexes: List[int],
6 ):
7     object_states = self.__object_states[
8         self.__well_tracked_indexes
9     ]
10    for object_idx, detection_idx in zip(
11        tracked_object_indexes,
12        assigned_detection_indexes,
13    ):
14        detection_state = detections[
15            detection_idx
16        ]
17        object_state = object_states[
18            object_idx
19        ]
20        object_state.update_from_detection(
21            detection_state
22        )

```

Kode Sumber 4.37 Fungsi Update Objek Terlacak dengan Deteksi

4.2.11.5. Implementasi Fungsi Update ObjectTracker

Fungsi ini merupakan bagian dari implementasi desain fungsi pada Subbab 3.2.17. Dalam fungsi ini dilakukan pembaruan pada *tracker* dan nilai *state* objek sesuai hasil *Kalman filter*. Implementasi terdapat pada Kode Sumber 4.38.

```

1 def __update_object_trackers(
2     self,
3     tracked_object_indexes: List[int],
4     assigned_detection_indexes: List[int],
5     detections: List[DetectionState]
6 ):
7     for object_index, detection_index in zip(
8         tracked_object_indexes,
9         assigned_detection_indexes,
10    ):
11         detection = detections[
12             detection_index
13         ]
14         tracker = self.__object_trackers[
15             object_index
16         ]
17         tracker.update(detection)
18         object_state = self.__object_states[
19             object_index
20         ]
21         object_state.update_from_object_state(
22             tracker.state
23         )

```

Kode Sumber 4.38 Fungsi Update ObjectTracker

4.2.11.6. Implementasi Fungsi Update StructuralConstraint-Tracker

Fungsi ini merupakan bagian dari implementasi desain fungsi pada Subbab 3.2.18. Dalam fungsi ini dilakukan pembaruan batasan struktural menggunakan *Kalman filter*. Implementasi terdapat pada Kode Sumber 4.39a dan 4.39b.

```

1 def __update_sc_trackers(
2     self, tracked_object_indexes: List[int],
3     assigned_detection_indexes: List[int],
4     detections: List[DetectionState],
5 ):
6     objects_from_detections = [
7         ObjectState.from_detection(
8             detections[i]
9         )
10    for i in assigned_detection_indexes
11 ]
12 for i, object_index_i in enumerate(
13     tracked_object_indexes
14 ):
15    for j, object_index_j in enumerate(
16        tracked_object_indexes
17    ):
18        if i == j:
19            continue
20        object_i = objects_from_detections[i]
21        object_j = objects_from_detections[j]
22        sc = StructuralConstraint.create(
23            object_i, object_j
24        )
25        tracker = self.__sc_trackers[
26            object_index_i
27        ][object_index_j]
28        tracker.update(sc)
29        saved_sc =
30            self.__structural_constraints[
31                object_index_i
32            ][object_index_j]
33        saved_sc.update_from_sc(
34            tracker.state
35        )

```

Kode Sumber 4.39a Fungsi Update StructuralConstraintTracker (1)

```

35      # update one or both missing
36      mask = np.ix_(
37          tracked_object_indexes,
38          tracked_object_indexes,
39      )
40      bool_mask = np.ones_like(
41          self.__sc_trackers, dtype="bool")
42      bool_mask[mask] = 0
43      missing_sc_trackers = self.__sc_trackers[
44          bool_mask]
45      missing_sc = self.__structural_constraints[
46          bool_mask]
47
48      for tracker, sc in zip(
49          missing_sc_trackers, missing_sc
50      ):
51          if tracker:
52              tracker.update()
53              sc.update_from_sc(tracker.state)

```

Kode Sumber 4.39b Fungsi Update StructuralConstraintTracker
(2)

4.2.11.7. Implementasi Fungsi Update Counter Frame Terakhir Terlacak dan Terlacak Beruntun

Fungsi ini merupakan bagian dari implementasi desain fungsi pada Subbab 3.2.21 dan 3.2.23 yang memperbarui nilai *counter frame* terakhir terlacak untuk objek yang berhasil dilacak dan *counter* terlacak secara beruntun. Implementasi terdapat pada Kode Sumber 4.40.

```

1 def __update_last_updates(
2     self, current_frame_step: int
3 ):
4     self.__last_updates[
5         self.__well_tracked_indexes
6     ] = current_frame_step
7     self.__hit_streak[
8         self.__well_tracked_indexes
9     ] += 1
10    self.__hit_streak[
11        self.__missing_indexes
12    ] = 0

```

Kode Sumber 4.40 Fungsi Update Counter Frame Terakhir
Terlacak dan Terlacak Beruntun

4.2.11.8. Implementasi Fungsi Eliminasi Objek

Fungsi ini merupakan implementasi dari desain fungsi pada Subbab 3.2.21. Dari semua objek, dihitung selisih *frame* terakhir berhasil dilacak dengan *frame* sekarang dan indeks objek yang melebihi batas *max_age* ditandai dalam *mask*. Implementasi terdapat pada Kode Sumber 4.41a dan 4.41b.

```

1 def __remove_missing_objects(
2     self, current_frame_step: int
3 ):
4     diff = (
5         current_frame_step
6         - self.__last_updates
7     )
8     removed_index = np.where(
9         diff > self.__max_age
10    )[0].flatten()
11    if len(removed_index) == 0:
12        return

```

Kode Sumber 4.41a Fungsi Eliminasi Objek (1)

```
13     mask = np.ones(
14         self.__object_states.shape, bool
15     )
16     mask[removed_index] = 0
17     self.__object_states = self.__object_states[
18         mask
19     ]
20     self.__object_trackers =
21         self.__object_trackers[
22             mask
23         ]
24     self.__last_updates = self.__last_updates[
25         mask
26     ]
27     self.__hit_streak = self.__hit_streak[
28         mask
29     ]
30     self.__structural_constraints =
31         self.__structural_constraints[
32             mask, :
33         ]
32     self.__structural_constraints =
33         self.__structural_constraints[
34             :, mask
35         ]
35     self.__sc_trackers = self.__sc_trackers[
36         mask, :
37     ]
38     self.__sc_trackers = self.__sc_trackers[
39         :, mask
40     ]
41     self.__well_tracked_indexes = reset_index(
42         self.__well_tracked_indexes,
43         removed_index,
44     )
45     self.__missing_indexes = reset_index(
46         self.__missing_indexes, removed_index
47     )
```

Kode Sumber 4.41b Fungsi Eliminasi Objek (2)

4.2.11.9. Implementasi Fungsi Prediksi ObjectStateTracker

Fungsi ini merupakan bagian dari implementasi desain fungsi pada Subbab 3.2.19 yang memprediksi nilai objek dari hasil pembaruan sebelumnya. Implementasi terdapat pada Kode Sumber 4.42.

```

1 def __predict_object_trackers(self):
2     for (track, obj) in zip(
3         self.__object_trackers,
4         self.__object_states,
5     ):
6         track.predict()
7         obj.update_from_object_state(
8             track.state
9         )

```

Kode Sumber 4.42 Fungsi Prediksi ObjectStateTracker

4.2.11.10. Implementasi Fungsi Prediksi StructuralConstraint-Tracker

Fungsi ini merupakan bagian dari implementasi desain fungsi pada Subbab 3.2.20 yang memprediksi nilai batasan struktural dari hasil pembaruan sebelumnya. Implementasi terdapat pada Kode Sumber 4.43.

```

1 def __predict_sc_trackers(self):
2     for (track_row, sc_row) in zip(
3         self.__sc_trackers,
4         self.__structural_constraints,
5     ):
6         for (track, sc) in zip(
7             track_row, sc_row
8         ):
9             if track is None:
10                 continue
11             track.predict()
12             sc.update_from_sc(track.state)

```

Kode Sumber 4.43 Fungsi Prediksi StructuralConstraintTracker

4.2.11.11. Implementasi Fungsi Pembuatan Objek Metode I

Fungsi ini merupakan implementasi dari desain fungsi pada Subbab 3.2.22 untuk metode I. Dalam fungsi ini, objek baru dibuat berdasarkan deteksi yang belum diasosiasikan. Dibuat juga *tracker* untuk objek dan batasan struktural baru. Implementasi terdapat pada Kode Sumber 4.44a dan 4.44b.

```

1 def __create_new_well_tracked_objects(
2     self,
3     unassigned_detections: List[
4         DetectionState
5     ],
6     current_frame_step: int,
7 ):
8     selected_detections = (
9         unassigned_detections)
10    n_new_objects = len(selected_detections)
11    if n_new_objects == 0:
12        return
13    new_object_states = [
14        ObjectState.from_detection(detection)
15        for detection in selected_detections
16    ]
17    new_object_trackers = [
18        ObjectStateTracker(object_state)
19        for object_state in new_object_states
20    ]
21    new_object_index = np.arange(
22        n_new_objects
23    ) + len(self.__object_states)
24    self.__well_tracked_indexes = np.concatenate(
25        (self.__well_tracked_indexes,
26         new_object_index))
27    new_last_update = [
28        current_frame_step] * n_new_objects
29    self.__last_updates = np.concatenate(
30        (self.__last_updates, new_last_update))

```

Kode Sumber 4.44a Fungsi Pembuatan Objek Metode I (1)

```

31     new_hit_streak = [1] * n_new_objects
32     self.__hit_streak =
33         np.concatenate((self.__hit_streak,
34                         new_hit_streak)).astype(int)
35
36     sc_new = create_sc(
37         self.__object_states,
38         new_object_states,
39         self.__structural_constraints,
40     )
41     sc_tracker_new = create_sc_tracker(sc_new)
42
43     self.__structural_constraints = sc_new
44     self.__sc_trackers = sc_tracker_new
45
46     self.__object_states = np.concatenate(
47         (self.__object_states,
48          new_object_states))
49     self.__object_trackers = np.concatenate(
50         (self.__object_trackers,
51          new_object_trackers))

```

Kode Sumber 4.44b Fungsi Pembuatan Objek Metode I (2)

4.2.11.12. Implementasi Fungsi Pembuatan Objek Metode II

Fungsi ini merupakan implementasi dari desain fungsi pada Subbab 3.2.22 untuk metode II yang menggunakan *sliding window*. Dari *sliding window* di variabel *__unassigned_detections* dihitung IoU kemudian dicari pasangannya dengan *linear sum assignment*. Implementasi terdapat pada Kode Sumber 4.45a dan 4.45b.

```

1 ...
2 time_window = len(self.__unassigned_detections)
3 if time_window < 2:
4     return selected_detections
5
6 iou_scores = []

```

Kode Sumber 4.45a Fungsi Pembuatan Objek Metode II (1)

```

7 for (
8     old_detection
9 ) in self.__unassigned_detections[0]:
10    row = []
11    for (
12        new_detection
13    ) in self.__unassigned_detections[1]:
14        bb_old = state_to_bb(old_detection)
15        bb_new = state_to_bb(new_detection)
16        iou_score = iou(bb_old, bb_new)
17        row.append(iou_score)
18    iou_scores.append(row)
19
20 iou_scores = np.array(iou_scores)
21
22 min_iou = 0.5
23 olds, news = linear_sum_assignment(
24     -iou_scores)
25
26 selected_index = []
27 for old_index, new_index in zip(
28     olds, news
29 ):
30     if (
31         iou_scores[old_index][new_index]
32         < min_iou
33     ):
34         continue
35     selected_index.append(new_index)
36 selected_detections = unassigned_detections[
37     selected_index].tolist()
38 ...

```

Kode Sumber 4.45b Fungsi Pembuatan Objek Metode II (2)

4.2.11.13. Implementasi Fungsi Update Tracker

Fungsi ini merupakan implementasi dari desain fungsi pada Subbab 3.2.2 yang menjalankan alur *object tracking* seca-

ra keseluruhan dari proses SCEA, SCOR, hingga seleksi dengan *min_streak*. Fungsi ini yang menjadi antarmuka antara program MAIN dengan program *object tracking*. Implementasi terdapat pada Kode Sumber 4.46a, 4.46b, 4.46c, 4.46d, 4.46e, dan 4.46f.

```

1 def update(
2     self,
3     detections: List[DetectionState],
4     current_frame_step: int,
5 ):
6     if not isinstance(detections, np.ndarray):
7         detections = np.array(detections)
8     self.__frame_count += 1
9     if self.__first:
10         return self.__update_first_time(
11             detections, current_frame_step
12         )
13     return self.__update_routine(
14         detections, current_frame_step
15     )
16
17 def __update_first_time(
18     self,
19     detections: List[DetectionState],
20     current_frame_step: int,
21 ):
22     self.__object_states = np.array(
23         [
24             ObjectState.from_detection(
25                 detection
26             )
27             for detection in detections
28         ],
29         dtype=object,
30     )
31     self.__object_trackers = np.array(
32         [
33             ObjectStateTracker(object_state)

```

Kode Sumber 4.46a Fungsi Update Tracker (1)

```

34             for object_state in
35                 self.__object_states
36             ],
37             dtype=object,
38         )
39     structural_constraints =
40         calculate_structural_constraint(
41             self.__object_states
42         )
43     if structural_constraints == []:
44         self.__structural_constraints = np.array(
45             [[]], dtype=object
46         )
47     else:
48         self.__structural_constraints = np.array(
49             structural_constraints,
50             dtype=object,
51         )
52     sc_trackers = [
53         [
54             None
55             for _ in range(
56                 len(self.__object_states)
57             )
58         ]
59         for _ in range(
60             len(self.__object_states)
61         )
62     ]
63     for i, row in enumerate(
64         self.__structural_constraints
65     ):
66         for (
67             j,
68             structural_constraint,
69         ) in enumerate(row):
70             if i == j:

```

```
70         continue
71         sc_trackers[i][
72             j
73         ] = StructuralConstraintTracker(
74             structural_constraint
75         )
76     if structural_constraints == []:
77         self.__sc_trackers = np.array(
78             [[]], dtype=object
79         )
80     else:
81         self.__sc_trackers = np.array(
82             sc_trackers, dtype=object
83         )
84
85     self.__well_tracked_indexes = np.arange(
86         len(self.__object_states), dtype=int
87     )
88     self.__missing_indexes = np.array(
89         [], dtype=int
90     )
91     self.__last_updates = np.array(
92         [current_frame_step]
93         * len(detections),
94         dtype=int,
95     )
96     self.__hit_streak = np.array(
97         [1] * len(detections), dtype=int
98     )
99     self.__first = False
100    return self.__object_trackers
101
102 def __update_routine(
103     self,
104     detections: List[DetectionState],
105     current_frame_step: int,
106 ):
107     self.__predict_object_trackers()
```

Kode Sumber 4.46c Fungsi Update Tracker (3)

```
108     self.__predict_sc_trackers()
109     if len(detections) == 0:
110         self.__missing_indexes = np.concatenate(
111             (
112                 self.__missing_indexes,
113                 self.__well_tracked_indexes,
114             )
115         )
116         self.__well_tracked_indexes = np.array(
117             [], dtype=int
118         )
119         self.__update_last_updates(
120             current_frame_step=current_frame_step
121         )
122         self.__remove_missing_objects(
123             current_frame_step=current_frame_step
124         )
125     return
126     (
127         sce_a_tracked_object_index,
128         sce_a_assigned_detection_index,
129         sce_a_unassigned_detections_index,
130     ) = self.__process_scea(detections)
131
132     (
133         scor_tracked_object_index,
134         scor_assigned_detection_index,
135         scor_unassigned_detections_index,
136     ) = self.__process_scor(
137         sce_a_unassigned_detections_index,
138         detections,
139     )
140
141     tracked_object_indexes = np.concatenate(
142         (
143             sce_a_tracked_object_index,
144             scor_tracked_object_index,
145         )).astype(int)
```

Kode Sumber 4.46d Fungsi Update Tracker (4)

```
146     assigned_detection_indexes = np.concatenate(
147         (
148             sceas_assigned_detection_index,
149             scor_assigned_detection_index,
150         )
151     ).astype(
152         int
153     )
154
155     self.__update_object_trackers(
156         tracked_object_indexes=
157             tracked_object_indexes,
158         assigned_detection_indexes=
159             assigned_detection_indexes,
160         detections=detections,
161     )
162
163     self.__update_sc_trackers(
164         tracked_object_indexes=
165             tracked_object_indexes,
166         assigned_detection_indexes=
167             assigned_detection_indexes,
168         detections=detections,
169     )
170
171     self.__update_last_updates(
172         current_frame_step=current_frame_step
173     )
174     self.__remove_missing_objects(
175         current_frame_step=current_frame_step
176     )
177
178     if len(self.__unassigned_detections):
179         if len(
180             self.__unassigned_detections[0]
181         ):
182             last_saved =
183                 self.__unassigned_detections[
```

Kode Sumber 4.46e Fungsi Update Tracker (5)

```

179          0
180          ] [
181          0
182          ].frame_step
183          if (
184              current_frame_step
185              - last_saved
186              > 1
187          ):
188              del self.__unassigned_detections[
189              0
190          ]
191          self.__unassigned_detections =
192          self.__unassigned_detections[
193          -1:
194          ]
195          self.__create_new_well_tracked_objects(
196              detections[
197                  scor_unassigned_detections_index
198                  ],
199              current_frame_step=current_frame_step,
200          )
201          mask = (
202              self.__last_updates
203              == current_frame_step
204          ) & (
205              (self.__hit_streak >= self.__min_streak)
206              | (self.__frame_count <=
207                  self.__min_streak)
208          )
209          return self.__object_trackers[mask]

```

Kode Sumber 4.46f Fungsi Update Tracker (6)

4.2.12. Implementasi Fungsi Main

Fungsi MAIN merupakan implementasi dari desain fungsi pada Subbab 3.2.1 yang menjadi antarmuka dari penggunaan program

object tracking. Fungsi ini akan melakukan iterasi dari *frame* ke *frame* untuk mendapatkan semua data *bounding box* dan citra satu *frame*. Kemudian diubah menjadi *instance* DETECTIONSTATE dan menjadi masukan bagi fungsi UPDATE dari TRACKER. Setelah menjalankan *object tracking* dari satu *frame*, data *state* semua objek yang terlacak dicetak ke konsol untuk nantinya menjadi masukan untuk tahap pengujian. Implementasi terdapat pada Kode Sumber 4.47a, 4.47b, dan 4.47c.

```

1 def main(phase: str, sequence: str):
2     DATA_DIR = f"dataset/2DMOT2015/{phase}"
3     BASE_IMAGE_DIR = f"{DATA_DIR}/{sequence}/img1"
4     images = np.load(
5         f"{DATA_DIR}/{sequence}/img.npy",
6         mmap_mode="r",
7     )
8
9     if phase == "test":
10         gt_filename = (
11             f"{DATA_DIR}/{SEQUENCE}/det/det.csv"
12         )
13         min_conf = -1
14     else:
15         gt_filename = (
16             f"{DATA_DIR}/{SEQUENCE}/det/det.csv"
17         )
18         min_conf = -1
19
20     df = pd.read_csv(gt_filename)
21     df = df[df["conf"] >= min_conf]
22     MIN_FRAME = df["frame"].min()
23     MAX_FRAME = df["frame"].max()
24
25     config_scea = ConfigSCEA(
26         gating_threshold=0.7, default_cost_d0=1.0
27     )
28     config_scor = ConfigSCOR(default_cost_d0=1.0)

```

Kode Sumber 4.47a Fungsi MAIN (1)

```

29     tracker = Tracker(2, config_scea, config_scor)
30     BBOX_COL = [
31         "frame",
32         "left",
33         "top",
34         "width",
35         "height",
36     ]
37     position_col = [
38         "left",
39         "top",
40         "width",
41         "height",
42     ]
43     df[position_col] = df[position_col] + 1
44     for frame_step in range(
45         max(1, MIN_FRAME), MAX_FRAME + 1
46     ):
47         bboxes = df.loc[
48             df["frame"] == frame_step, BBOX_COL
49         ]
50         detections = []
51         image = images[frame_step - 1]
52         for num, detection in enumerate(
53             bboxes.itertuples()
54         ):
55             left = int(max(0, detection.left))
56             top = int(max(0, detection.top))
57             det = DetectionState.from_bbox(
58                 left=detection.left,
59                 top=detection.top,
60                 width=detection.width,
61                 height=detection.height,
62                 frame_step=detection.frame,
63                 full_image=image,
64                 n_bins=64,
65             )
66             detections.append(det)

```

```
67         tracker.update(detections, frame_step)
68     for (
69         obj_tracker
70     ) in tracker.well_tracked_objects:
71         state = obj_tracker.state
72         left = state.x - state.width / 2
73         top = state.y - state.height / 2
74         print(
75             f"{state.frame_step},"
76             f"{obj_tracker.id},"
77             f"{left:.3f},{top:.3f},"
78             f"{state.width:.3f},"
79             f"{state.height:.3f},"
80             "1,-1,-1,-1"
81         )
```

Kode Sumber 4.47c Fungsi MAIN (3)

[*Halaman ini sengaja dikosongkan*]

BAB V

UJI COBA DAN EVALUASI

Pada bab ini dijelaskan tentang uji coba dan evaluasi dari implementasi yang telah dilakukan pada tugas akhir ini.

5.1. Lingkungan Uji Coba

Uji coba dilakukan pada perangkat dengan spesifikasi sebagai berikut:

1. Perangkat Keras
 - (a) Prosesor Intel® Core™ i5-6200U CPU @ 2,3GHz (2 CPUs, 4 Threads)
 - (b) *Random Access Memory* 8192MB
2. Perangkat Lunak
 - (a) Sistem Operasi Windows 10 Home 64-bit
 - (b) Bahasa Pemrograman Python 3.6.4 64-bit
 - (c) Microsoft Visual C++ 2015 (14.0)

5.2. Dataset

Pada tugas akhir ini, data yang digunakan sebagai masukan sistem *object tracking* adalah data MOTChallenge 2015 dalam format 2D atau disebut juga 2DMOT15. 2DMOT15 adalah dataset yang berisikan *frame* dari video deteksi objek pejalan kaki dengan anotasi ID lintasan hasil *tracking*. Dalam dataset ini terdapat data latih dan data uji, dengan data latih dilengkapi dengan label anotasi ID lintasan sedangkan data uji tidak disediakan label anotasi ID. Label untuk data uji disimpan di *website* dataset [4] dan hanya diberikan akses untuk evaluasi hasil *tracking*.

Pada data latih 2DMOT15, terdapat 11 video dengan total

5503 *frame*. Data anotasi tiap video berupa berkas dengan ekstensi .txt dan nilai yang dipisahkan dengan koma. Data anotasi memiliki kolom seperti pada Tabel 5.1. Detail dataset latih dapat dilihat pada Tabel 5.2a dan 5.2b. Detail dataset uji dapat dilihat pada Tabel 5.3a dan 5.3b.

Tabel 5.1 Detail Data Anotasi

Kolom	Deskripsi
FrameID	Nomor urut <i>frame</i> , mulai dari 1
ID	Nomor unik untuk tiap <i>track</i>
Left	Posisi <i>bounding box</i> kiri atas di sumbu X 2D
Top	Posisi <i>bounding box</i> kiri atas di sumbu Y 2D
Width	Lebar <i>bounding box</i>
Height	Tinggi <i>bounding box</i>
Confidence	Probabilitas klasifikasi kelas pejalan kaki
X	Posisi <i>bounding box</i> sumbu X 3D
Y	Posisi <i>bounding box</i> sumbu Y 3D
Z	Posisi <i>bounding box</i> sumbu Z 3D

Tabel 5.2a Spesifikasi Data Latih dari 2DMOT15 (1)

Nama	FPS	Resolusi	Durasi (detik)	Track	Kamera
TUD-Stadtmitte	25	640x480	179	10	statis
TUD-Campus	25	640x480	71	8	statis
PETS09-S2L1	7	768x576	795	19	statis
ETH-Bahnhof	14	640x480	1000	171	gerak
ETH-Sunnyday	14	640x480	354	30	gerak
ETH-Pedcross2	14	640x480	840	133	gerak

Tabel 5.2b Spesifikasi Data Latih dari 2DMOT15 (2)

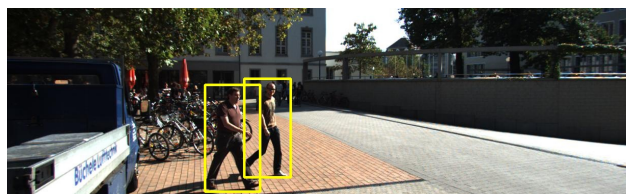
Nama	FPS	Resolusi	Durasi (detik)	Track	Kamera
ADL-Rundle-6	30	1920x1080	525	24	statis
ADL-Rundle-8	30	1920x1080	654	28	gerak
KITTI-13	10	1242x375	340	42	gerak
KITTI-17	10	1242x375	145	9	statis
Venice-2	30	1920x1080	600	26	statis

Tabel 5.3a Spesifikasi Data Uji dari 2DMOT15 (1)

Nama	FPS	Resolusi	Durasi (detik)	Track	Kamera
TUD-Crossing	25	640x480	201	13	statis
PETS09-S2L2	7	768x576	436	42	statis
ETH-Jelmoli	14	640x480	440	45	gerak
ETH-Linthescher	14	640x480	1194	197	gerak
ETH-Crossing	14	640x480	219	26	gerak
AVG-TownCentre	2,5	1920x1080	450	133	statis
ADL-Rundle-1	30	1920x1080	500	32	gerak
ADL-Rundle-3	30	1920x1080	625	44	statis
KITTI-16	10	1242x375	209	4217	statis

Tabel 5.3b Spesifikasi Data Uji dari 2DMOT15 (2)

Nama	FPS	Resolusi	Durasi (detik)	Track	Kamera
KITTI-19	10	1242x375	1059	62	gerak
Venice-1	30	1920x1080	450	17	statis



(a)



(b)

Gambar 5.1 Perbandingan *Bounding Box* pada Video KITTI-17
Frame ke-1: (a) data *gt* dan (b) data *det*

Data latih 2DMOT15 memiliki dua macam data anotasi yaitu *gt* (*ground truth*) dan *det* (*raw detection*). Pada data *gt*, ID lintasan dan nilai *bounding box* yang digunakan berasal dari data *ground truth* untuk *object detection*. Pada data *det*, tidak terdapat ID lintasan yang ditandai dengan nilai negatif satu dan nilai *bounding box* yang digunakan berasal dari detektor berbasis *aggregated channel features* (ACF) [17] yang memiliki skor *precision* 60,2% dan *recall*

52,1% pada data latih dan skor *precision* 59,5% dan *recall* 45,9% pada data uji. Pada Gambar 5.1, dapat dilihat pada data *gt* (Gambar 5.1a) terdapat 2 objek sedangkan pada data *det* (Gambar 5.1b) terdapat 3 objek dan *bounding box* tidak menutupi objek secara menyeluruh. Untuk data uji 2DMOT15 jenis *bounding box* yang ada adalah data *det* saja.

5.3. Skenario Uji Coba

Subbab ini akan menjelaskan desain pengujian program untuk mendapatkan parameter yang menghasilkan nilai uji paling optimal. Hasil terbaik dari suatu skenario uji coba akan digunakan untuk skenario uji coba berikutnya. Skenario uji yang dijalankan secara lokal diterapkan pada data latih 2DMOT15 dengan menjalankan program pada data *det* dan dievaluasi dengan data *gt*. Khusus untuk skenario uji luar dengan data uji akan dievaluasi melalui pengumpulan pada *website* MOTChallenge. Ada empat macam skenario uji lokal yang akan dijalankan yang terbagi menjadi dua jenis, yaitu skenario yang menjalankan sebagian komponen dari program dan skenario yang menjalankan program *object tracking* secara keseluruhan. Tambahan satu skenario uji luar menggunakan data uji yang dievaluasi melalui *website*. Skenario uji yang akan dilakukan adalah sebagai berikut:

1. Uji coba performa asosiasi data berdasarkan fungsi *cost* dan nilai *default_cost_d0*
2. Uji coba performa prediksi *Kalman filter* dengan modifikasi matriks
3. Uji coba metode inisialisasi objek baru
4. Uji coba batas minimal deteksi beruntun
5. Uji coba luar pada data uji

Parameter dasar yang digunakan terdapat pada Tabel 5.4 dan dapat berubah di setiap uji coba yang dilakukan. Pada setiap uji co-

ba akan ditetapkan nilai parameter yang memberikan hasil terbaik. Pada *toolkit* yang digunakan untuk menghitung metrik MOT, nilai batas minimal IoU yang digunakan untuk menentukan pasangan *ground truth* dengan hipotesis adalah 0,5.

Tabel 5.4 Parameter Dasar pada Sistem *Object Tracking*

Keterangan	Parameter
<i>n_bins histogram</i>	64
SCEA <i>num_cluster_member</i>	5
SCEA <i>gating_threshold</i>	0,7
Tracker <i>max_age</i>	2

5.3.1. Uji Coba Performa Asosiasi Data

Uji coba performa asosiasi data dilakukan untuk menguji ketepatan asosiasi data yang hanya dijalankan dalam proses SCEA dan SCOR yang menggunakan data *gt* pada data latih. Masukan S_w untuk SCEA akan diambil dari data deteksi pada *frame* $t - 1$ dan \mathcal{D} diambil dari data deteksi pada *frame* t . Kemudian S_m dan $\tilde{\mathcal{D}}$ diamambil dari objek dan deteksi yang belum diasosiasikan di SCEA untuk menjadi masukan proses SCOR. Sebelum mengolah data *frame* berikutnya, kecepatan objek diperbarui berdasarkan deteksi dengan ID yang sama pada *frame* saat ini untuk mempertahankan nilai batasan struktural.

Evaluasi dilakukan dengan membandingkan ketepatan hasil asosiasi berdasarkan ID. Pasangan asosiasi objek (*frame* $t - 1$) dengan deteksi (*frame* t) yang menjadi *ground truth* terdiri dari pasangan dengan ID yang sama, pasangan dengan ID objek kosong karena merupakan objek yang baru muncul, dan pasangan dengan ID deteksi kosong karena merupakan objek yang hilang pada *frame* tersebut.

Pengelompokan dalam evaluasi hasil asosiasi divisualisa-

sikan pada Tabel 5.5. Hasil prediksi asosiasi yang sesuai dengan *ground truth* akan dihitung sebagai *true positive* (TP) seperti baris pertama Tabel 5.5b dengan baris pertama Tabel 5.5a. Prediksi asosiasi yang tidak ada di *ground truth* dihitung sebagai *false positive* (FP) seperti beris kedua Tabel 5.5b. Asosiasi di *ground truth* yang gagal diprediksi dihitung sebagai *false negative* (FN) seperti baris kedua dan keenam Tabel 5.5a. Nilai *precision* dan *recall* dihitung untuk tiap video yang ada dalam data latih.

Tabel 5.5 Perbandingan Pasangan ID Hasil Asosiasi: (a) *Ground Truth* dan (b) Prediksi

(a)			(b)		
No	ID $t - 1$	ID t	No	ID $t - 1$	ID t
1	1	1	1	1	1
2	2	-	2	2	6
3	3	3	3	3	3
4	4	4	4	4	4
5	5	5	5	5	5
6	-	6			

Parameter SCEA dan SCOR seperti pada Tabel 5.4 dengan parameter asosiasi data yang divariasikan antara lain:

1. Fungsi $cost F_c$ dan F_r
2. Nilai $default_cost_d0$

Fungsi $cost F_r$ dan F_c yang digunakan ada dua macam, yaitu versi orisinal sesuai Persamaan 2.16 dan 2.21 dengan yang sudah dimodifikasi pada Subbab 3.2.10 dan 3.2.15.

Untuk nilai $default_cost_d0$ akan dicoba beberapa nilai yang besarnya disesuaikan dengan versi fungsi $cost$ yang digunakan. Nilai ini ditentukan dengan mengikuti besar nilai $cost$

yang dihasilkan untuk nilai IoU tertentu, sehingga dapat menjadi nilai ambang batas IoU untuk menjadi sebuah asosiasi yang valid. Nilai IoU yang dijadikan ambang batas adalah 0,0, 0,1, 0,2, dan 0,3. Pada fungsi *cost* orisinal nilai IoU tersebut dipetakan ke *default_cost_d0* dengan menghitung $-\log(IoU)$. Pada fungsi *cost* modifikasi nilai IoU dipetakan dengan menghitung $1 - IoU$. Pemetaan terdapat pada Tabel 5.6 dengan nilai pada fungsi orisinal mengalami pembulatan. Pengecualian pada nilai IoU 0,0 di fungsi orisinal menggunakan nilai log dari 0,03 karena log dari 0,0 tidak terdefinisi.

Tabel 5.6 Pemetaan Nilai IoU ke *default_case_d0* pada Fungsi *Cost* Orisinal dan Modifikasi

IoU	Orisinal	Modifikasi
0,0	3,5	1,0
0,1	2,3	0,9
0,2	1,6	0,8
0,3	1,2	0,7

Hasil uji coba terdapat pada Tabel 5.7. Nilai *precision* dan *recall* yang ditampilkan merupakan hasil rata-rata dari semua video dengan bobot berupa total asosiasi yang ada pada video tersebut. Hasil uji dengan detail tiap video dapat dilihat pada Lampiran A.

5.3.2. Uji Coba Prediksi Kalman Filter

Uji coba prediksi *Kalman filter* dilakukan untuk menguji performa *Kalman filter* yang diimplementasikan dalam melakukan prediksi *bounding box*. Uji coba ini dijalankan pada data latih *gt*. Ketepatan prediksi *Kalman filter* diperlukan agar dapat menghasilkan irisan *bounding box* yang lebih luas saat proses asosiasi data.

Pengujian dilakukan dengan menjalankan OBJECTSTATETRACKER pada tiap objek yang ada di semua

Tabel 5.7 Nilai *Weighted Precision* dan *Recall* pada Uji Asosiasi Data

Fungsi Cost	IoU	Weighted Precision ↑	Weighted Recall ↑
Orisinal	0,3	99,373	99,503
Orisinal	0,2	99,414	99,505
Orisinal	0,1	99,440	99,493
Orisinal	0,0	99,435	99,446
Modifikasi	0,3	99,348	99,522
Modifikasi	0,2	99,453	99,574
Modifikasi	0,1	99,511	99,602
Modifikasi	0,0	99,581	99,624

video. Proses *tracking* dijalankan dari *frame* awal munculnya objek hingga *frame* terakhir objek muncul. Ketepatan prediksi diukur dari skor *Root Mean Square Error* (RMSE) hasil prediksi *bounding box* pada *frame* t berdasarkan proses *update* yang dijalankan pada *frame* $t - 1$ dibandingkan dengan *bounding box ground truth* pada *frame* t .

Matriks F , R , dan H yang digunakan dalam *Kalman filter* sesuai dengan desain pada Subbab 3.2.17. Variasi diterapkan pada matriks Q yang menggunakan versi orisinal dari Persamaan 2.24 dan hasil modifikasi pada Subbab 3.2.17.

Tabel 5.8 Nilai Rata-Rata RMSE per Komponen Pengukuran pada *Kalman Filter* untuk Objek

Matriks	$RMSE_x \downarrow$	$RMSE_y \downarrow$	$RMSE_w \downarrow$	$RMSE_h \downarrow$
Orisinal	40,900	20,437	5,931	5,002
Modifikasi	4,209	2,396	5,931	5,002

Hasil uji coba terdapat pada Tabel 5.8. Nilai RMSE yang ditampilkan merupakan rata-rata nilai RMSE dari semua video pada data latih gt . $RMSE_x$ untuk komponen posisi di sumbu-x. $RMSE_y$ untuk komponen posisi di sumbu-y. $RMSE_w$ untuk komponen dimensi lebar. $RMSE_h$ untuk komponen dimensi tinggi. Hasil uji detail tiap video dapat dilihat pada Lampiran B.

5.3.3. Uji Coba Metode Inisialisasi Objek Baru

Uji coba metode inisialisasi objek baru dilakukan untuk menguji pengaruh metode inisialisasi objek baru terhadap nilai metrik *multi object tracking*. Uji coba dijalankan pada data latih det yang dievaluasi dengan data latih gt .

Pengujian dilakukan dengan menjalankan program *object tracking* pada data latih det . Hasil keluaran dalam format data annotasi 2DMOT15 dievaluasi dengan data latih gt menggunakan *toolkit* yang disediakan dari dataset. Metrik yang digunakan adalah *precision*, *recall*, *Multiple Object Tracking Accuracy* (MOTA), dan *Multiple Object Tracking Precision* (MOTP).

Parameter yang digunakan dalam program *object tracking* sesuai dengan Tabel 5.4. Parameter lain mengikuti parameter optimal sesuai hasil uji coba yang sudah dilakukan. Fungsi *cost* yang digunakan adalah versi modifikasi dengan nilai *default_cost_d0* sebesar 1,0. Untuk *Kalman filter* menggunakan matriks Q yang sudah dimodifikasi. Metode inisialisasi objek yang diujikan ada dua seperti pada Subbab 3.2.22, yaitu metode I dan metode II yang menggunakan *sliding window*.

Hasil uji coba metode inisialisasi objek baru terdapat pada Tabel 5.9. Nilai *precision*, *recall*, MOTA dan MOTP yang ditampilkan merupakan rata-rata dari semua data video. Hasil uji coba detail tiap video terdapat pada Lampiran C.

Tabel 5.9 Nilai Hasil Uji Metode Inisialisasi Objek Baru

Inisialisasi Objek	Precision ↑	Recall ↑	MOTA ↑	MOTP ↑
Metode I	57,7%	54,0%	6,0%	72,1%
Metode II	65,9%	47,8%	17,9%	72,3%

5.3.4. Uji Coba Batas Minimal Deteksi Beruntun

Uji coba batas minimal deteksi beruntun dilakukan untuk menguji pengaruh nilai batas minimal deteksi beruntun terhadap nilai metrik *multi object tracking*. Uji coba dijalankan pada data latih *det* yang dievaluasi dengan data latih *gt*.

Pengujian dilakukan dengan menjalankan program *object tracking* pada data latih *det*. Hasil keluaran dalam format data anotasi 2DMOT15 dievaluasi dengan data latih *gt* menggunakan *toolkit* yang disediakan dari dataset. Metrik yang digunakan adalah *precision*, *recall*, *Multiple Object Tracking Accuracy* (MOTA), dan *Multiple Object Tracking Precision* (MOTP).

Parameter yang digunakan dalam program *object tracking* sesuai dengan Tabel 5.4. Parameter lain mengikuti parameter optimal sesuai hasil uji coba yang sudah dilakukan. Fungsi *cost* yang digunakan adalah versi modifikasi dengan nilai *default_cost_d0* sebesar 1,0. Untuk *Kalman filter* menggunakan matriks *Q* yang sudah dimodifikasi. Inisialisasi objek baru menggunakan metode II. Parameter deteksi beruntun *min_streak* yang diujikan bernilai 2, 3, dan 4.

Hasil uji coba nilai batas minimal deteksi beruntun terdapat pada Tabel 5.10. Nilai *precision*, *recall*, MOTA dan MOTP yang ditampilkan merupakan rata-rata dari semua data video. Hasil uji yang detail untuk tiap video terdapat pada Lampiran D.

Tabel 5.10 Nilai Hasil Uji Coba Batas Minimal Deteksi Beruntun

Min Streak	Precision ↑	Recall ↑	MOTA ↑	MOTP ↑
2	70,4%	42,2%	20,4%	72,6%
3	73,1%	37,9%	20,7%	72,7%
4	75,0%	34,4%	20,3%	72,8%

5.3.5. Uji Coba Luar pada Data Uji

Uji coba luar menggunakan data uji dilakukan untuk menguji performa program *object tracking* yang dibuat pada data uji yang tidak diketahui *ground truth*-nya. Program *object tracking* dijalankan pada data uji dan keluarannya dikirim ke website MOTChallenge untuk dievaluasi.

Parameter yang digunakan dalam *object tracking* sesuai dengan Tabel 5.4 dengan parameter lain mengikuti parameter optimal dari uji coba yang telah dilakukan sebelumnya. Hasil evaluasi terdapat pada Tabel 5.11. Hasil uji yang lebih lengkap terdapat pada Lampiran E. Hasil pengumpulan pada website mendapatkan peringkat ke-79 dari 81 seperti terdapat pada Gambar 5.2.

Tabel 5.11 Nilai Hasil Uji Coba Luar pada Data Uji

Metrik	Nilai
FP	6595
FN	43804
Switch	1962
MOTA	14,78%
MOTP	72,14%
Recall	28,70%
Precision	72,78%

sc_tracker	14.8	± 8.5	18.5	± 6.0	72.1	11 (1.5)	440 (61.0)	6,595	43,804	28.7	72.8
79. O											
<small>H. Pirsiavash, D. Ramanan, C. Fowlkes, Globally-Optimal Gr</small>											
DP_NMS	14.5	± 15.2	19.7	± 8.5	70.8	43 (6.0)	294 (40.8)	13,171	34,814	43.3	66.9
80.											
Tracker	↑MOTA	IDF1	MOTP	MT	ML	FP	FN	Recall	Precision		

Gambar 5.2 Peringkat Hasil Program *Object Tracking* pada *Website MOTChallenge*

5.4. Hasil dan Analisis

Pada uji coba performa asosiasi data, dapat diketahui bahwa penggunaan fungsi $cost F_r$ dan F_c yang sudah dimodifikasi dengan nilai $default_cost_d0$ sebesar 1,0 dapat menghasilkan *precision* 99,581% dan *recall* 99,624% yang lebih besar dari kombinasi parameter lainnya. Hal ini dapat terjadi karena asosiasi objek dan deteksi yang nilai IoU-nya mendekati nol tidak langsung dikategorikan sebagai d_0 karena masih dapat terbantu dengan hasil *cost* pada objek *anchor* yang lain yang kemudian diagregasi.

Pada uji coba prediksi *Kalman filter*, diperoleh skor RMSE terbaik secara keseluruhan dari penggunaan matriks Q yang sudah dimodifikasi dengan nilai $RMSE_x$ 4,209 dan $RMSE_y$ 2,396 yang lebih kecil daripada nilai RMSE yang dihasilkan dari matriks Q original. Hal ini merupakan hasil dari perhitungan model pergerakan dan kovarians pada Subbab 3.2.17 yang menyesuaikan matriks kovarians Q dengan model pergerakan objek yang dibuat. Modifikasi yang dilakukan hanya pada matriks Q tanpa mengubah bagian lain dari [3] dapat mengurangi kesalahan prediksi tanpa memberikan kompleksitas tambahan karena perhitungannya tetap konstan atau $O(1)$.

Pada uji coba inisialisasi objek baru, diperoleh skor *precision*, MOTA, dan MOTP pada metode II lebih tinggi dengan nilai masing-masing sebesar 65,9%, 17,9%, dan 72,3%. Skor MOTA meningkat karena pada metode II sebuah deteksi baru akan diinisialisasi seba-

Tabel 5.12 Parameter Optimal untuk Sistem

Keterangan	Parameter Optimal
Fungsi <i>cost</i>	modifikasi
Nilai <i>default_cost_d0</i>	1,0
Matriks <i>Q Kalman filter</i>	modifikasi
Metode inisialisasi objek baru	metode II (dengan <i>sliding window</i>)
Nilai <i>min streak</i>	2

gai objek terlacak jika berhasil dipasangkan dua kali berturut-turut, sehingga dapat mengurangi kesalahan *tracking* akibat adanya deteksi *false positive* pada data latih *det.* Batas IoU sebesar 0,5 yang digunakan untuk menentukan pasangan dalam *sliding window* juga cukup selektif dalam memasangkan deteksi antar dua *frame*.

Pada uji coba batas minimal deteksi beruntun, tiga variasi parameter *min streak* yang digunakan menghasilkan keunggulan skor yang berbeda-beda. Pada *min streak* sebesar 4, skor *recall* yang didapat jauh lebih kecil daripada yang lain. Hal ini terjadi dikarenakan semakin tinggi nilai *min streak*, maka sistem *object tracking* akan semakin selektif dalam mengembalikan objek yang terlacak sehingga semakin banyak objek yang dianggap tidak terlacak dan menurunkan *recall*. Pada perbandingan *min streak* sebesar 2 dan 3, peningkatan *precision* pada *min streak* sebesar 3 lebih kecil dibandingkan peningkatan *recall* pada *min streak* sebesar 2, skor MOTA dan MOTP juga tidak berbeda jauh. Sehingga parameter *min streak* yang optimal adalah sebesar 2 dengan *precision* 70,4%, *recall* 42,2%, MOTA 20,4%, dan MOTP 72,6%.

Dari keempat uji coba untuk mendapatkan parameter optimal yang sudah dilakukan, ditetapkan parameter optimal pada sistem *object tracking* yang terdapat pada Tabel 5.12.

Berdasarkan nilai parameter SCEA *num_cluster_member*

Tabel 5.13 Perbandingan Rata-Rata Banyak Pasangan Asosiasi per *Frame* di Data Latih *gt*

Video	Kepadatan Objek	Tanpa Mask F_s	Dengan Mask F_s
ADL-Rundle-6	9,5	92,29	56,67
ADL-Rundle-8	10,4	109,39	67,56
ETH-Bahnhof	5,4	26,33	17,15
ETH-Pedcross2	7,5	44,90	21,11
ETH-Sunnyday	5,2	23,25	16,66
KITTI-13	2,2	6,18	4,06
KITTI-17	4,7	20,92	11,90
PETS09-S2L1	5,6	29,10	22,64
TUD-Campus	5,1	21,59	15,33
TUD-Stadtmitte	6,5	29,08	18,37
Venice-2	11,9	141,72	70,43

dan *gating_threshold* pada Tabel 5.4, dianalisis pengaruhnya terhadap reduksi ruang pencarian yang harus diproses oleh sistem. Pertama dari nilai *gating_threshold* yang digunakan dalam proses *gating*. Dalam proses *gating* ada dua *mask* yang digunakan untuk seleksi yaitu berdasarkan jarak titik pusat dibanding diagonal dan berdasarkan batas nilai *cost F_s* terhadap *gating_threshold*. Perbandingan rata-rata banyaknya pasangan asosiasi yang didapat terdapat pada Tabel 5.13. Dari tabel tersebut dapat dilihat bahwa seleksi berdasarkan batas nilai *cost F_s* terhadap *gating_threshold* sebesar 0,7 membantu mengurangi pasangan asosiasi objek dengan deteksi yang harus dievaluasi. Nilai *gating_threshold* berpengaruh terhadap banyaknya pasangan asosiasi yang berhasil diseleksi, jika terlalu banyak yang diseleksi maka pasangan yang seharusnya benar dapat terseleksi dan tidak dievaluasi.

Dianalisis juga pengaruh proses partisi menggunakan pa-

Tabel 5.14 Perbandingan Rata-Rata Banyak Kombinasi Asosiasi yang Dievaluasi pada Data Latih gt

Video	Kepadatan Objek	Tanpa Partisi	Dengan Partisi
ADL-Rundle-6	9,5	547051,72	939,22
ADL-Rundle-8	10,4	247233,63	221,48
ETH-Bahnhof	5,4	1160,57	52,72
ETH-Pedcross2	7,5	5932,70	140,07
ETH-Sunnyday	5,2	145,06	65,10
KITTI-13	2,2	6,02	6,02
KITTI-17	4,7	168,17	40,20
PETS09-S2L1	5,6	71,76	31,31
TUD-Campus	5,1	88,44	73,00
TUD-Stadtmitte	6,5	73,26	52,81
Venice-2	11,9	469931,56	302,97

parameter *num_cluster_member* sebesar lima terhadap kombinasi asosiasi yang harus dievaluasi yang terdapat pada Tabel 5.14. Pada tabel tersebut dapat dilihat bahwa proses partisi objek menjadi *cluster* dengan maksimal anggota sebanyak lima dapat mengurangi banyaknya kombinasi asosiasi yang harus dievaluasi secara signifikan terutama pada video dengan tingkat kepadatan objek yang tinggi. Nilai *num_cluster_member* yang semakin besar dapat menghasilkan partisi yang lebih sedikit dengan banyak kombinasi asosiasi yang meningkat.

Pada uji coba luar dengan menggunakan data uji, diperoleh nilai metrik yang lebih rendah dari hasil uji pada data latih *det* dan peringkat yang tidak bagus. Menurunnya performa ini juga sejalan dengan menurunnya performa antara uji asosiasi data yang menggunakan data latih *gt* dengan uji parameter keseluruhan sistem yang menggunakan data latih *det*. oleh karena itu, dilakukan analisis le-

Tabel 5.15 Perbandingan Banyak Data *Bounding Box* pada Data Latih *gt* dan *det*

Video	Banyak data <i>gt</i>	Banyak data <i>det</i>
ADL-Rundle-6	5009	4902
ADL-Rundle-8	6783	7114
ETH-Bahnhof	5415	6817
ETH-Pedcross2	6263	1438
ETH-Sunnyday	1858	1123
KITTI-13	762	1040
KITTI-17	683	552
PETS09-S2L1	4476	5578
TUD-Campus	359	322
TUD-Stadtmitte	1156	1129
Venice-2	7141	7313

bih lanjut mengenai penyebab menurunnya performa program *object tracking*.

Dari segi kualitas *bounding box* yang ada pada data *det*, terdapat perbedaan yang dapat berdampak negatif. Pertama, terdapat perbedaan banyaknya *bounding box* antara data latih *gt* dengan *det* seperti pada Tabel 5.15. Enam dari dua belas video memiliki data *gt* yang lebih banyak daripada data *det*, dengan selisih terbesar pada data video ETH-Pedcross2. Data *gt* yang lebih banyak daripada data *det* akan meningkatkan nilai FN pada hasil evaluasi karena semakin banyak objek pada *ground truth* yang tidak dapat dipasangkan sesuai cara kerja evaluasi MOT pada Subbab 2.7. Sedangkan pada data video lain yang data *det* lebih banyak daripada data *gt* dapat meningkatkan nilai FP karena semakin banyak hipotesis yang tidak mendapat pasangan objek di *ground truth*.

Seperti yang dapat dilihat pada Gambar 5.3, pada data *det* terdapat beberapa *frame* yang tidak memiliki data *bounding box*. Pada

data *gt*, terdapat baris data untuk *frame* 13 hingga 15, sedangkan pada data *det* tidak ada. Kosongnya data antara *frame* seperti ini dapat menyebabkan FN maupun *switch* karena objek di *ground truth* tidak mendapat pasangan hipotesis atau muncul hipotesis dengan ID yang baru akibat melebihi nilai parameter *max_age*.

Untuk mendapatkan analisis pengaruh algoritma yang diimplementasikan pada program *object tracking* terhadap hasil evaluasi, pemeriksaan hasil dilakukan pada keluaran program yang dijalankan pada data latih *gt*. Pada uji coba metode inisialisasi objek, dilihat dari detail pengujian pada Lampiran C, terdapat peningkatan FN yang menunjukkan semakin banyak objek *ground truth* yang gagal dilacak.

Dapat dilihat pada Gambar 5.4, ilustrasi *sliding window* dari video KITTI-13 pada data latih *gt*. Kotak berwarna hijau menandakan *bounding box* dari deteksi pada *frame* 71 sedangkan warna kuning untuk deteksi pada *frame* ke 72. Pada *frame* 71, deteksi yang tidak terasosiasi terdiri dari ID 8, 10, 11, dan 12. Sedangkan, pada *frame* 72, deteksi yang tidak terasosiasi terdiri dari ID 8, 9, 10, 11, dan 12. Dari hasil perhitungan IoU antar pasangan deteksi dari *frame* 71 dan 72, yang nilainya bukan nol terdapat pada Tabel 5.16. Diketahui bahwa semua deteksi dengan ID yang sama terhitung beririsan karena nilai IoU-nya lebih dari nol, tetapi dikarenakan batas IoU yang digunakan sebesar 0,5 maka deteksi-deteksi tersebut tidak diinisialisasi sebagai objek yang terlacak dan menyebabkan nilai FN meningkat.

Tabel 5.16 Daftar Nilai IoU dari Pasangan Deteksi pada *Frame* 71 dan 72

ID frame 71	ID frame 72	IoU
8	8	0,430
10	10	0,265
11	11	0,405
12	12	0,382

```

11,1,794,164,19.667,54.959,0,-1,-1,-1
12,0,773,160,23.128,59.487,1,-1,-1,-1
12,1,801,163,20.302,57.116,0,-1,-1,-1
13,0,779,160,25.333,61.888,1,-1,-1,-1
13,1,808,163,20.0,59.449,1,-1,-1,-1
13,2,201,165,18.0,57.389,0,-1,-1,-1
14,0,786,161,27.325,64.492,1,-1,-1,-1
14,1,817,163,21.524,61.983,1,-1,-1,-1
14,2,187,167,20.4,58.974,0,-1,-1,-1
15,0,793,162,28.0,67.324,1,-1,-1,-1
15,1,826,165,22.0,64.744,1,-1,-1,-1
15,2,172,168,22.333,60.648,1,-1,-1,-1
16,0,801,164,31.673,70.441,1,-1,-1,-1
16,1,836,166,25.478,67.762,1,-1,-1,-1
16,2,156,170,23.22,62.42,1,-1,-1,-1
17,0,809,165,33.667,73.861,1,-1,-1,-1

```

(a)

```

9,-1,17,99,39.966,90.691,13.437,-1,-1,-1
12,-1,710,148,30.821,69.941,12.326,-1,-1,-1
16,-1,801,171,28.33,64.287,76.165,-1,-1,-1
16,-1,831,171,28.33,64.287,51.771,-1,-1,-1
17,-1,844,175,28.33,64.287,47.844,-1,-1,-1

```

(b)

Gambar 5.3 Perbandingan Data pada Video KITTI-13 Frame ke-12 hingga 16: (a) data *gt* dan (b) data *det*



Gambar 5.4 Ilustrasi Sliding Window Deteksi yang Tidak Terasosiasi pada Video KITTI-13 *gt Frame 71 dan 72*

[*Halaman ini sengaja dikosongkan*]

BAB VI

KESIMPULAN DAN SARAN

Pada bab ini dijelaskan mengenai kesimpulan dari hasil uji coba yang telah dilakukan serta saran-saran tentang pengembangan yang dapat dilakukan terhadap tugas akhir ini di masa yang akan datang.

6.1. Kesimpulan

Berdasarkan penjabaran di bab-bab sebelumnya, dapat disimpulkan beberapa poin terkait implementasi sistem.

1. Konsep batasan struktural untuk mendapatkan posisi relatif objek dapat diimplementasikan dalam asosiasi data di sistem *object tracking*
2. Penyesuaian matriks dalam *Kalman filter* dengan pemodelan pergerakan objek dapat menghasilkan prediksi yang lebih akurat.
3. Masalah hasil deteksi *false positive* dapat diatasi dengan menerapkan skema seleksi dalam menginisialisasi deteksi menjadi objek memanfaatkan *sliding window* dan *linear assignment*.
4. Penggunaan nilai batas minimal IoU yang cukup besar pada perhitungan dalam *sliding window* dapat meningkatkan *false negative*.
5. Kualitas hasil dari detektor yang kurang baik berdampak buruk terhadap performa program *object tracking*.
6. Sistem *object tracking* yang memanfaatkan batasan struktural telah berhasil diimplementasikan dengan nilai MOTA terbaik sebesar 20,4% yang didapatkan dari penggunaan fungsi *cost* yang dimodifikasi, matriks *Q* *Kalman filter* yang disesuaikan, sistem *sliding window* untuk inisialisasi objek dan seleksi

berdasarkan terlacak secara beruntun dua *frame*.

6.2. Saran

Pada tugas akhir kali ini tentunya terdapat kekurangan serta nilai-nilai yang dapat penulis ambil. Berikut adalah saran-saran yang dapat digunakan untuk pengembangan di masa yang akan datang. Saran-saran ini didasarkan pada hasil desain, implementasi, dan uji coba yang telah dilakukan.

1. Sumber data *object detection* dari detektor yang lebih baik karena kualitas deteksi memengaruhi performa *object tracker*.
2. Desain fungsi *cost* lain untuk komponen dimensi dan penam-pilan objek yang bisa membantu menentukan asosiasi yang tepat antara objek dan deteksi.
3. Pemetaan nilai konstanta dan pengaruh positif-negatif terhadap performa sistem untuk kemudian dioptimasi dengan kompromi sebaik mungkin.
4. Implementasi sistem *sliding window* dengan ukuran yang lebih besar sehingga dapat melakukan seleksi deteksi *false positive* dengan lebih handal.
5. Pemodelan nilai *state* dalam *Kalman filter* untuk menggunakan komponen pengukuran yang lain seperti proporsi dimensi objek.

DAFTAR PUSTAKA

- [1] B. Yang dan R. Nevatia, “Multi-Target Tracking by Online Learning a CRF Model of Appearance and Motion Patterns”, *International Journal of Computer Vision*, vol 107, halaman 203–217, 2014. doi: 10.1007/s11263-013-0666-4.
- [2] W. Choi, “Near-Online Multi-target Tracking with Aggregated Local Flow Descriptor”, *CoRR*, vol abs/1504.02340, 2015. arXiv: 1504.02340.
- [3] J. H. Yoon, C.-R. Lee, M.-H. Yang, dan K.-J. Yoon, “Structural Constraint Data Association for Online Multi-object Tracking”, *International Journal of Computer Vision*, vol 127, halaman 1–21, 2019. doi: 10.1007/s11263-018-1087-1.
- [4] L. Leal-Taixé, A. Milan, I. D. Reid, S. Roth, dan K. Schindler, “MOTChallenge 2015: Towards a Benchmark for Multi-Target Tracking”, *CoRR*, vol abs/1504.01942, 2015. arXiv: 1504.01942.
- [5] R. Verschae dan J. Ruiz-del Solar, “Object Detection: Current and Future Directions”, *Frontiers in Robotics and AI*, vol 2, halaman 29, 2015, issn: 2296-9144. doi: 10.3389/frobt.2015.00029.
- [6] R. Szeliski, *Computer Vision*. Springer London, 2011. doi: 10.1007/978-1-84882-935-0.
- [7] R. Collins, *Introduction to Data Association*, 2012. [Online]. Available: <http://www.cse.psu.edu/~rtc12/CSE598C/>.
- [8] D. A. Forsyth dan J. Ponce, *Computer Vision - A Modern Approach, Second Edition*. Prentice Hall Professional Technical Reference, 2012, isbn: 0130851981.

- [9] W. Luo, J. Xing, A. Milan, X. Zhang, W. Liu, X. Zhao, dan T.-K. Kim, *Multiple Object Tracking: A Literature Review*, 2014. arXiv: 1409.7618 [cs.CV].
- [10] D. Arthur dan S. Vassilvitskii, “K-Means++: The Advantages of Careful Seeding”, dalam *Proceedings of the Eighteenth Annual ACM-SIAM Symposium on Discrete Algorithms*, USA: Society for Industrial dan Applied Mathematics, 2007, halaman 1027–1035, isbn: 9780898716245.
- [11] K. Bennett, P. Bradley, dan A. Demiriz, “Constrained K-Means Clustering”, Tech. Rep. MSR-TR-2000-65, May 2000, halaman 8.
- [12] G. Welch dan G. Bishop, “An Introduction to the Kalman Filter”, USA, Tech. Rep., 1995.
- [13] K. Bernardin dan R. Stiefelhagen, “Evaluating Multiple Object Tracking Performance: The CLEAR MOT Metrics”, *J. Image Video Process.*, vol 2008, Jan. 2008, issn: 1687-5176. doi: 10.1155/2008/246309.
- [14] R. Sadli, *Object Tracking: 2-D Object Tracking using Kalman Filter in Python*, 2020. [Online]. Available: <https://machinelearningspace.com/2d-object-tracking-using-kalman-filter/>.
- [15] C. Z. (<https://stackoverflow.com/users/2487184/ct-zhu>), *Using numpy to build an array of all combinations of two arrays*, Stack Overflow. [Online]. Available: <https://stackoverflow.com/revisions/35608701/1>.
- [16] D. (<https://stackoverflow.com/users/3293881/divakar>), *Removing rows with duplicates in a NumPy array*, Stack Overflow. [Online]. Available: <https://stackoverflow.com/revisions/45136720/2>.

- [17] P. Dollar, R. Appel, S. Belongie, dan P. Perona, “Fast Feature Pyramids for Object Detection”, *IEEE Trans. Pattern Anal. Mach. Intell.*, vol 36, no. 8, halaman 1532–1545, Aug. 2014.
doi: 10.1109/TPAMI.2014.2300479.

[*Halaman ini sengaja dikosongkan*]

LAMPIRAN A: Detail Hasil Uji Coba Performa Asosiasi Data

Tabel A.1 Hasil Uji Asosiasi dengan Fungsi *Cost* Orisinal dan *default_cost_d0 1,2*

Video	TP	FN	FP	Precision	Recall
ADL-Rundle-6	5020	0	0	100,00	100,00
ADL-Rundle-8	6796	0	0	100,00	100,00
ETH-Bahnhof	5660	38	32	99,44	99,33
ETH-Pedcross2	6368	18	20	99,69	99,72
ETH-Sunnyday	1882	4	6	99,68	99,79
KITTI-13	682	117	182	78,94	85,36
KITTI-17	674	14	15	97,82	97,97
PETS09-S2L1	4483	4	4	99,91	99,91
TUD-Campus	355	2	2	99,44	99,44
TUD-Stadtmitte	1153	0	0	100,00	100,00
Venice-2	7142	4	6	99,92	99,94

Tabel A.2 Hasil Uji Asosiasi dengan Fungsi *Cost* Orisinal dan *default_cost_d0 1,6*

Video	TP	FN	FP	Precision	Recall
ADL-Rundle-6	5020	0	0	100,00	100,00
ADL-Rundle-8	6796	0	0	100,00	100,00
ETH-Bahnhof	5655	43	36	99,37	99,25
ETH-Pedcross2	6364	22	23	99,64	99,66
ETH-Sunnyday	1877	9	11	99,42	99,52
KITTI-13	694	105	155	81,74	86,86
KITTI-17	675	13	13	98,11	98,11
PETS09-S2L1	4483	4	4	99,91	99,91
TUD-Campus	353	4	4	98,88	98,88
TUD-Stadtmitte	1153	0	0	100,00	100,00
Venice-2	7146	0	0	100,00	100,00

Tabel A.3 Hasil Uji Asosiasi dengan Fungsi *Cost* Orisinal dan *default_cost_d0 2,3*

Video	TP	FN	FP	Precision	Recall
ADL-Rundle-6	5020	0	0	100,00	100,00
ADL-Rundle-8	6796	0	0	100,00	100,00
ETH-Bahnhof	5636	62	49	99,14	98,91
ETH-Pedcross2	6364	22	23	99,64	99,66
ETH-Sunnyday	1877	9	11	99,42	99,52
KITTI-13	707	92	129	84,57	88,49
KITTI-17	676	12	12	98,26	98,26
PETS09-S2L1	4483	4	4	99,91	99,91
TUD-Campus	353	4	4	98,88	98,88
TUD-Stadtmitte	1153	0	0	100,00	100,00
Venice-2	7146	0	0	100,00	100,00

Tabel A.4 Hasil Uji Asosiasi dengan Fungsi *Cost* Orisinal dan *default_cost_d0 3,5*

Video	TP	FN	FP	Precision	Recall
ADL-Rundle-6	5020	0	0	100,00	100,00
ADL-Rundle-8	6796	0	0	100,00	100,00
ETH-Bahnhof	5610	88	72	98,73	98,46
ETH-Pedcross2	6347	39	41	99,36	99,39
ETH-Sunnyday	1868	18	20	98,94	99,05
KITTI-13	740	59	77	90,58	92,62
KITTI-17	676	12	12	98,26	98,26
PETS09-S2L1	4483	4	4	99,91	99,91
TUD-Campus	353	4	4	98,88	98,88
TUD-Stadtmitte	1153	0	0	100,00	100,00
Venice-2	7146	0	0	100,00	100,00

Tabel A.5 Hasil Uji Asosiasi dengan Fungsi *Cost* Modifikasi dan *default_cost_d0 1,0*

Video	TP	FN	FP	Precision	Recall
ADL-Rundle-6	5020	0	0	100,00	100,00
ADL-Rundle-8	6796	0	0	100,00	100,00
ETH-Bahnhof	5652	46	35	99,39	99,19
ETH-Pedcross2	6370	16	18	99,72	99,75
ETH-Sunnyday	1882	4	6	99,68	99,79
KITTI-13	731	68	93	88,71	91,49
KITTI-17	678	10	10	98,55	98,55
PETS09-S2L1	4487	0	0	100,00	100,00
TUD-Campus	353	4	4	98,88	98,88
TUD-Stadtmitte	1153	0	0	100,00	100,00
Venice-2	7142	4	6	99,92	99,94

Tabel A.6 Hasil Uji Asosiasi dengan Fungsi *Cost* Modifikasi dan *default_cost_d0 0,9*

Video	TP	FN	FP	Precision	Recall
ADL-Rundle-6	5020	0	0	100,00	100,00
ADL-Rundle-8	6796	0	0	100,00	100,00
ETH-Bahnhof	5663	35	29	99,49	99,39
ETH-Pedcross2	6370	16	18	99,72	99,75
ETH-Sunnyday	1882	4	6	99,68	99,79
KITTI-13	710	89	131	84,42	88,86
KITTI-17	677	11	12	98,26	98,40
PETS09-S2L1	4487	0	0	100,00	100,00
TUD-Campus	355	2	2	99,44	99,44
TUD-Stadtmitte	1153	0	0	100,00	100,00
Venice-2	7142	4	6	99,92	99,94

Tabel A.7 Hasil Uji Asosiasi dengan Fungsi *Cost* Modifikasi dan *default_cost_d0 0,8*

Video	TP	FN	FP	Precision	Recall
ADL-Rundle-6	5020	0	0	100,00	100,00
ADL-Rundle-8	6796	0	0	100,00	100,00
ETH-Bahnhof	5667	31	27	99,53	99,46
ETH-Pedcross2	6370	16	20	99,69	99,75
ETH-Sunnyday	1882	4	6	99,68	99,79
KITTI-13	695	104	158	81,48	86,98
KITTI-17	677	11	12	98,26	98,40
PETS09-S2L1	4487	0	0	100,00	100,00
TUD-Campus	355	2	2	99,44	99,44
TUD-Stadtmitte	1153	0	0	100,00	100,00
Venice-2	7142	4	6	99,92	99,94

Tabel A.8 Hasil Uji Asosiasi dengan Fungsi *Cost* Modifikasi dan *default_cost_d0 0,7*

Video	TP	FN	FP	Precision	Recall
ADL-Rundle-6	5020	0	0	100,00	100,00
ADL-Rundle-8	6796	0	0	100,00	100,00
ETH-Bahnhof	5671	27	25	99,56	99,53
ETH-Pedcross2	6367	19	25	99,61	99,70
ETH-Sunnyday	1882	4	6	99,68	99,79
KITTI-13	675	124	203	76,88	84,48
KITTI-17	676	12	13	98,11	98,26
PETS09-S2L1	4487	0	0	100,00	100,00
TUD-Campus	355	2	2	99,44	99,44
TUD-Stadtmitte	1153	0	0	100,00	100,00
Venice-2	7141	5	8	99,89	99,93

[*Halaman ini sengaja dikosongkan*]

LAMPIRAN B: Detail Hasil Uji Coba Prediksi Kalman Filter

Tabel B.1 Hasil Uji Prediksi Kalman Filter dengan Matriks Q
Orisinal

Video	$RMSE_x$	$RMSE_y$	$RMSE_w$	$RMSE_h$
ADL-Rundle-6	1,5427	1,0564	3,434	3,7206
ADL-Rundle-8	1,8303	1,4023	1,8244	2,7925
ETH-Bahnhof	5,3738	4,4301	5,7566	8,2782
ETH-Pedcross2	2,7676	2,1568	6,0619	8,4072
ETH-Sunnyday	6,0077	5,1358	5,4102	8,819
KITTI-13	8,2918	2,3262	18,2855	11,6892
KITTI-17	6,7142	1,9824	12,2543	3,1728
PETS09-S2L1	4,8599	2,0008	0,4664	0,5943
TUD-Campus	6,7034	4,6976	7,8425	5,3656
TUD-Stadtmitte	0,8513	0,4054	1,1361	0,516
Venice-2	1,3536	0,763	2,7723	1,6618

Tabel B.2 Hasil Uji Prediksi Kalman Filter dengan Matriks Q
Modifikasi

Video	$RMSE_x$	$RMSE_y$	$RMSE_w$	$RMSE_h$
ADL-Rundle-6	94,1171	47,0379	3,434	3,7206
ADL-Rundle-8	74,3237	37,1837	1,8244	2,7925
ETH-Bahnhof	16,6604	8,5816	5,7566	8,2782
ETH-Pedcross2	35,1155	17,639	6,0619	8,4072
ETH-Sunnyday	21,0704	10,763	5,4102	8,819
KITTI-13	36,7402	16,921	18,2855	11,6892
KITTI-17	35,7059	17,8511	12,2543	3,1728
PETS09-S2L1	73,3704	36,7189	0,4664	0,5943
TUD-Campus	6,9089	4,1827	7,8425	5,3656
TUD-Stadtmitte	10,0829	5,0371	1,1361	0,516
Venice-2	45,8008	22,8947	2,7723	1,6618

**LAMPIRAN C: Detail Hasil Uji
Coba Metode Inisialisasi Objek Baru**

Table C.1 Hasil Uji Inisialisasi Objek Baru dengan Metode I

Video	Recall	Precision	FP	FN	Switch	MOTA	MOTP
ADL-Rundle-6	54,9%	56,1%	2151	2258	523	1,5%	72,1%
ADL-Rundle-8	47,5%	45,3%	3889	3558	396	-15,6%	72,4%
ETH-Bahnhof	69,8%	55,5%	3035	1633	655	1,7%	73,2%
ETH-Pedcross2	15,9%	69,1%	444	5269	249	4,8%	70,2%
ETH-Sunnyday	48,5%	80,3%	221	956	152	28,5%	76,6%
KITTI-13	58,9%	43,2%	591	313	164	-40,2%	71,9%
KITTI-17	63,4%	78,4%	119	250	72	35,4%	72,0%
PETS09-S2L1	91,5%	73,4%	1484	382	478	47,6%	71,1%
TUD-Campus	64,1%	71,4%	92	129	58	22,3%	70,9%
TUD-Stadtmitte	71,8%	73,5%	299	326	95	37,7%	64,7%
Venice-2	54,1%	52,9%	3448	3276	530	-1,6%	72,8%

Tabel C.2 Hasil Uji Inisialisasi Objek Baru dengan Metode II

Video	Recall	Precision	FP	FN	Switch	MOTA	MOTP
ADL-Rundle-6	48,9%	65,7%	1280	2562	360	16,1%	72,5%
ADL-Rundle-8	41,9%	52,8%	2541	3938	244	0,9%	72,6%
ETH-Bahnhof	60,9%	63,1%	1927	2116	429	17,4%	73,5%
ETH-Pedcross2	11,7%	77,0%	218	5533	140	5,9%	70,9%
ETH-Sunnyday	40,4%	85,7%	125	1107	87	29,0%	76,6%
KITTI-13	29,5%	57,7%	165	537	54	0,8%	72,2%
KITTI-17	52,7%	92,3%	30	323	41	42,3%	72,1%
PETS09-S2L1	86,5%	83,3%	777	605	287	62,7%	71,3%
TUD-Campus	52,4%	85,8%	31	171	34	34,3%	72,5%
TUD-Stadtmitte	68,2%	82,4%	168	368	63	48,2%	64,9%
Venice-2	49,8%	57,8%	2595	3583	309	9,2%	72,9%

LAMPIRAN D: Detail Hasil Uji Coba Batas Minimal Deteksi Beruntun

Table D.1 Hasil Uji Coba Batas Minimal Deteksi Beruntun Sebesar 2

Video	Recall	Precision	FP	FN	Switch	MOTA	MOTP
ADL-Rundle-6	43,0%	71,5%	859	2853	301	19,9%	72,9%
ADL-Rundle-8	36,4%	58,7%	1736	4315	194	7,9%	73,1%
ETH-Bahnhof	52,2%	67,2%	1381	2586	337	20,5%	73,9%
ETH-Pedcross2	9,2%	81,7%	129	5689	99	5,5%	71,2%
ETH-Sunnyday	33,1%	88,4%	81	1243	66	25,2%	76,8%
KITTI-13	21,1%	64,1%	90	601	27	5,8%	73,1%
KITTI-17	44,8%	93,6%	21	377	29	37,5%	72,4%
PETS09-S2L1	80,9%	87,0%	543	856	239	63,4%	71,4%
TUD-Campus	41,2%	90,8%	15	211	24	30,4%	73,2%
TUD-Stadtmitte	64,0%	87,8%	103	416	51	50,7%	64,8%
Venice-2	45,2%	60,3%	2125	3913	265	11,7%	73,2%

Tabel D.2 Hasil Uji Coba Batas Minimal Deteksi Beruntun Sebesar 3

Video	Recall	Precision	FP	FN	Switch	MOTA	MOTP
ADL-Rundle-6	38,3%	74,9%	641	3092	251	20,5%	73,1%
ADL-Rundle-8	32,4%	63,6%	1261	4582	149	11,7%	73,3%
ETH-Bahnhof	45,2%	69,4%	1078	2969	263	20,4%	74,2%
ETH-Pedcross2	7,3%	84,1%	87	5804	66	4,9%	71,4%
ETH-Sunnyday	28,1%	90,2%	57	1336	52	22,2%	77,1%
KITTI-13	15,7%	71,0%	49	642	10	8,0%	73,7%
KITTI-17	38,7%	92,6%	21	419	24	32,1%	72,4%
PETS09-S2L1	75,8%	88,4%	445	1085	200	61,3%	71,5%
TUD-Campus	33,7%	90,3%	13	238	18	25,1%	73,2%
TUD-Stadmitte	60,7%	90,9%	70	454	50	50,3%	64,6%
Venice-2	41,5%	61,8%	1832	4176	221	12,8%	73,3%

Tabel D.3 Hasil Uji Coba Batas Minimal Deteksi Beruntun Sebesar 4

Video	Recall	Precision	FP	FN	Switch	MOTA	MOTP
ADL-Rundle-6	34,6%	78,0%	489	3275	212	20,6%	73,3%
ADL-Rundle-8	29,5%	67,5%	963	4784	121	13,5%	73,5%
ETH-Bahnhof	39,6%	70,6%	894	3272	180	19,7%	74,5%
ETH-Pedcross2	6,0%	85,0%	66	5888	50	4,1%	71,8%
ETH-Sunnyday	24,1%	91,2%	43	1410	42	19,5%	77,4%
KITTI-13	12,1%	77,3%	27	670	8	7,5%	74,5%
KITTI-17	33,7%	92,0%	20	453	20	27,8%	72,7%
PETS09-S2L1	71,2%	89,1%	390	1288	172	58,7%	71,5%
TUD-Campus	27,9%	91,7%	9	259	11	22,3%	72,4%
TUD-Stadtmitte	57,6%	93,1%	49	490	45	49,5%	64,6%
Venice-2	38,5%	62,9%	1624	4391	195	13,0%	73,3%

[*Halaman ini sengaja dikosongkan*]

LAMPIRAN E: Detail Hasil Uji Luar dengan Data Uji

Table E.1 Hasil Uji Coba Luar

Video	Recall	Precision	FP	FN	Switch	MOTA	MOTP
ADL-Rundle-1	40,33%	56,31%	2912	5553	302	5,79%	71,70%
ADL-Rundle-3	39,03%	70,24%	1681	6198	281	19,73%	72,67%
AVG-TownCentre	14,70%	78,14%	294	6097	108	9,08%	72,24%
ETH-Crossing	15,95%	94,67%	9	843	18	13,26%	76,76%
ETH-Jelmoli	34,61%	84,59%	160	1659	108	24,04%	74,52%
ETH-Linthescher	11,86%	95,58%	49	7871	129	9,87%	75,44%
KITTI-16	23,81%	81,16%	94	1296	118	11,35%	71,36%
KITTI-19	27,53%	72,25%	565	3872	234	12,58%	67,89%
PETS09-S2L2	33,83%	92,70%	257	6379	462	26,38%	71,53%
TUD-Crossing	43,47%	94,66%	27	623	69	34,75%	73,31%
Venice-1	25,20%	67,77%	547	3413	133	10,30%	73,17%

[*Halaman ini sengaja dikosongkan*]

BIODATA PENULIS



Penulis bernama Dandy Naufaldi, putra kedua dari dua bersaudara yang lahir di Malang pada tanggal 31 Oktober 1998. Penulis telah menjalani masa pendidikan di SMA Negeri 1 Probolinggo pada tahun 2013 hingga 2016. Pada masa penulisan, penulis sedang menempuh masa studi S1 semester kedelapan di Departemen Teknik Informatika, Institut Teknologi Sepuluh Nopember.

Selama studi S1, penulis memiliki ketertarikan pada *Machine Learning* dan *Software Engineering*. Penulis pernah menjadi asisten dosen pada mata kuliah Dasar Pemrograman, Struktur Data, Matematika Informatika, Sistem Operasi, dan Kecerdasan Buatan. Untuk mengembangkan kemampuan, penulis aktif mengikuti kompetisi di bidang *Data Mining*. Prestasi yang pernah dicapai yaitu menjadi finalis pada Gemastik 2017 dan 2018 pada bidang *Data Mining* serta pada *Data Science Competition MCF ITB 2019*. Penulis juga memiliki pengalaman magang sebagai *AI research scientist* di PT Nodeflux Teknologi Indonesia dan *software engineer* di PT Tokopedia.

Penulis juga cukup aktif berorganisasi di dalam kampus dengan menjadi staf ahli departemen Teknologi Himpunan Mahasiswa Teknik Computer-Informatika 2019/2020. Penulis aktif sebagai administrator di Laboratorium Komputasi Cerdas dan Visi dan menjadi koordinator pada 2019. Penulis juga pernah membantu dalam kepanitiaan dalam jurusan, yaitu staff *National Logic Competition Schematics 2017-2018*. Penulis dapat dihubungi melalui surel: dandy.naufaldi@gmail.com.